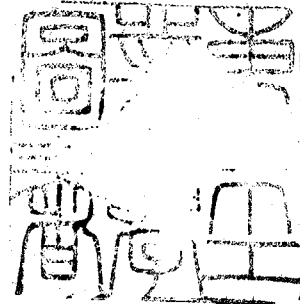


論文 / 著書情報
Article / Book Information

題目(和文)	逆磁界を閉じこめたデータピンチプラズマの研究
Title(English)	
著者(和文)	石井彰三
Author(English)	SHOZO ISHII
出典(和文)	学位:工学博士, 学位授与機関:東京工業大学, 報告番号:甲第610号, 授与年月日:1973年3月26日, 学位の種別:課程博士, 審査員:
Citation(English)	Degree:Doctor of Engineering, Conferring organization: Tokyo Institute of Technology, Report number:甲第610号, Conferred date:1973/3/26, Degree Type:Course doctor, Examiner:
学位種別(和文)	博士論文
Type(English)	Doctoral Thesis

145

送磁界を用いたデータビームプラスマの研究

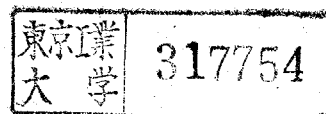


昭和48年1月

指導教官 林 泉 教授

提出者 大学院博士課程電気工学専攻
電気工学科

石井 彰三



□ 内容梗概

■ 磁力線の方向がプラズマ中で逆転している状態を、逆磁界配位にあるとこう。この逆磁界配位による高温プラズマの振舞は、核融合の研究あるいは宇宙物理学の分野からも関心がもたらされている。とくに逆磁界を閉じこめたデータヒニチプラズマには、プラズマの磁力線に沿っての運動および半径方向の運動に特異な現象があることが指摘されている。しかし、これらについての本質的ことはまだよく判っていない。またこの問題は核融合プラズマの安定保持の研究とも関連して非常に重要なである。そこで筆者は、実験的および理論的な検討を行なって、これらの問題で従来未解決であった点を解明することにした。本論文はその結果について述べたものである。

■ データコイルの構造と圧縮磁界の立ち上がりに特徴を持つデータヒニチプラズマ発生装置を使って、温度30eV、電子密度 10^{16} cm^{-3} 程度の高温、高密度プラズマとつくり、高速度カメラ、磁気探針を製作してプラズマの診断を行なった。また電磁流体力学方程式にとづいてプラズマの半径方向運動を数值的に解き、実験結果と比較し議論した。

■ 本研究によって、逆磁界を閉じこめたデータヒニチプラズマにおける問題のはじめて明らかにされたのは次のことがらである。高速度カメラによる観測によつて、これまでほとんど報告されたことのない、プラズマの磁力線方向への運動およびこの詳細な構造が判つたこと。磁力線の方向へ伝搬する面積波（圧縮波）の発生、構造について、従来考えられていたものとはまったく異なった事實を明らかにすることができた。つまり、圧縮波は逆磁界配位となって、これは常にプラズマ中に発生して伝搬するわけではなく、また、閉じた磁力線ループによってプラズマ柱全体が軸方向に収縮するだけでなく、プラズマの一部分だけが運はれ、これに伴つて密度増加によりプラズマ柱の断面積変化として軸方向に伝搬するものであった。データヒニチプラズマの半径方向への圧縮過程で到達できる温度については、逆磁界配位といつていいことが明らかとなり有利ではないことが判つた。

目 次

貢

第1章 緒 論

- 1.1 はじめに 1
- 1.2 データビニチの概念 1
- 1.3 本研究の出発点および意義 5

第2章 データビニチ放電に関する従来の研究 7

第3章 高速度データビニチプラズマ発生装置

- 3.1 高温プラズマ発生装置の技術的諸問題 13
- 3.2 メインバンクと周辺装置

 - 3.2-1 コンデンサとキャップスイッチ 18
 - 3.2-2 コイルおよびフィーダ 20
 - 3.2-3 放電管、真空排気系ならびに気体流入装置 22

- 3.3 予備加熱回路 25
- 3.4 ハイアス放電発生装置 27
- 3.5 放電のシーケンス 28

第4章 高温プラズマの診断

- 4.1 高温、高密度プラズマにおける測定 32
- 4.2 高速度カメラ

 - 4.2-1 高温プラズマと高速度カメラ 33
 - 4.2-2 イナージコンバータ管 34
 - 4.2-3 高速度カメラの駆動回路 37
 - 4.2-4 観測方法 41

4.3 磁気探針 42

4.4 レーザを使ったマッハツエンタ干渉計

4.4-1 測定原理 44

4.4-2 測定方法 46

4.5 分光測定 47

第5章 逆磁界のデータビニチプラズマによる影響

5.1 はじめに 50

5.2 データビニチプラズマの初期圧による依存性

5.2-1 磁気探針による測定 51

5.2-2 高速度カメラによる観測 53

5.3 第2半波時における逆磁界とデータビニチプラズマ 57

5.4 バイアス磁界のある高速度データビニチプラズマ

5.4-1 初期条件を加えた予備電離プラズマ による実験 64

5.4-2 予備電離プラズマの密度測定 65

5.4-3 予備電離プラズマの電子温度測定 67

5.5 逆バイアス磁界を加えたデータビニチプラズマ

5.5-1 半径方向運動の流し撮り 68

5.5-2 磁気探針による測定 70

5.5-3 半径方向運動に関する実験結果の検討 80

5.6 強い予備電離で逆磁界を閉じこめた

データビニチプラズマ 82

5.7 プラズマの軸方向現象の高速度カメラによる観測 90

5.8 逆バイアス磁界の消滅過程 95

5.9 軸方向現象の理論および実験結果の検討 99

第6章 逆磁界が半径方向運動に与える効果についての数値解析

6.1	はじめに	109
6.2	プラズマの過渡現象と電磁流体力学方程式	109
6.3	基礎方程式と差分法	111
6.4	計算方法	119
6.5	計算結果とその検討	
6.5-1	軸方向磁界 B_z	124
6.5-2	電子密度 n_e	124
6.5-3	電子温度 T_e	125
6.5-4	イオン温度 T_i	125
6.6	データビニチプラズマの加熱についての考察	132
6.7	実験結果との比較および検討	134
6.8	結論	136

第7章 結論および今後の問題点

謝辞

参考文献

第1章 緒論

1.1はじめに

磁力線の方向がプラズマ中で逆転して、る状態を、逆磁界配位にあると、う。この逆磁界配位にある高温プラズマの振舞は、⁽¹⁾、⁽²⁾、⁽³⁾の観点から関心がもたらされている。たとえば、核融合の研究においては、高温プラズマの安定保持に、この逆磁界配位の採用が考えられて、⁽¹⁾また、宇宙物理学の分野で、太陽フレマー現象、ある、は地球磁気尾部にある高エネルギー粒子集団の加熱機構として、逆磁界配位とともに、⁽²⁾、⁽³⁾と磁力線のエネルギー交換過程が提案されて、⁽²⁾、⁽³⁾このように逆磁界配位は、プラズマに特異な現象ともいう。

本研究は、テータ放電によってつくられた高温、高密度プラズマにおける逆磁界配位の問題と、実験的および理論的な検討により明らかにしたものである。データヒニチプラズマは、核融合反応が実現する領域に近、プラズマのひとつとして注目されており、⁽³⁾逆磁界配位の問題とその安定保持の方法に関する非常に重要なである。

本章では、まずデータ放電について説明し、その中で逆磁界の問題と指摘して、本研究の意味を述べることにする。

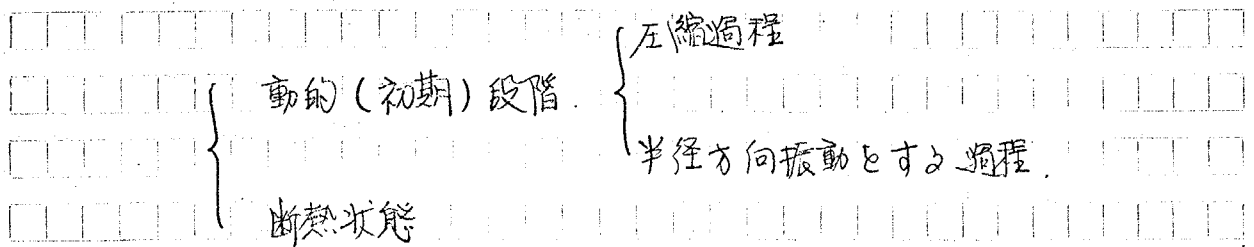
1.2 テータヒニチの概念

データ放電は次のようなものである。気圧が $1 \sim 数100\text{ mTorr}$ の気体を封入した放電管のまわりに、巻数1のコイルを巻いておく。そのコイルへ数10KAの大電流を瞬時に流し、立ち上がりの速い軸方向磁界 B_z を発生させる。この磁界の時間変化によって誘起された方位角方向の電界 E_θ で、放電管壁付近にかって沿面放電があこる。その結果生じた荷電粒子が方位角方向の電流を形成し、この電流層はローレンツ力 $J_\theta \times B_\theta$ により半径方向へ圧縮される。こうにしてプラズマを生成し、磁界によって保持する方法をデータヒニチ

「千方式」と呼ぶ。

実際に行なわれるデータビニチは、封入してある気体をあらかじめ離して、電気伝導性をもたせることである。また弱い磁界を加えておく場合もある。この状態を、第1-1図の(1)に示した。

データビニチプラズマを理解するには、次のように現象を分けて考える必要がある。



圧縮磁界が加わってからかさを数μsecの間は、動的段階と呼ばれる現象が複雑である。このうち圧縮過程では、方位角方向への電流層の形成があり、プラズマ層はローレンツ力によって半径方向へ圧縮される。このとき、圧縮磁界による磁気ヒストンで衝撃波が発生し、イオンが加熱される。衝撃波が管軸で衝突し反射すれば、イオンはさらに加熱される。電子温度はジューク加熱で上昇する。しかし温度上昇とともに電気抵抗が減少するので、ジューク加熱による電子の加熱は限界がある。プラズマはほとんどの過程において加熱される。

とくに第1-1図で、(1)のように弱い磁界が加えられており、この磁力線の方向と反対の向きをもつ圧縮磁界を加えると、プラズマの電気伝導性のため最初あっただけに磁界は消滅しないので、磁力線の方向が逆転した状態が実現される。これが(2)の場合で、逆磁界を開じこめたデータビニチプラズマと呼ぶ。

プラズマ層が圧縮磁界により管軸まで圧縮されて、いったんに平衡状態にあるプラズマ円柱とはならぬ。圧縮過程でプラズマ円筒内に閉じこめた磁界による磁気圧が復元力となるて、プラズマ柱は半径方向に振動する。

この状態が圧縮過程の後に引き続いてみえる。なお、この振動の周期からプラズマの粒子数密度の極端を推定できる。

以上までが動的段階と呼ばれ、半径方向振動があると、プラズマ柱は外部磁界により保持され、静かに断熱状態となる。温度は、動的段階で到達した温度から発して断熱圧縮によって上昇するだけで、しかもその割合は圧縮時に与けるものと較べて格段に低い。この状態が真の意味での平衡状態で、このときプラズマの安定性を論じなければならない。逆磁界を開じこめている場合には、第1-1図(3)のようになる。磁界とプラズマは半径方向について圧力平衡が成りたってい。

$$\frac{B_e^2}{2\mu_0} = P + \frac{B_i^2}{2\mu_0} \quad (1-1)$$

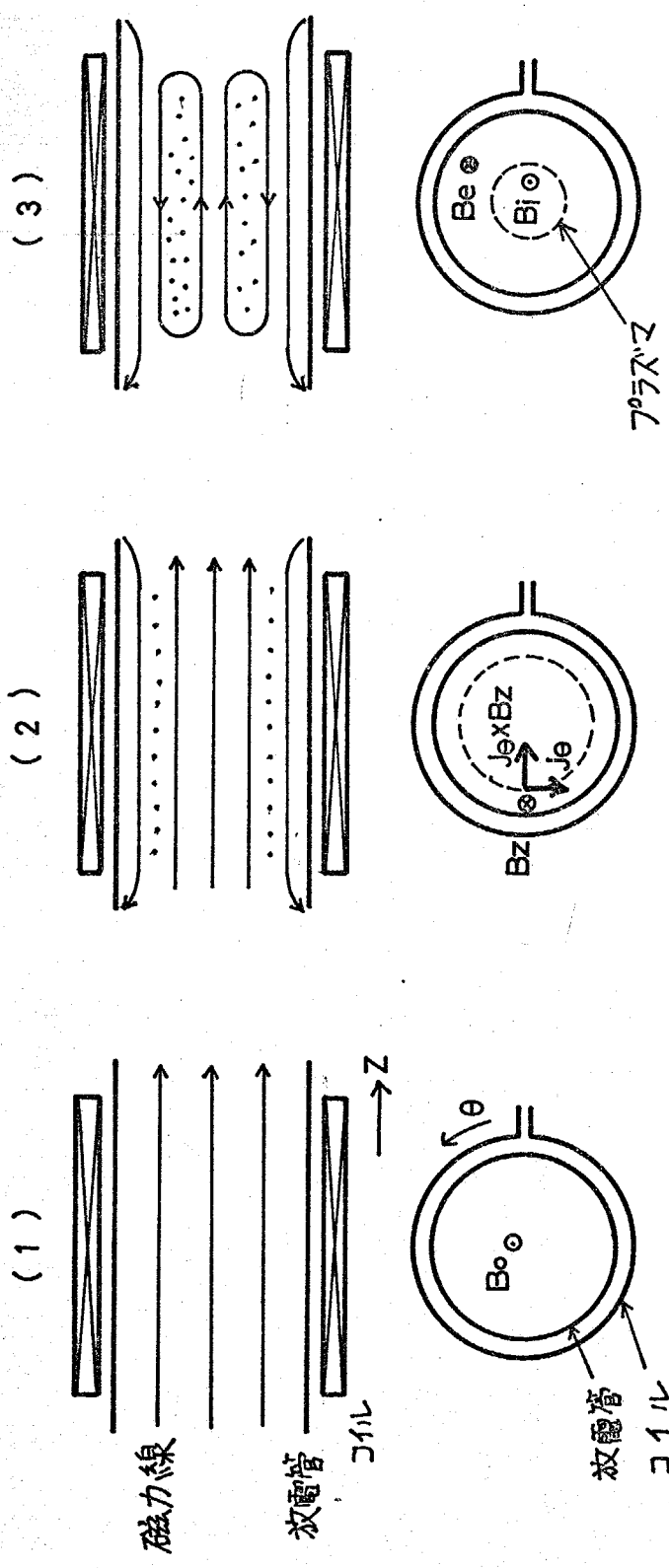
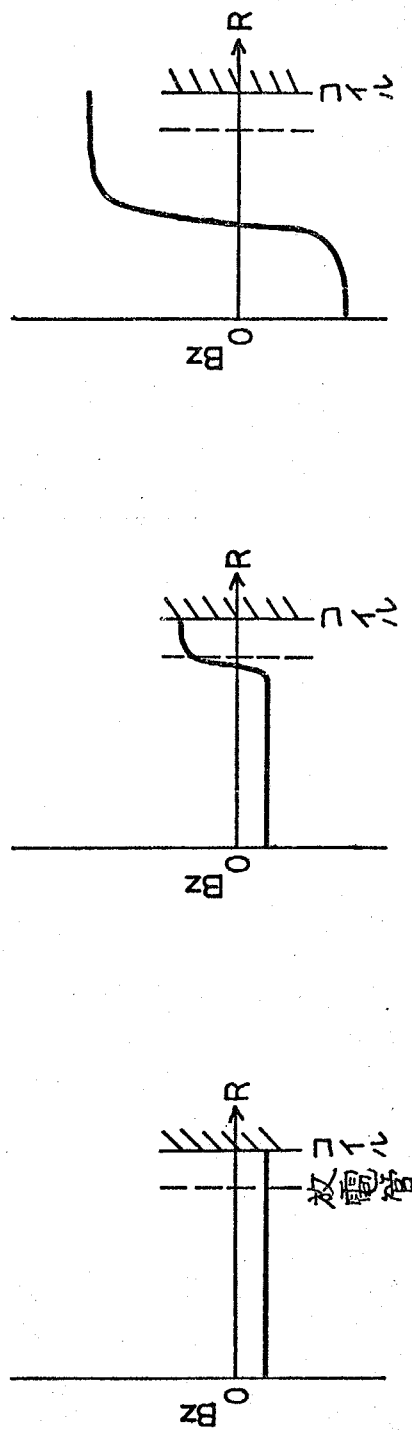
ここで、 P はプラズマ圧力、 B_i はプラズマ内の磁束密度、 B_e は外部磁界、 μ_0 は真空中の透磁率である。

このよろテータビニチによってつくられるプラズマは、イオン温度が数10~数keV、電子温度が数10~400eV、電子密度が $1 \sim 10 \times 10^{16} / \text{cm}^3$ 程度で、高温、高密度のものとなる。ところで、プラズマ物理でよく使われるベータ値(β)は

$$\beta \equiv \frac{P + \frac{B_i^2}{2\mu_0}}{\frac{B_e^2}{2\mu_0}} \quad \text{必ずしも } \beta \leq 1 \quad (1-2)$$

で定義される。テータビニチプラズマはこれが $0.1 \sim 1.0$ となり、高ベータプラズマとして分類されてくる。現在注目されているトマスクではこれが 0.01 程度で低ベータプラズマの中に含まれる。ベータ値によってプラズマに対する認識を変えなければならない。低ベータではプラズマ自身がつくる磁界は小さく、外部磁界をほとんど乱さないが、高ベータではプラズマ中に流れる電流が大きく、外部磁界に大きな影響を与える。現在のところ述べた大きさの高温、高密度プラズマと生成できたのはテータビニチによる方法だ。

第1-1図 逆磁場を用ひこめんテータヒンチプラズマ



けである。

圧縮過程に関係する問題として、データビニチは初期状態のとり方で⁽⁴⁾

(a) 高気圧領域 (High-pressure regime), (b) 低気圧領域 (Low-pressure regime) の二つに分類される。前者は、初気圧 $10 \sim 100 \text{ mTorr}$ の高気圧で、バイアス磁界を加えておく。とくに高温が得られるので逆バイアス磁界が加えられることが多い。粒子数密度が高いので、粒子間の衝突も頻繁になり、イオン、電子とも連続流体として取り扱える。現象は等磁流体力学方程式で記述される。後者は、初気圧が低く $1 \sim 50 \text{ mTorr}$ 程度であり、バイアス磁界は使われない。この方法によると、数 keV の高温で比較的安定なプラズマを得ることができる。圧縮過程での加熱機構が複雑になり、いわゆる乱流加熱が起こるとされていて、本研究では、注目している現象が頭著にあらわれること、バイアス磁界を加えることから初気圧の高い前者の方法で行った。

データビニチプラズマはいくつかの特徴がある。これらを列挙すると、

(1) 無電極放電なので、電極からの不純物がない。

(2) 比較的容易に高温、高密度プラズマが得られる。

(3) 直線状データビニチでは、その形状が単純なため、解析が容易である。また測定も、3..3万方法で行なうことができる。

1.3 本研究のおさらいおよび意義

第1-1図の(2), (3)のような逆磁界を用いたデータビニチプラズマには、特異な現象のあることがこれまでに指摘されていて、⁵⁾ 逆に磁力線によってプラズマがとりまかれ、コイル終端からの粒子損失の軽減が期待されたことがある。磁界の零の位置があることは、(1-2)式から局所的にベータが1となることを意味し、高温プラズマの研究にとって重要な課題である $\beta = 1$ のプラズマがここにつくられていて、また磁界がないことから荷電

粒子の運動も他の場合と変わってくると考えられる。とくに直線状のデータビニチでは、(a) 磁力線の方向へプラズマ柱が収縮していくこと、(b) プラズマ内筒内に逆磁界が閉じこめられていると高温になることが指摘されてきた。それまでの問題について、1973年の実験検討が過去に加えられてきた。しかし、まだ逆磁界がデータビニチプラズマにおける影響の本質的なことについて正しく把握されるまでに到っていない。また逆磁界配置による核融合プラズマの安定保持が現在検討されているが、この点からも逆磁界と高温プラズマの問題に結論を導くことは重要である。

ここで筆者は、逆磁界がデータビニチプラズマにおける影響について、従来不明であったこれらの点、とくに前述した(a), (b) の問題を、プラズマの放電管軸方向への現象、および半径方向の運動の両側面から、実験ならびに理論的な検討を行なうことにより明らかにすることにした。データコイルの構造と、圧縮磁界の立ち上がりに特長のあるエネルギー3.8kJの高速度データビニチプラズマ発生装置によって、逆磁界を開じこめたプラズマをつくり、筆者らが製作した高速度カメラ、磁気探針などによるプラズマの診断を行なった。逆磁界があるときのプラズマ柱の軸方向現象については、従来考えられてきたこととはまったく異なって事実が明らかにされた。また高速度カメラによって、プラズマの軸方向の形状の詳細をとらえることができたが、このような観測結果は従来ほとんど報告されたことのないものである。プラズマの半径方向運動と、電磁流体力学方程式にとづいて数值的に解き、実験結果との比較を行なって、逆磁界の効果を議論する。

なお本研究で対象としたデータビニチプラズマの位相は、コイル長の制限により、プラズマの非定常の半径方向への圧縮過程とそれにひき続いで半径方向振動をしている、いわゆる動的段階であることを注意しておく。

第二章 テータヒニチ放電に関する従来の研究

緒論では、データヒニチ放電の概略、およびその特徴について触れた。本章は、データヒニチについて行なわれた従来の研究をまとめ、筆者が研究し明らかにして逆磁界とデータヒニチプラズマの相互作用、およびプラズマ内筒内に磁界がある問題についての位置づけを行なう。データヒニチはプラズマ物理学全体からみれば、きわめて限られた一部分である。しかし、核融合をめざして今日の研究のなかで、高ベータ型としての役割は大きい。このため、データヒニチに関する研究の発展過程の考察は、高ベータプラズマの一般論、高ベータ領域の核融合プラズマについての研究の方法論を論じるうえからも重要な意味をもつ。以後の章では、本章の内容を前提条件として進めていく。

データヒニチ放電の研究が活発に行なわれるようになったのは、1958年に開かれた国際原子力委員会の主催によるジュネーブ会議以後である。この時期では、データヒニチに関する研究がその端緒についてはばかりであった。コイル長10~20cm、放電管内径5~10cm程度で、エネルギー数kJのコンデンサバンクによる小型装置を使って実験されていった。1961年、アメリカのロスアラモス研究所では、コイル長10.6cm、放電管内径4.4cm、8.8μFのコンデンサバンクで圧縮磁界56KGの比較的小型装置を使っていて⁽⁷⁾。初気圧15~150mTorrで、バイアス磁界を~3~3変えて、分光法、磁気探針、高速度カメラによる測定、およびX線測定を行なっている。とくに逆磁界がプラズマ中に閉じこめられているとき、X線、中性子の強、放出が観測された。逆磁界配置となるている場合における現象の特異性は、このに3より注目されている。実験結果の説明は定性的であり、データヒニチについての認識もまだ充分なものではなかった。しかし、初期の実験としての評価は重要なものがある。

1960年から1962年にかけて、各国での成果が次々と発表された。イギリスのAWREのグループは、コイル長21cm、放電管内径8cm、バニクエルギー3.5kJのやけに小型装置で実験していく。高速度カメラを使ってプラスマの圧縮過程を観測すると、Rayleigh-Taylor不安定の起つていることが判つた。⁽⁸⁾これを抑制するため、プラスマをもとと高温にして粘性によく安定化効果を増加させようとした。バニクエルギーを20kJにして高温化をはかり、この不安定が安定化されるのを実験的に確かめている。⁽⁹⁾

このグループが逆磁界がプラスマ内にあるときの特異な現象を観測している。それはプラスマ柱が管軸方向に収縮していくというものである。彼らはこの軸方向現象を解析し、伝搬速度の理論式を導出して、その説明を行なつた。⁽¹⁰⁾筆者は、この問題についてさらに検討を加え、新しい実験事実を求めることができた。その内容は第5章で述べる。

ドイツのガルビンにあるプラスマ研究所では、20mTorrの低圧気圧におけるデータビニチで、電子が方位角方向の電場E_θにより加速される様子を研究している。⁽¹¹⁾これは圧縮過程初期位相の現象として、データビニチでは重要な意味を持っている。同じドイツのマックス-プランク研究所とイギリスのAEREの共同研究により、K.Hainらはプラスマが半径方向に圧縮される過程と、荷核流体力学方程式にとづいて数値的に解くことに成功した。⁽¹²⁾これは後にHain-Roberts codeとして標準化されて、計算結果と実験との比較が、3、4行なわれ、その信頼性は高い。筆者も、逆磁界の効果が荷核流体力学的にみればどの程度になるかと、この方法によって検討した。

データビニチプラスマで観測された巨視的な不安定性が、くつか調べられた。データビニチによってつくられるプラスマ柱は、本来その断面は真円となるはずであり、平衡状態にあれば、イオンの方位角方向の速度が増大しないはずである。しかし、コイル終端の方からプラスマ柱の半径方向断面を高速度カメラで観測すると、平衡状態で管軸上にあったプラスマ円柱は、その軸を中心回転を始め、ついには二つに分裂して回る。ことに外部から、



方位角方向、半径方向の付加磁界 B_θ, B_ϕ みるとよく回転した。これは回転不安定と呼ばれ、それに対する理論的な取扱いが M.G. Haines によってなされた。⁽³⁾しかし、当時観測されたのは、コイル終端よりのじょう乱がプラズマ柱全体に伝搬してしまった時刻以後であり、均一な平衡状態にあるプラズマに発生したとはいい難い。

逆磁界配置で、磁界層の部分にプラズマがあり、その電気伝導度が有限ならば、磁力線はプラズマを横ぎて侵透し、閉じた磁力線ループを形成する。これはプラズマ柱の分裂をひきおこし、いわゆる抵抗性不安定となる。逆磁界を開じるためにデータビンチにこうした現象が観測された。この問題の理論的取扱いは、H.P. Furth によって行なわれている。⁽⁴⁾不安定の成長速度の式中に電気伝導度が含まれ、充分大きな電気伝導度となるれば、この不安定は問題となるなくなる。本研究では逆磁界とプラズマに関するこの問題について深くたどり下さった。

以上述べた各所における研究の結果、次のことが明らかにされた。データビンチによると、コイル終端からの粒子損失という欠点はあるが、比較的安定な高温、高密度プラズマと容易に生成できる。またコンデンサバンクのエネルギーを大きくすれば、より高温のプラズマがつくれ、不安定性の成長も抑制される。こうしたことから、装置の大型化、プラズマの保持時間と長くするために長、コイルの使用がはかられた。実際には、バンクエネルギー 1~2 MJ 程度、コイル長 1~2 m の装置が建設されることになる。これを使って新しい実験結果が、1965 年、イギリスのカラムで開かれた「プラズマ物理と制御核融合に関する会議」で報告されたのである。

大型バンクの建設、およびこの運転には数々の問題が発生し、期待とおりのデータビンチプラズマを得るために技術面の解決が必要であった。プラズマの保持時間と長くするにはコイルを長くするだけではなく、外部磁界の持続時間も長くなければならぬ。この要求を実現するために大容量のクローバースイッチが開発された。比較的長時間プラズマが保持されるようになると、



今までみられたがって新しい現象の存在が判った。従来のデータヒンチプラスマがあまりにも短時間のうちに消滅してしまったので、それに気がつかなかつたのである。この現象は、平衡状態となつてプラスマ柱が、コンデンサから電流を供給するフィーダー側へトリフトするとこうものであつた。この原因はコイルのために生じる磁界の不均一が、プラスマ柱全体の異常な運動へ導いていたので、計算によると、温度1keVのプラスマでは磁界に $1/1000$ の不均一があつても不都合であった。ロスアラモス、カラムなどの研究所でこの問題に悩まされ続け、その解決だけに多くの労力を費した。カラムのデータヒンチの研究グループは磁界の精度をあけることによってこの問題を解決した。⁽¹⁵⁾

この会議で発表された、MJ級の大型装置を使って実験結果は、イオン温度 $\approx 10\text{ keV}$ 、電子温度 $300 \sim 400\text{ eV}$ のプラスマがつくふたことを示した。とくに記すべきことは、放電管内へ封入する気体の初気圧にある。発表された実験は、 $1 \sim 50\text{ mTorr}$ の低、初気圧で、しかもバイアス磁界のない条件で行われられていて。データヒンチの方法には前にも述べたように、low-pressure regime（低気圧領域）、high-pressure regime（高気圧領域）の二種類がある。初気圧を低くすると、バイアス磁界がなくても高温が得られることが、コイル終端からのよう乱れこない、限り比較的安定であることが判つたので、これ以後の実験では、ほとんどこの領域で行なわれるようになった。

カラムのJ.A. Wessonは、コイル終端からの粒子損失についての理論を発表した。⁽¹⁶⁾⁽¹⁷⁾⁽¹⁸⁾データヒンチプラスマにおける粒子損失についての説明は、これまで、いくらか出されてきた。しかし、この流れが充分にはすつではなかった。彼は次のよつて考えていく。コイル終端からプラスマ粒子が流出していくと、プラスマ柱内の粒子圧が減少する。もし半径方向の圧力平衡が成り立つて、それは、これにともなつてプラスマ柱の断面積は小さくなり、その断面積変化がコイル終端から管軸に向へ伝搬するとこうものである。これにつけては、第5章で軸方向現象と関連して詳しく説明する。最近、この解析は理論

式を数値的に解いて結果と実験事実とがよく一致する: と, カラムのケル
ーフ⁽²⁰⁾によって確かめられた。

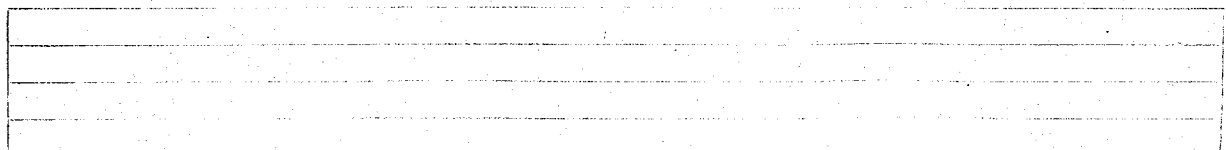
【】テータヒニチプラスマの安定性についてとエネルギー原理にとつて,

J.A. Wesson と F.A. Haas⁽²¹⁾⁽²²⁾が検討している。

【】カラムでの会議はデータヒニチにとって, ひとつの大切りであったといえ
る。プラスマの巨視的な運動がほほ明らかにされ, テータヒニチに関する研
究の方向の再検討がせまられたのである。この時期以後, 大きく2つの方向
に分かれていったようである。1つはデータヒニチプラスマを核融合にまで
つけていくもの, もう1つは, データヒニチの圧縮段階の非定常過程を研究し
ようとするものである。これらの具体的なあたりわれば, 1968年, ノボシラ
ビスクでの会議で示される。

【】均一で安定してプラスマを長時間保持させて, 高ベータプラスマの物理的
側面を明らかにしつつ, 核融合へ進んで, こうとする分野では次の報告があ
った。カラム研究所では, こらに長, 8mのコイルで実験し, 平衡状態にあ
るプラスマからの磁界を横切って半径方向にみる粒子拡散は古典的である
と, かつ貴重なデータをもたらした。⁽²³⁾ 従来, 核融合をめざしたプラスマ関連に
め装置では, 粒子拡散が異常に速く, Bohm 拡散と呼ばれる高温にのみはな
るほど速くなる拡散に悩まされてきた。しかし古典的な拡散であれば, 拡散
係数は $D \propto n/B^2 T^{1/2}$ (n は粒子数密度, B は磁束密度, T は温度) とな
って, 高温とのすれば小さくなり, 外部磁界を有効に働く。そのため, 高ベ
ータプラスマが核融合には有利であることが判った。

【】粒子損失を除去するため, コイル終端をつないだ形のトーラス状のデータ
ヒニチの研究が始められた。単純な直線状データヒニチによって, 高ベータ
プラスマの物理面を明らかにし, 得られた結論の積み重ねの上でトーラス状
の形式へ移行したのは興味深い。直線状のデータヒニチプラスマとトーラス
状にしただけでは平衡状態がない。この平衡ととのよきにとるかの研究が手
をつけられ始め, その一つとして並列配位を使うことも考えられている⁽¹⁾。



筆者の研究はこうして平衡の問題にも関連している。

上方、非定常な圧縮過程の研究は、データビニチにおける加熱機構の解明を主の目的としている。とくにデータビニチを使って無衝突衝撃波の実験は、大振幅の非線形波動がプラスマ中と伝搬するときにはきらこさる乱流加熱と深い関係がある。

いすゞの分野でも、すでに確定的な結論、あるいは技術上の解決がなされていない。しかし、両者の分野の成果が結びつけられていくものと思われる。

このようにデータビニチプラスマの巨視的な運動に関する問題はほぼ明らかにされたが、圧縮過程の現象など、さらに詳細な点についてはまだ未知の点が残されている。

□ 第3章 高速度データヒンチプラズマ発生装置

③.1 高温プラズマ発生装置の技術的諸問題

□ 本研究の初期においてメインバンクだけで実験していたが、そこで得られた結果から、フリヒータバンク、バイアスバンクがどうしても必要であることが判った。筆者はフリヒータ、バイアス各バンクを建設し研究を発展させてく。現在プラズマ発生装置は、この三つの部分から構成され運転が行なわれている。それらの役割をおおまかに説明すると次のようになる。

○ □ フリヒータバンクの放電によって放電管内に封入してある He分子を離し、数eVまで加熱する。この予備加熱されたプラズマに、メインバンクから圧縮磁界を加え、プラズマを圧縮し加熱する。圧縮磁界にくらべて緩やかに変化する磁界、磁界を、予備加熱されたプラズマ中にかけておけば、磁界を含んでプラズマを圧縮できる。このための電源をバイアスバンクと呼ぶ。

□ さて次節で実験に使った発生装置を説明する前に、これら各バンクの技術面の問題点をあけておこう。

□ すべてのデータヒンチの実験にはメインバンクが不可欠であるが、その仕様は研究の目的によって大きく変わる。データヒンチではイオニの温度が電子温度より高くなるのが特長である。これは衝撃波の発生によってイオンの加熱が起こるからである。このように衝撃波を生じさせるのが、加熱にとって重要なところ、衝撃波が形成されるのに充分なだけの圧縮磁界の立ち上がりが必要である。多くの場合、この立ち上がり、 $\frac{dB}{dt}$ は 10^{10} Gaussec/sec程度以上に達される。本研究に使った装置でも、これは 1.5×10^{10} Gaussec/secとなってい。最近各国で活発に実験されているデータヒンチによる無衝突衝撃波の研究では、とくに磁界の立ち上がりの速いことが必要であり、少なくとも 10^{11} Gaussec/secに達されるのが普通である。一方そこではプラズマ閉じこめの衝撃過程を考えないので、放電電流の持続時間は短なくてよい。そのため放電回路の電源は、残留インダクタンスの低く、コンデンサを高く充電電圧で運転す

るが、ブルームラインと呼ばれるケーブル充電方式にして速い立ち上がりの磁界をつくる実験する。⁽²⁶⁾ いまれも100kV以上の充電電圧となるので、装置各部の絶縁耐力の点からパルス充電がとられる。

プラズマを加熱する立場からは磁界の速い立ち上がりが望ましいけれども、プラズマを保持する面からは、外部磁界は長く時間持続してなければならぬ。しかし現在の技術では、コンデンサバンクと電源として使う限り両者の要求を充分満足させるのは不可能に近い。もし実現しようとしても、経済的に困難であり、設備は莫大なものにならてしまうであろう。コンデンサとテータコイルとからなる放電回路は、インダクタニスLと容量Cの共振回路なので、放電電流は \sqrt{LC} の周期で振動する。この電流による磁界を使ってデータヒニチプラズマをつくると、磁界が立ち上がる0.1~0.6μsecの時間にプラズマが圧縮加熱され、その後数μsecの間ヒニチにプラズマ柱は、ゆる半径方向の振動をしている（動的過程）。これらの現象は最大電流と共に時刻に終るか、あるいはまで途中で終りする。これはプラズマ保持のうえから動的過程以後の断熱過程で外部磁界がすみやかに減少していくことになるので非常に不都合である。つまり有効な断熱圧縮があこねられることになる。そのため磁界の減衰する時定数を大きくする目的で、メインバンクにはクランプスイッチと呼ばれる低インダクタンスのスイッチとデータコイルに並列に接続しておく方法が行なわれる。このスイッチを放電電流が最大となったとき閉じれば、放電電流はL-C放電の振動的振り下り、ゆるやかな減衰をしていく。このようにして速い磁界の立ち上がりの後、比較的定常な閉じ込め磁界をつくることができる。ところがこの方法でも磁界の減衰していくのにかわりがなく、さらに電極間の電圧が零の時刻でキャップスイッチと動作させなければならぬ、技術上の難点などの問題がある。

クランプスイッチの電極間に、メインバンクの投入時に高电压が加わるが、そのときに動作しないで、放電電流が最大のときつまり電圧は零であ

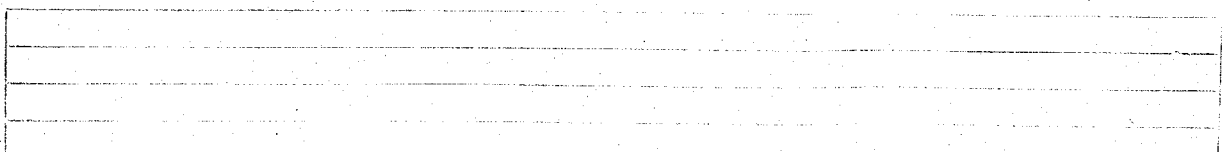


ときに動作して閉じなければならない。これまで種々の形、方法が提案され研究されてきているが、大別してキャップ・スイッチ型と放電体スイッチ型に分類される。キャップ・スイッチ型はとりにててここで述べるまでもないが、動作のためのトリガ系統が重要である。放電体スイッチの動作は、電極間に高分子化合物の薄、フィルムをはさんで絶縁しておき、動作させた瞬間に絶縁物へ機械的な圧力を加えて破り回路を開けるというものである。この方法はスイッチ自体のインダクタンスを小さくできること、動作が確実なことなどの利点がある。しかし装置が大きくなるものとなり、放電管と共に絶縁物をとりかえる必要があるという不利な面もある。

クランプスイッチを設けて放電電流が振動的にならぬようになると、装置および放電管にとって非常に都合が良くなるのである。大電流が流れる放電回路では電流による機械力を無視できない。ナガシユール級の大型装置ではデータコントロールのスロット部付近が破損していくという報告もある。これはとくに振動性の電流の場合、機械力も振動的になるので厳しいものとなる。

ゆるやかな時定数で減衰していく電流とすれば、力は最初の立ち上がり時に大きくかかるだけるので装置にとって楽になる。コンデンサ自体がこの内部構造は振動電流とならなければ寿命が長い。クランプをしないデータヒニチでは、放電電流の半波ごとにプラズマが発生、圧縮されていくが、次の半波に移る前にプラズマ柱は膨張して、放電管壁に衝突して壁面から不純物を引き出したり、付着せたりする。これが電流が反転するたびにくりかえられるので、放電管壁のよごれを助長する。とくにデータヒニチでは壁面の状態が問題となるから、これは都合が悪い。けれどもクランプすれば、プラズマは一回だけ生成され消滅していくので、汚染の割合も減少する。本実験ではメインバンクにまだクランプスイッチをとりつけていない。

最近、クランプスイッチのような消極的方法ではなく、二種類の性能の異なるバニックを設け、効果的には加熱、プラズマ保持を行なう方法が考えられている。一方のバンクで立ち上がりの速い磁界をつくり、非断熱的な衝撃波



加熱するもので、容量は比較的小さくてよいが放電回路全体の残留インダクタンスを低くおさえなければならぬ。このバンクによる加熱が終了した後もう一つのバンクで時間的にゆっくりする磁界をつくるて断熱圧縮し、プラズマを保持する。後者は大容量のバンクとなる。

メイニバンクは、多数のコントローラを並列に接続して全容量を増し、かつ残留インダクタンスの軽減をはかる。一つのデータコイルに大電流を供給するため、多数個のギャップスイッチの並列運転の技術は重要で、測定しようとする現象の再現性に決定的な効果を与える。複数のスイッチを同時に動作させるには次の注意が必要である。(1)各ギャップスイッチの電極間距離を調節し、自爆電圧がすべて等しくなるようにする。経験的に、動作電圧が自爆電圧のおよそ90%の値にはる程度に整んでおけば、運転時、充電中にスイッチが自爆する誤動作を防げること、始動時間のはらつきも小さいことを知っている。(2)トリガ電極に加えるパルスは、波高値を充分高くとり、立ち上がりが速いことが望ましい。電流容量とスイッチの数に比例して必要である。トリガ発生器とトリガ電極とは通常、絶縁用のバルストランസが使われるので、このトランസによるパルス電圧の立ち上がりが歪んでくることも注意すべきである。

ブリヒータバンクは、プラズマを予備電離、予備加熱するための電源である。高速度データバンクでは、何も予備電離しない中性原子の気体を封入しておくと、第1半波からプラズマはできにくく、およそ第2半波以後に生じる場合が多い。磁束密度の時間変化によって誘起された方位角方向の電場 E_θ で、まず放電管壁での沿面放電があるはずであるが、予備電離されていないと第1半波では絶縁破壊にまでいたらず、放電し易い状態になるだけで次の第2半波以後に初めて放電がある。しかし、この種のデータバンクは、圧縮初期に壁面での絶縁破壊、中性原子の電離などの放電機構が入るので取扱いが複雑となる。プラズマ層が半径方向に圧縮される途中においても、中性原子との衝突、荷電交換、電離、再結合が起つてゐるであろう。

これに対し、何らかの方法であらかじめ封入してある気体を電離させておけば、解析は一段と容易になる。もし完全電離か、それに近い状態になっていければ、^{*} プラズマと磁界の相互作用だけを考えればよく、原子の素過程は考慮する必要がない。テータヒンチによる無衝突衝撃波の実験で、完全電離した任意の β 値をもつプラズマをあらかじめ生成しておかねばならぬので、これから予備電離、加熱は重要である。

予備電離は、中性な気体原子を数%程度電離し、その電子とイオニの存在により管壁との沿面放電が容易におこり、電流層の形成を促進させるものから、完全電離にまでいたせるものまである。後者はプラズマ温度を数eVまで加熱する場合もあるので予備加熱と呼ばれることがある。わざわざ予備電離の方法としては、これまでに種々考えられ試みられていて、放電管の両端に小さな電極を設け、その火花放電で生じる紫外線放射を使った光電離方式。 10^4 MHz以上の高周波放電によるもののがある。予備加熱まで行なうのに、放電管軸方向に電流を流す区放電型。容量の小さなハニカウで周波数の高い電流をデータコイルに流す日放電型の二種類がある。

区放電型は電極が必要である。通常、放電回路中に非線形抵抗を以て、单一の電流パルスとして運転する。放電管長は1m前後のものがよく使われ、区電極間の距離が同程度となる。つまり一種の長距離気中キャップの放電なので、始動時間がはらつき易い。低気圧になるとおはるほど、これは大きな問題となる。これは放電と一緒にシーケンスのととに運転する際、不都合である。区放電をはらつかせることなく、確実にこせるため、100 kV以上の高電圧に充電したり、区電極にトリガ電極を附加する方法がとられる。

一方の放電型は比較的はらつきが小さく、確実に放電する。しかし振動的な電流のまま運転されるので、放電管壁よりの不純物が多、ことは予想される。確実に予備加熱するため、区放電と日放電を組合せる方法も使われる。

本実験では区放電だけとした。予備加熱とデータヒンチのタイミングは、決った公式がないが、これらの場合と方法で決定すべきであろう。いずれに

*注、この場合の β 値とは、核融合で使う間にこめた概念を基にしたものではなく、衝撃波の前面にある。初期プラズマの粒子圧力とその中の磁界による磁気圧の比をとったもので、 $\beta > 1$ とある。

〔し〕初期プラズマの状態は、温度、密度とも、空間的(管軸方向、半径方向)に一様であるのが望ましい。

〔ハ〕バイアスバニクは、予備加熱したプラズマ中に静磁界を存在させておくのに必要である。本来ならば直流磁界でなければならぬが、圧縮磁界の周期にくらべて充分長、値であれば、静磁界と考えられる。プラズマを圧縮させるためのものでないので、発生できる最大磁束密度は小さくてよい。最近の実験で、圧縮磁界とほぼ同じ程度の磁束密度をもつバイアス磁界をかけておき、これと逆の方向の圧縮磁界と重畠するデータビニチもある。この場合は、バイアス磁界のもつ意味がいささか違っている。

5.2 メインバンクと周辺装置

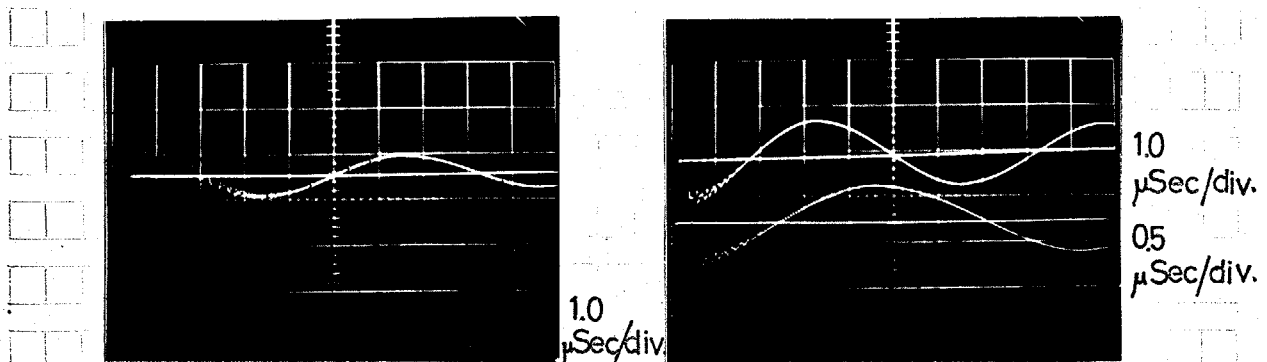
5.2-1 コンデンサとキャップスイッチ

〔ハ〕本実験に使用したメインバンクの構成を説明する。⁽²⁷⁾ $1.5\mu F$ のコンデンサを2台並列にして1ブロックとする。そのブロックをさらに4基並列にして全容量 $2.0\mu F$ である。コンデンサは低インダクタンスとなるよう内部構造が同軸式になっている。最大定格電圧は40KVである。各ブロックごとにトリガトロニ方式の水中キャップスイッチがとりつけられている。⁽²⁸⁾ 電極の材質は、本体がしんちゅうであるが、電極先端の10mm程度の部分は銅-タニケステン合金にしてある。これは放電による電極消耗を軽減するためのものである。⁽²⁹⁾ 各スイッチはエポキシ円筒内に組み込まれ、高気圧スイッチにもなる構造にしている。コンプレッサによって加圧された空気を、一度空気ための中に入くわえ、各スイッチに高压用ホースで分配する。スイッチの一方にある空気排出口より高压ホースを経由して1個所にまとめられ、電磁バルブの開閉によって排出されるようになっている。今回の実験では高気圧にしないで、1回の放電ごとに10秒間空気を循環させた。これにより電極周辺は常に新鮮な空気があり、絶縁耐圧の向上がはかられた。一連の実験を始めた前には必ず、電極間距離を調整して、各ブロックごとの自爆電圧を合わせた。

〔コ〕コンデンサの定格が40KVのところ、その63%の26.2KVで充電してさ

にもかかわらず、これまで破壊する事故が相ついた。おそらくコンデンサの固定法が不適当と考えられた。そこでコンデンサと2台重ねて横積みにしてきたのをやめ、1台ずつ固定台の上へ立てて置くことにし、機械的負担を軽くした。装置のこれらの改造は本実験が終った後行なわれた。その内容は次の通りである。充電電圧を上昇する計画のため絶縁耐力の向上。データ、コレクタ形状の大ははな変更。充電系統を、ケントロン(KR-110)2本並列使用をやめて、シリコン整流器にした。ケントロンのフィラメントの光は、光学測定の際にと不都合であったのが改善された。

○ コンデンサに電圧を加えても充電されなくなったり、充電中あるいは放電時に異常な音が発生すれば、明らかにパンクと判る。しかし、これでは一連の実験中に事故が発生した場合、非常に不都合である。それでは完全に故障し、使用不能となる以前に何らか予知できれば都合がよい。不良のものをわざわざ交換しておかなければならぬ。このため次に述べる方法が、ひとつの目安として使えることをみたした。データコイルと放電管の間隙に中間コイルと称する5巻ほど巻いた小さな探りコイルをいれておく。通常は軸方向磁界 B_z をこれにより測定する。コイルVには電圧が誘起されるので、積分回路を介してオシロスコープに磁界成分を示させる。積分回路は抵抗R、コンデンサCとからなるもので、一種のフルタとも考えられる。もし、これを介さなければ、コイルに誘起される高周波分と含んだ電圧信号が観測できる。この信号をみてみると、コンデンサ内に異常があれば不規則な雜音が重畠され



コンデンサパンク直前の放電電圧波形
(コンデンサ内の局所的な放電による
ノイズ(ハイク信号が重畠している))

コンデンサ更新後の放電電圧波形

第3-1図 コンデンサ劣化にともなう現象

るのか判った。不規則な高周波スパイクは、コニデンサ内部の絶縁劣化による放電時の局所的な絶縁破壊に起因すると考えられる。当初、スパイクの原因が不明でみつた。しかし現象を発見後 50回ほど放電したところ、1台のコンデンサがパンクした。コンデンサを交換した後の同様な測定では検出されなかった。このため先の推察は正当なものであろう。コンデンサ内のわずかの部分放電が陳りかえこれるうちに、致命的な絶縁破壊、そしてパンクという道すじをとったのである。このスパイク信号は大事故にならない前に検出できるので、電圧信号に重畳されていたら、不良コンデンサを交換しておかなければである。なお、積分回路と介してしまったら、当然ながら検出はできないことと注意しておく。

3.2-2 コイルおよびフィーダー

この高温プラズマ発生装置の大きな特長のひとつは、テータコイルの構造にある。すなわち、コイル内に起るプラズマ現象の軸方向の様子が、非常に詳細なまでに高速度カメラでとらえられるとのことである。2mm厚の鉄板を導体とし、同じく2mm厚のベーカライト製のスペーサと交互に積み重ねていった。ベーカライトが入っている部分が管軸と直交する方向のスリットとなり、ここを通してコイル内部が観測できる。コイルは全体で1巻にはってある。全長は202mm、導体内径98mm、スリットの総数は50本である。

コイル長の決定は、3、3問題がある。コイル終端の影響を考え、コイル中央部に平衡状態にあるプラズマを長く保持する立場からいえば、コイルは長く有利である。けれども1巻のコイルでは、その長さを ℓ とおくと、一定の充電電圧としたとき、発生できる磁束密度 B は長さ ℓ に反比例する。またにプラズマが到達できる温度に最も関係のある磁界の立ち上がりは、最大で長さの平方根に反比例する値までしかれない。

$$\text{つまり } B \propto 1/\ell$$

$$\text{Max.}(WB) \propto 1/\sqrt{\ell}$$

ここで ω は放電電流の角周波数とする。

これは、高温プラズマの加熱からいえは不利である。本実験では、これまで磁界の立ち上がりを 1.5×10^4 Gaus/sec として行なってきた。この値は世界の大型装置と比較して、それほど小さな値ではない。

コイル終端の影響がコイル中央部まで伝搬する時間は、本装置での実測値で $1.8 \sim 2.0 \mu\text{sec}$ であった。平衡プラズマの保持時間として、幾分短いことと思われるが、加熱は充分行なわれると思われる。

なおコイル自身のインダクタンスは $3/\text{nH}$ である。

コイルとコニテンサバンクの結合は次のように行なわれる。すな、四ブロックのコニテンサからアルミ製の円筒状をしたフィーダー四本で、集電導体部（コレクタと呼ぶ）へ接続され、こことコイルとが「タブ」と称される緩衝部を通して結合される。本装置は、バンクよりケーブルを使って給電しないで、特殊の同軸導体、フィーダーによっている。二本の半径が異なるアルミ管をマイラの絶縁により同軸状にしたものである。内部導体は、直徑 120mm 、全長 695mm で、導体の厚みは 4mm となっている。これを厚さ 0.18mm のマイラで 3 層に巻き絶縁を保ちつつ、外部導体（外被）の中に入れる。外部導体は直徑 130mm 、全長 500mm 、内層肉厚 3mm である。アルミの種類は、第 4 種耐蝕アルミニウムである。

このフィーダー、一本あたりの電気的特性は、単位長さあたりのインダクタンスが、 $6.5[\text{nH}/\text{m}]$ 、容量は、 $2200[\text{PF}/\text{m}]$ であり、特性インピーダンス 1.7Ω である。このとき、信号の伝搬時間は、 24nSec となり、各ブロックごとにスイッチのはらつきがあっても、 $7/\text{nSec}$ 程度までであれば、ブロック相互間の影響はお互いに受けない。このように、多數のコニテンサ、スイッチの並列運動の場合、スイッチの動作時間を考慮して、ケーブルあるいはフィーダーの長さを決定すべきである。

フィーダーとコイルを直接、結合するのはこの装置の場合、大きさから不可能である。また、長さ 20.2cm のテータコイルへ常に電流を流すこと必要

求られる。もし、こうでなければ、コイル内につくられる磁界が不均一となり、プラスマの不安定ある、はトリフトをすねく。とくに、このプラスマ発生装置は、コレクタの幅と 15cm の広い領域にわたりて給電されるので、 120cm 程度のコイルでは、電流分布に注意が必要となる。そこで、コイル、コレクタ間に、長さ 10cm 、巾はコイル長と同じのダブルと呼ぶ緩衝導体を入れ、コイル内で、コイル終端から中央部にわたりて一様に電流が流れようとした。

さて、この衝撃大電流放電装置を実際に運転してみると、電流がどれほど集中して流れ込むのかがよく判った。当然のことながら、電流は最短距離で、イニシエータニスの最も小さい系路を流れ。大電流が流れ装置の機械的設計にあたっては、導体の接続部とくに考えなくてはならない。広い面積にわたりて接触させているつもりでも、有効な導体部として使われるのは、イニシエータニスの最も小さいところだけである。これ以外の部分は単に機械的強度の保持としてだけの役割しか果さない。接続部と解体してみると、各所に放電痕跡がみられ、電流路の確認をすることができ。これは点接触における場合、しばしあることを示し、接続面の一様な接触が必要とされる。

3.2-3 放電管、真空排気系ならびに気体流入装置

放電管は、長さ 914mm 、内径 75mm 、管厚 5.2mm のパイレックスの直管である。放電管としてとりつける際、このパイレックス管を、一週間水槽内にかけておき古化(aging)させ、その後クレンザーで洗い、蒸留水で何度も洗い流した。このようにした放電管は、多數回の放電後でも管壁のよれの程度が小さかった。放電管の両端には、放電用の円環状をした電極がありつけられている。コイルおよび放電管は同じ支持台の上にあり。放電管はこの両端で支持されている。

真空排気は、ロータリ・ポンプと油抜散ポンプとで行なった。ロータリ・ポンプだけでは到達できる真空度が $1 \times 10^{-3}\text{Torr}$ であるが、液体窒素による

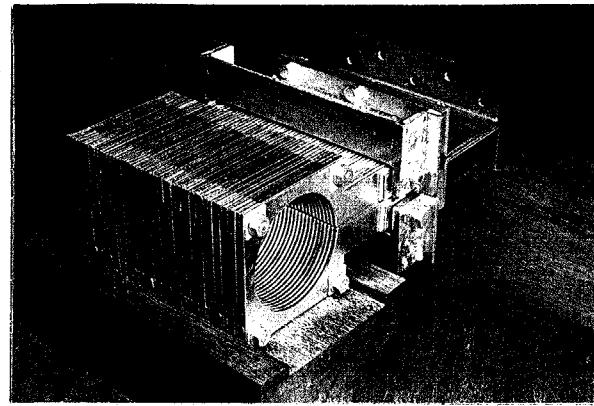
コールドトラップ^oを使って油抜散ポンプ^oを運転すると、放電管内は 2×10^{-6} Torr まで排気される。コールドトラップ^oは、放電管と排気系との間に入れておくが、効果は非常に大きい。ポンプ^oから油の蒸気が管内へ拡散していくのは是非避けおかねはならない。実験してみると、その効果がよく判った。不純物である酸素、炭素原子からの発光線スペクトルをモノクロメータで観測すると、トラップ^oが充分この働きを果していふことは妥当な信号がみられるが、不充分であると異常の強度の信号となり、光電子増倍管を飽和させてしまった。これは明らかに不純物の影響と考えられる。しかし、磁気探針には、このようなことによる影響が検出されたかった。

真空計として、ピラニゲージおよび電離真空計を使用した。

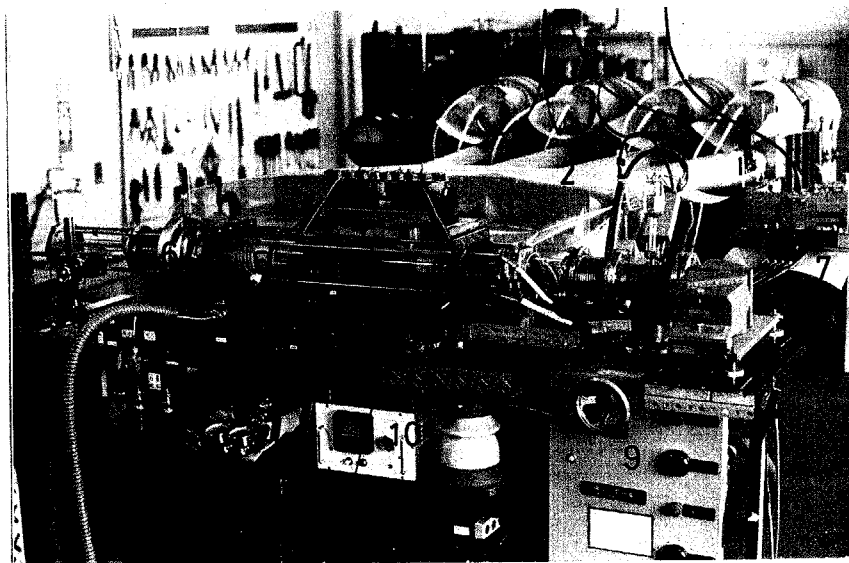
管内に満たすヘリウムガスは、連続的に流しておいた。オシベより減圧弁で1気圧までおとし、エトワート社製のリーフバルブを乙合直列に接続したものにより気圧の調整を行なつた。

本実験では初気圧が高いので、コールドトラップ^oも使用して、ロータリーポンプ^oだけで排気した。初気圧を数10mTorrまで下げる場合には、どうしても油抜散ポンプ^oを使うが、リーフバルブによって初気圧を常に一定とするのはなかなか困難であった。低気圧領域での気圧調整法は今後の問題として残してしまつた。

いずれにしろ、初気圧を一定にすることが、生成するプラズマの再現性を良くする立場から重要であった。



第3-2図 多数のスリットをもつTコイル
(コイル長 202mm)



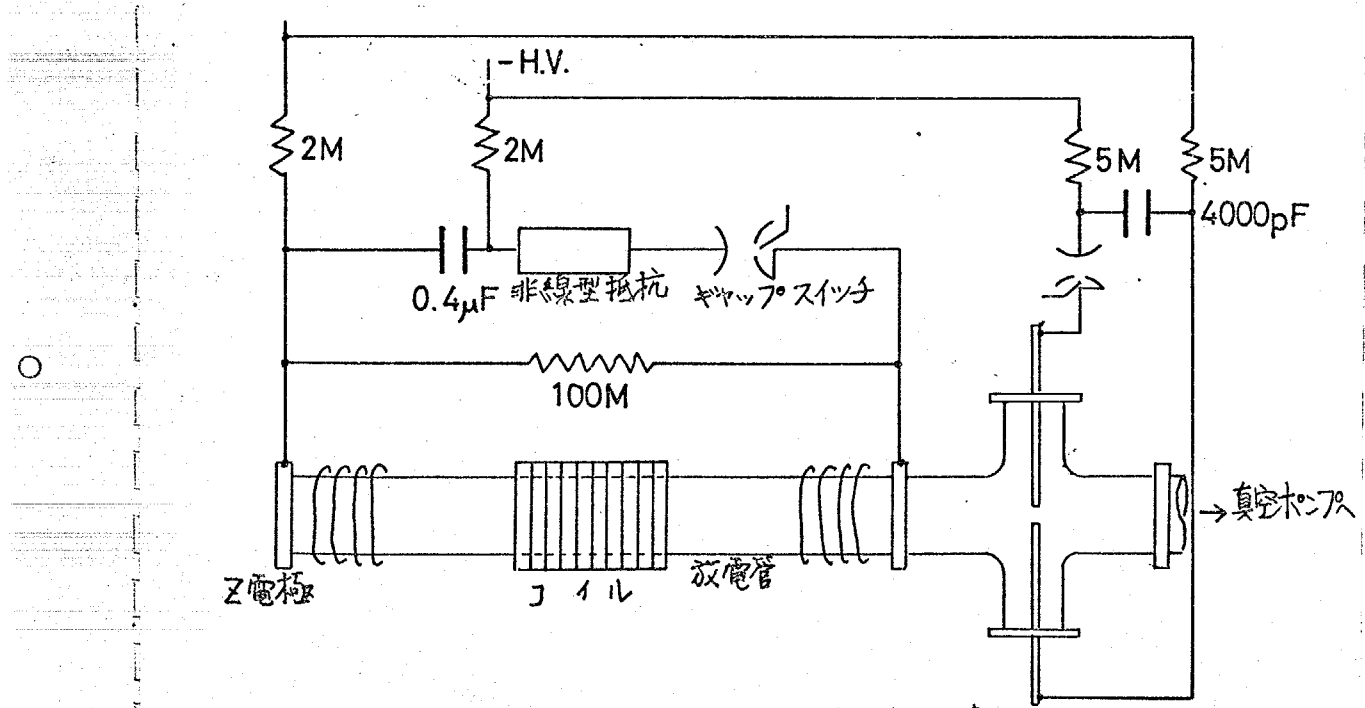
第3-3図 高速度テータビンチプラズマ発生装置

- 1 メインバンクコンデンサ
- 2 フィーダー
- 3 コレクタ
- 4 テータコイル
- 5 放電管
- 6 磁気探針支持用可動フランジ
- 7 プリヒータバンク
- 8 気体流入装置(ボンベ, リークハッピ)
- 9 真空排氣系
- 10 ピラニゲージ

3.3 予備加熱回路⁽³⁰⁾

管軸方向に電流を流すと放電による予備加熱回路は、容量 $0.4\mu F$ 、定格電圧 $5kV$ のコンデンサと、キャップスイッチおよび非線型抵抗からなるプリヒータバンクで構成される。電極は放電管の両端にとりつけられ、円環状であって、管軸方向からの光学測定にあたって視野をさえぎらないようにしてある。材質はステンレスである。電極放電のため、電極から放出される金属の不純物による悪影響が予想されるが、電流値をあまり大きくとらずに、時間巾の短い、单一パルスにしておけば、その影響は小さくなると考えられる。

单一パルスとするために、非線型抵抗を入れてあるが、高、充電電圧で運転すると、单一パルスで終らずに、逆方向に $1KA$ 程度の値で、時定数をさかめて大きい電流が流れてしまっている。実験では、この電流が流れている間にメインバンクを点火して、データレシーバを行なっている。しかし、ピニチオラスマの現象時定数がさかめて小さいので、この電流の効果は低く、と思われる。



第3-4図 プリヒータバンクおよび予備加熱回路

バンクから各電極への接続は、ケーブル RG8/U 4本によってなされ、磁気探針のとりつけられて、り側の電極が正極性となるようにし、どちらが直流通じて大地ボテンシャルとなる。

電極間距離離は、およそ 9.1cm であるが、初気圧 300 mTorr 前後の領域では、キャップスイッチが指令トリガによって起動されると同時に放電がおこる。

しかし、初気圧を下げていくと、この動作時間に遅れを生じ、ばらつき(ジャッタ)も大きくなる。40 mTorr 以下では、ついに放電しなくなってしまった。

これを改善するのに、電極の陰極側の近くに電子があれば、キャップスイッチが開き、 $100\text{M}\Omega$ の抵抗を通して放電したとき、この電子は陽極側へ加速されて移動する間に、中性原子との衝突と引き換えに電離が促進され電流路が形成できれば良いと考え、電子源の設置を試みた。

第 2-4 図に示したように、陽極と反対側で陰極から 14cm 離れたところに、

5 mmφ のしんじゅう電極による、0.5mm の小さなキャップ放電をさせて電子源とした。4000 PF のコンデンサを使い、この充電電源とスイッチのトリガはアリビータバンクのものと共通にして、今回の 100 mTorr の実験では、この方法とともに、でも放電はおこるが、この動作時間に遅れとばらつきがある。

さらに低、初気圧 10~20 mTorr の場合、この方法では不十分であった。そこで、熱電子源の使用を考え、その効果を実験的に確かめた。ヒータは前述の

小キャップとは同じ距離だけ離しておく。その形状は、直径 1.5mm のらせん状で、5 回巻いてあり長さ 9mm のもので、6.3V, 5A の定格である。電源は 6V の蓄電池を使い、2.5~3A の電流で動作させた。電極の陽極側において場合、この効果は全くみられないが、陰極側における効果があつた。とくに陰極部とヒータを接続して同電位となるようにしておくと、初気圧 12 mTorr でも、ばらつくことなく放電がおこり、低気圧領域での実験が可能となつた。

このほかに、従来から使用してきた高周波予偏放電がある。周波数 28.8MHz,

陽極損失 500W の発振器を使って、放電管の両端に巻いたコイルによって結合される。数%の電離が行なわれるだけであるが、この種の予備電離にしての場合とくらべ、再現性、圧縮過程での様子はいちじるしくことなる。

以上述べてきた予備電離、加熱の方法をまとめて列挙すると。

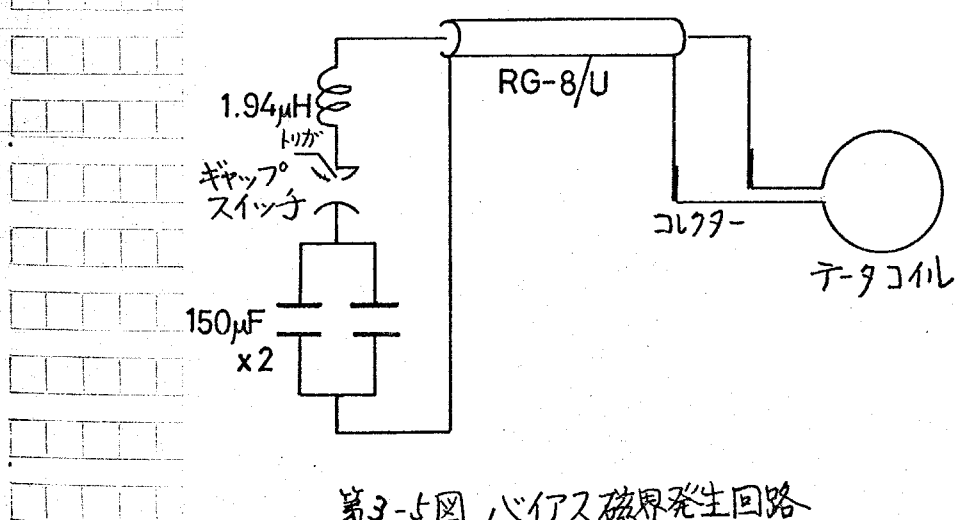
(a) 高周波放電による予備電離

(b) 真空放電による予備加熱 } 陰極附近の小孔はギャップ放電
ビーグに沿る熱電子源

となる。

3.4 バイアス磁界発生装置⁽³⁾

予備加熱したプラズマ中に任意の大きさと方向をもつて磁界を存在させておくためのバイアスバンクは次のように構成されている。容量 $150\mu F$ 、定格電圧 6KV のコンデンサを並列にして、 $300\mu F$ とする。その上に一台のギャップスイッチをとりつけ、 $1.94\mu H$ のインダクタスも直列に接続して。このインダクタスは、放電周期調整のためと、メインバンクとの減結合をはかる目的で使われている。メインバンクは、25KV 程度の電圧なので、これが直接、バイアスバンクのコンデンサにかかるのは都合が悪く、分圧して



第3-5図 バイアス磁界発生回路

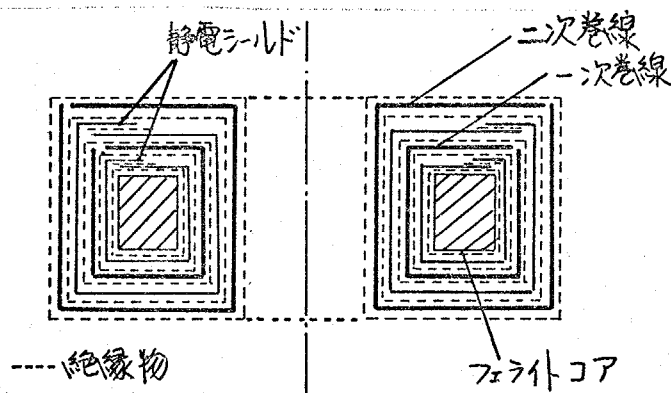
万が一のはなし。データコイルへは、バンクよりアースル RG8/U 8本でコレクタと経由して給電される。この放電回路の放電電流周期は $178\mu\text{Sec}$ であった。放電電流の極性は、充電系統の接続を替えて行なった。

なお、これから以後、メインバンクによる圧縮磁界と同じ方向にバイアス磁界をかけおく場合、順バイアス磁界、反対方向の場合を、逆バイアス磁界と呼ぶことにする。

3.5 放電のシーケンス

- 放電のシーケンスは、バイアス磁界、プリヒータ、メイン放電の順となる。本実験の場合では、バイアス磁界がかけられてから $16.7\mu\text{Sec}$ 後にプリヒータバンクを点火して、予備加熱する。その $11\mu\text{Sec}$ 後にメインバンクが動作し、ラスマが圧縮、加熱される。このタイミングは、各バンクを充電しておき、遅延パルス発生器から出た信号により、サイラトロン JC-22 で構成されたトリガ発生器が、それの希望する動作時刻に各バンクのチャップスイッチをトリガすることで実現される。遅延パルス発生器は、LC 遅延集中定数回路からなるもので、著者が製作した。この最終出力はサイラトロン JC-22 を使っていて、これが、JC-22 の入力とは、トロイタル状のフェライトコアを使って絶縁パルストラニスを通して結合させた。このトランジスタの一次、二次巻線は 0.05mm 厚の銅はくで静電シールドがはりこされている。その構造は第3-6 図に示されたとおりである。

- このトランジスタがないと、放電時のサージが、トリガ発生器から遅延パルス発生器まで伝わり、誤動作し易かつた。トリガ発生器からキャップスイッチのトリガ電極への



第3-6図 絶縁パルストラニス

間にも絶縁トランジスを入れた。これは直径 10cm 程度の硫化ヒ素-レのパイプのまわりに、ビニール線で 10巻ほどを 1 次巻線とし、銅はくのシールドをはとにしてから同じ巻数の二次巻線をその上に巻いたものである。一般に衝撃大電流を扱う回路では、静電シールドのある絶縁トランジスを使って、できる限り分離しておく方が誤動作、雜音の被害を受けなくなる。

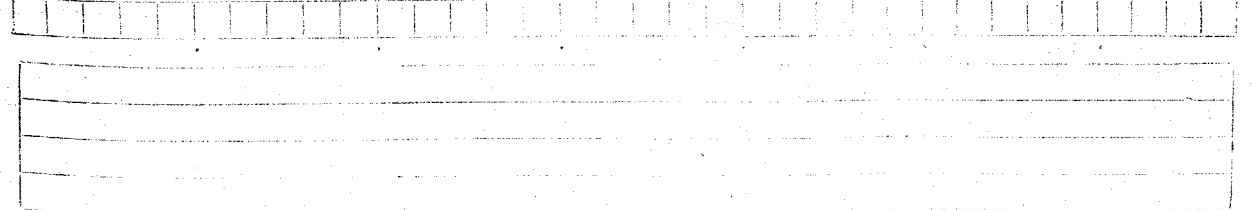
トリガ系統を第 3-7 図にまとめて示した。

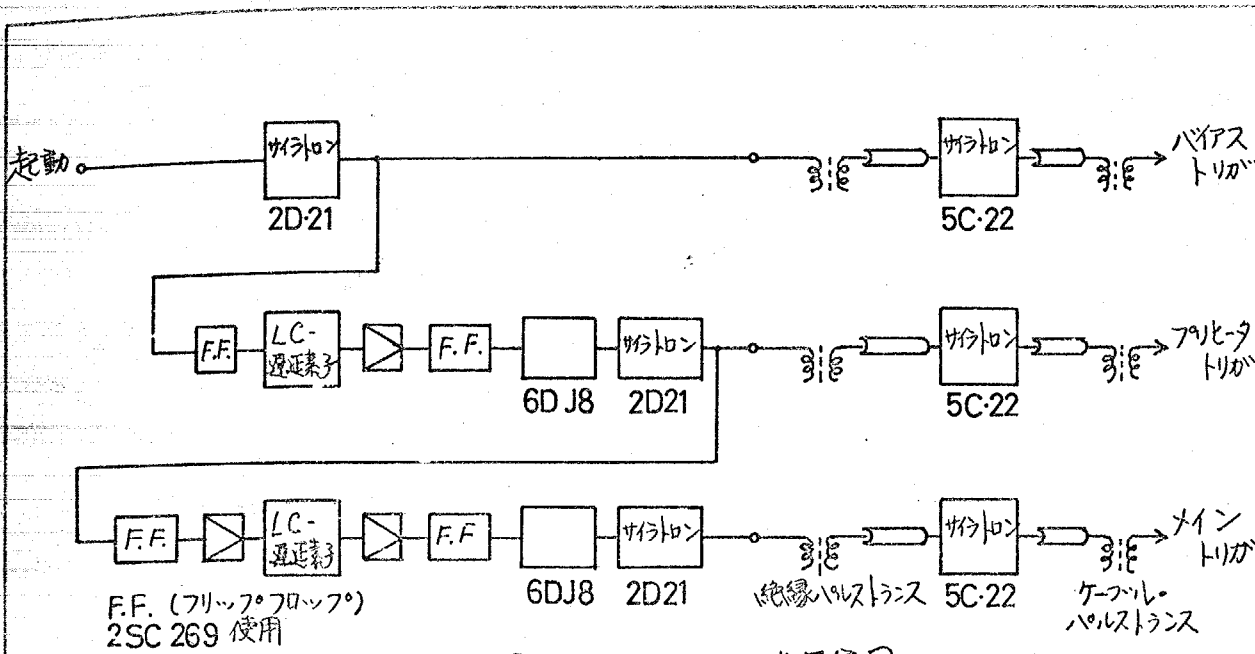
各バンクの充電は、充電制御盤によって自動的にくりかえされる。

メインバンクの充電電圧を示す計器 (100MΩ の高抵抗を介して、 $500\mu A$ の電流計で電圧を測る) がマーテリレーなので、指定した充電電圧となつたとき高压トランジスの一次側が開かれ、すべてのバンクの充電が停止される。この数 $100mSec$ 後に遮断バルス発生器が起動される。

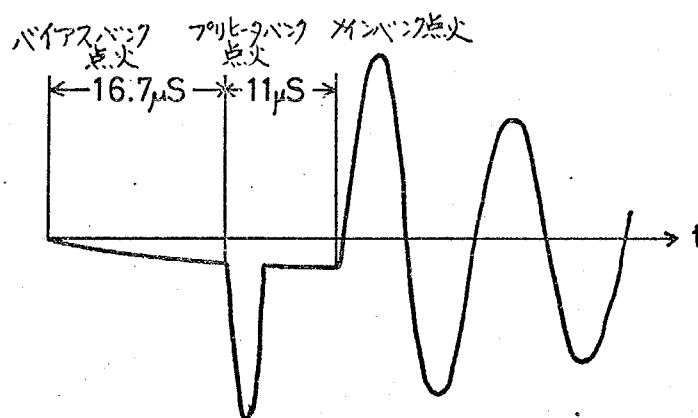
各バンクの充電電源の高压トランジスの一次側には、絶縁トランジスが入っており、放電回路全体の漏れが浮くようにしてある。この実験では、装置すべての電源には絶縁トランジスが入ってあり、電源を経ての雜音を極力押さえるようにした。計測器などは電源から混入していく雜音ある、何サージで影響を受けることが多く、絶縁トランジスの使用、あるいは市販の電源用フィルタによつてほとんと改善される。筆者は、あらゆる電源部に $0.01\mu F$ のチタンコンデンサを、1 個ある、何數個並列にいれて良い結果を得ている。

今まで述べてきた各バンクを総合した放電回路が第 3-9 図であり、第 3-1 表に各部分の定格と使用した値をまとめた。

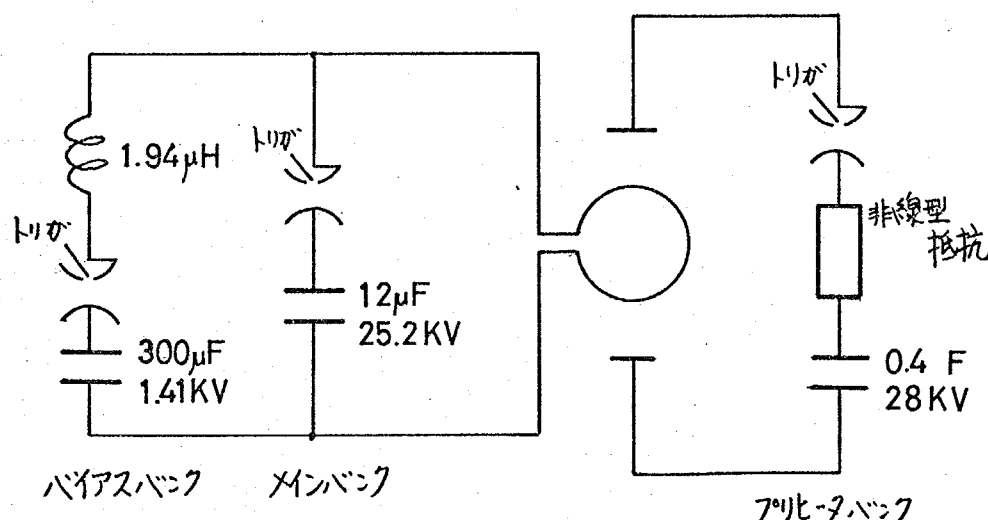




第3-7図 トリガパルス回路系統図.



第3-8図 放電のタイミング



第3-9図 テーパーハンチプラスマ発生装置 放電回路

(最大定格値)

コイルの長さ	20.2 cm
内径	9.8 cm
放電管の内径	7.6 cm
コイルのインダクタンス	31.0 nH
放電回路のインダクタンス	87.5 nH
メインバンク	
コンデンサ容量	12.0 μ F
充電電圧	25.2 KV
充電エネルギー	3.8 KJ
放電周期(T)	6.44 μ Sec
放電電流($t = T/4$)	279.0 KA
最大磁束密度($t = T/4$)	1.56 Wb/m ²
圧縮磁界の立ち上がり	1.5×10^6 Wb/m ² /s 2.4×10^6 Wb/m ² /s
フリヒータバンク	
コンデンサ容量	0.4 μ F
充電電圧	28.0 KV
放電電流	14.0 KA
バイアスバンク	
充電電圧	1.4 KV
放電周期	178 μ Sec
コンデンサ容量	300 μ F
使用気体	He
初気圧	300 mTorr
	100 mTorr

第3-1表. 高速度データヒーチプラズマ発生装置

第4章 高温プラズマの診断

4.1 高温、高密度プラズマにおける測定

プラズマを研究するには、プラズマ中の磁界、電界、電子温度、イオン温度、粒子密度などのパラメータを定量的に測定することが非常に重要である。

測定にあたっては、対象としているプラズマを乱さないことが要求される。

また時間的、空間的分解能が高くなければならない。しかし、プラズマを乱さずとも空間的分解能を高く維持するのは、なかなか歴史的難い。高い空間分解能とほこる各種探針は、プラズマ中に直接入れるわけであるが、しばしばプラズマを乱す場合がある。また温度が高くなるにつれ使用できなくなる。プラズマの種類によって、それに応じて測定法を使用すべきである。

データヒニチのように、温度が 10 eV から数 keV で、粒子密度が 10^{16} cm^{-3} から 10^{17} cm^{-3} の高温で高密度のプラズマの測定法のあらましとここで説明しておく。次節以後で本研究の実験で使った方法を詳しく述べる。

測定は大きく次の二つに分類され、これぞれ長所、短所がある。

(a) 探針によるもの (局所的な値を測定でき、空間分解能が高い。)

（プラズマと直接触れるので乱すことがある）

(b) 準光学的方法 (プラズマ自身の発光を利用して、あるいはレーザ光がプラズマから受けける影響を測る。)

（プラズマを乱さず、外部で測定できる。空間分解能は、あまり高くできない。）

探針は磁界分布を求めるとき使われ、それほど高温でなければ、手軽に使うことができ、得られる結果も意味あるものとなる。こうした電磁界測定は、この他に放電管のまわりに導線のループを巻きつけておき、プラズマによる反磁性効果を検出することも行われる。

準光学的測定も、これまで多くの方法が試みられ実用化されてきた。⁽³²⁾ プラズマの巨視的運動をみると、高速度カメラに頼る他ない。データヒニチ



光が透過する。大きな像として撮影ひき分解能は高いが、シャッタを開じて止まざる状態でも入射光が漏れてくる欠点がある。ただこの方法は、ある一つの時刻をとらえられるだけで、連続的な時間変化の観測はできない。もう一つは、イメージコンバータ管を使うもので、本研究では、この型の高速度カメラを使用して、流し撮り、駆撮りを行なった。

回転鏡式は、長くフィルムを固定しておき、鏡と高速度で回転させることにより像を移動し、その感光面上に記録する。これは一回の撮影で多数の駆撮りができる特長をもつているけれども、機械的な回転部分があるので動作時間を、高速度シャッタのように速くはできない。

カメラで撮影したプラスマの発光像は、温度とつながりもあるし、電子密度に関係がある。プラスマからの連続光をとらえて、それを考えて、電子密度の空間分布を求めることが可能である。この場合、フィルム上に記録された発光強度は実際に放射された光源の強度と一致しないので光学測定系の非線型の応答性を校正しなければならない。プラスマが放電管壁にあたって不純物が放出された場合でも著しい漏光がみられる。これから不安定性や、平衡状態の崩壊を確認するのが行なわれる。

4.2-2 イメージコンバータ管⁽³³⁾

イメージコンバータ管は被測定対象からの光を一度電子に変換して、その電子を電気的に制御し、感光面上に映像を再現する。シャッタ動作は、電子を感光面まで走行させながら、希望の時刻に電圧パルスをクリットに加えてから電子を照射することによって行なう。また偏向電極を設けて、て電子ビームを移動できることにしておけば像を動かし、流したり、駆撮りができる。

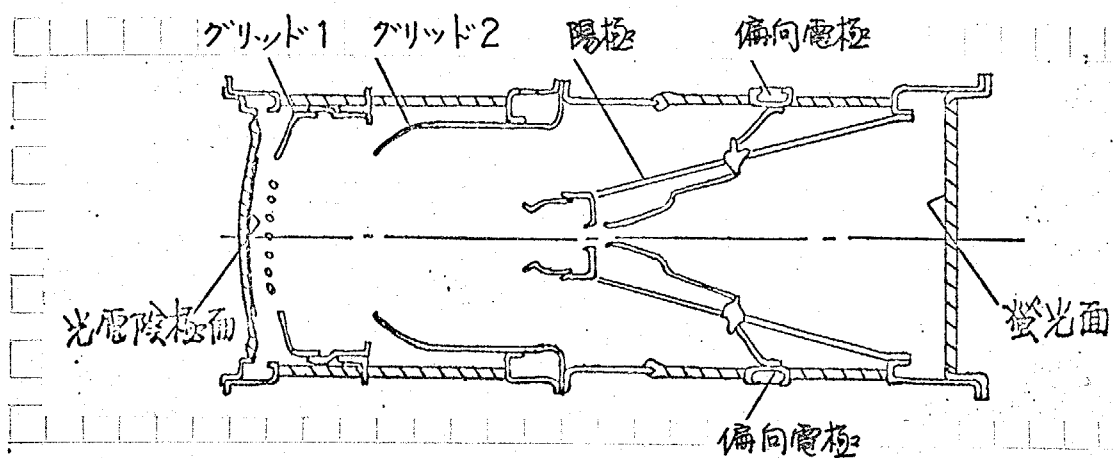
筆者は、以前研究室で製作されたこのイメージコンバータ型の高速度カメラの改造を行ない、データビニチプラスマの巨視的な運動を観測してきた。⁽³⁴⁾

使用したイメージコンバータ管は RCA 社の製品で、RCA-4449A と呼ば

れる型のものである。その内部構造は第4-1図に示されている。

管の動作を説明していく。光源よりの光が光電陰極に照射されると、入射光の強度に応じて光電子が放出される。この陰極はセシウム-アニチモン (Sb-Cs) で、 3800Å から 4800Å の波長に対して最大の感度を有している。発生した光電子は、クリッド1によって陽極側への走行を制御される。これがシャッタ動作を行なうもので、常に陰極に対して負電位においておく。希望する撮影时刻と露出時間に応じて正の電圧パルスを加えれば、光電子は陽極側へ加速されていく。陰極面附近へ格子状に設置されており、集束電圧とクリッドにかかる電圧が条件に合っていなければ、蛍光面上にこの格子模様があらわれてしまう。

クリッド2は、光電子流が陽極と偏向電極の開口部分に集束するような電界をつくるためのもので、加速用電圧を介してものと通常かけておく。陽極は、図示した構造と配置に依り蛍光面も同電位にかかる。オニコスコープのプラウン管の場合には蛍光面を零電位におくが、イナージコンバータ管は高電位において使うことが多いので、とくに注意を要する。陽極で集束した光電子流は交差し、光電陰極面上の像と蛍光面上の像が反転する。偏向電極は陽極の後方にかけられ、電圧をかけて電子流を偏向し、蛍光面上の



第4-1図 イナージコンバータ管

像を移動させる。駆撮りの場合には階段状の電圧パルスを加え、流し撮りの場合には連続して立ち上がりの三角波を加える。電子流を偏向する際に、像の分解能が低下しないように上下に合わせて一対の偏向電極には、逆位相の電圧パルスを加えるわけなければならない。

イメージコンバータ管の光学的特性を第4-1表にまとめ、電気的特性を第4-2表に示した。

光電陰極	波長感度特性	S-11 (最大感度波長 3800~4800Å)
有効径	27.8 mm	
極面曲率	1/102	
螢光面	反射特性	P-11(青)
撮影有効径	25 mm巾 × 70 mm長	
交換利得	69(定格動作、入射光400Å)	
分解能	25 line-pairs/mm	
像倍率	0.69~0.78	

第4-1表 イメージコンバータ管の光学的特性

陽極電圧	15 kV
集束電圧	1640 V
クリット1電圧	動作電圧 138 V
	カットオフ電圧 -68 V
偏向感度	500 V/cm
陰極-グリッド1間静電容量	20 pF
最大陰極電流	20 mA

第4-2表 イメージコンバータ管の電気的特性

4.2-3 高速度カメラ駆動のための電子回路

この高速度カメラはすべて電子回路によって制御される。イメージコンバータ管の入ったカメラ本体の他に、以下に述べる四つの電子回路を使う。

(a) 遅延回路

(b) 流し撮り用パルス回路

(c) 駆け撮り用パルス回路

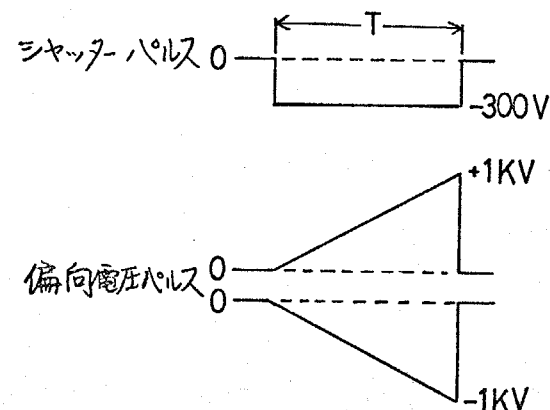
(d) 電源回路

はあ、それらの部分の動作について説明しておく。

- (a) 遅延回路、観測する現象を任意の時刻でとらえさせるための制御とする。この実験では、現象が過渡的であるので、測定器の起動はデータコイルに流れたりインバンクからの電流による境界を検出して行なっている。そのため放電電流が流れ始めてから数 μsec 程度遅らせて起動するには、遅延回路の出力を使わなければならぬ。

(b) 流し撮り用パルス回路。スリット状の像を熒光面上で連続的に移動すれば、現象の連続的な時間変化が撮影できる。これには、第4-2図のようにはパルスが必要で、パルス巾 $1\mu\text{sec}$ から $12\mu\text{sec}$ で、波高値 -300V の矩形波パルスをクリップト1に、これと同じパルス巾で波高値が $\pm 1\text{kV}$ の三角波を偏向電極にそれがかける。実際に使用

- した回路のブロックダイアグラムを第4-3図に示した。またシャッタ動作はクリップト1によるが、応答を高速にするため、クリップト1は電池によって常に一定の電位 ($+100\text{V}$ 程度) にしてある。光電陰極面を、この電位より高くしておく。つまりクリップト1は光電陰極に対して電位が低い。このとき光電子は、



第4-2図 駆動パルス

陽極側へ走行できない。そこで陰極に負のパルスを加えれば、逆にクリット1の電位が高くなり電子が陽極側へ加速される。この方法にした方が高速の動作は改善された。流し時間は1, 2, 3, 5, 12 μ secの5種類ができる。

(C) 駒撮り用パルス回路

プラスマ全体の形状と、露出時間20nsec、駒間隔400nsecで2駒撮りために必要なパルスをつくる。原理的には、パルスをつくれば何駒でも撮影できるが、露光面の大きさと分解能の制限から、せいぜい5駒まで撮影可能であるといわれる。筆者らが製作したもののは2駒撮りだけとなっている。回路のブロックタイアグラムを第4-4図に示す。立ち上がりが速い短いパルスやシャンタパルスとして必要となるが、ケーブルSC-2V; 1mの充放電を利用して、サイラトロン2D21と組み合わせて実現した。偏向電極へ加える矩形波パルスは、コンデンサ0.005 μ Fのサイラトロンによる放電でつくる。シャンタパルスが20nsecとさわめて短ないので、コンデンサの単なる放電によるもので立ち上がりの部分は矩形波とみなせる。實際の回路は第4-5図である。

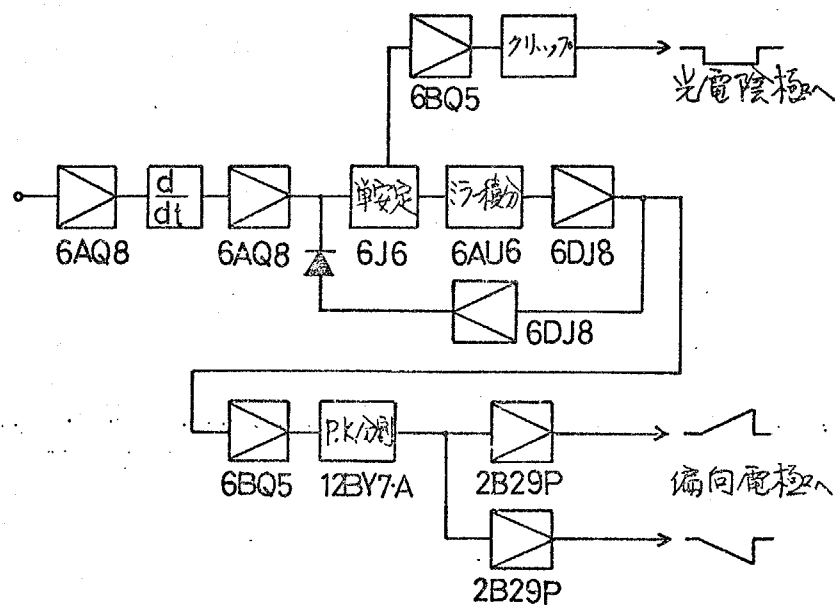
流し撮りよりも、駒撮りの方が技術的に難しい点が一つある。極端に駒間隔を短くすると、像の分解能が悪くなってしまうのが判った。

(d) 電源回路

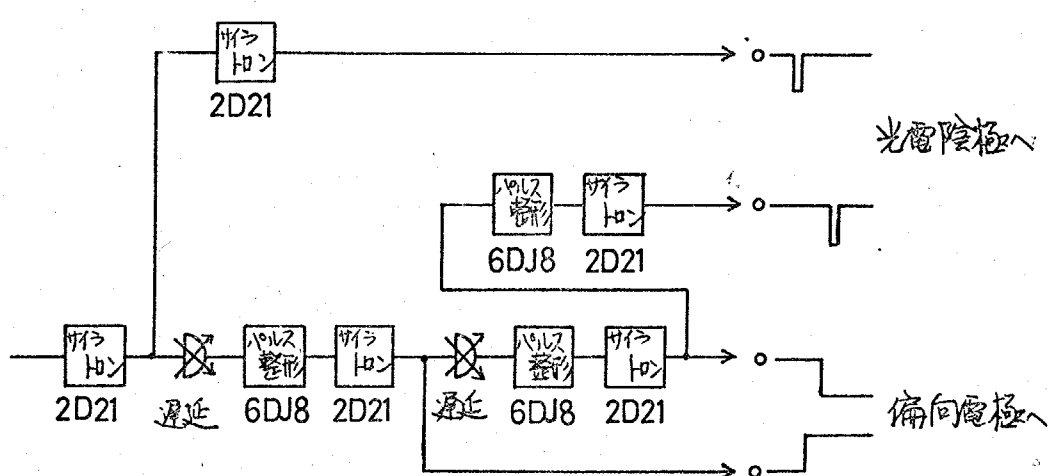
イナ-シコンバータ管の加速電圧は、直流0~16kV, 2mAの高圧電源を使い、他の電子回路用のB電源、およびヒータ電源も別に製作工れている。

カメラ本体は326×460×350 (mm) のアルミケースからできている。

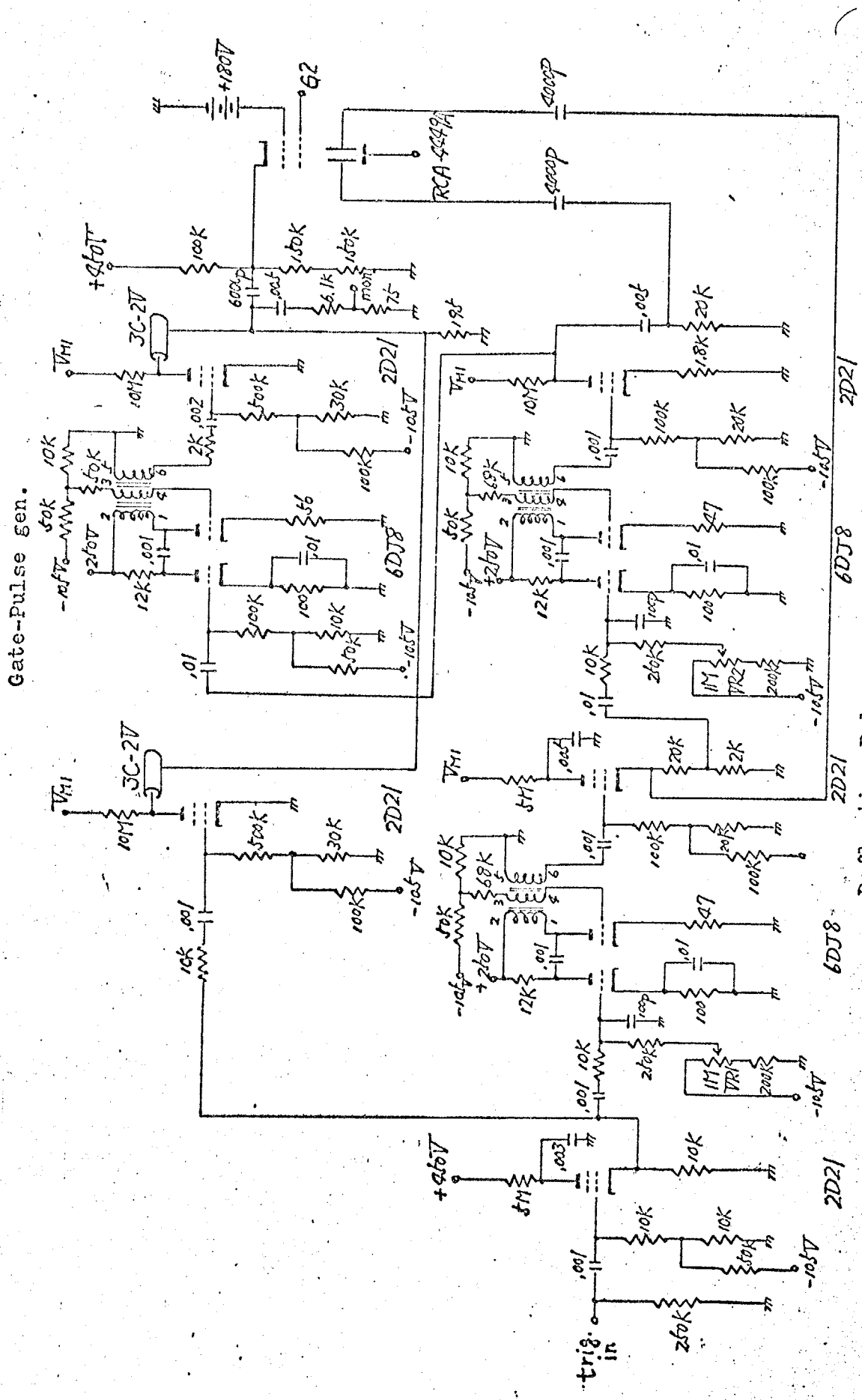
これまで述べてきた駆動用の電子回路は、一つのラックに組みこまれていて、このカメラ本体とは、電源、パルスともケーブルによって結合される。電子回路の電源は、磁気増幅器型の安定化電源装置を経て、絶縁トランジスタによって浮かしてある。



第4-3図 流し撮り回路ブロックタイアグラム



第4-4図 駆撮り回路ブロックタイアグラム

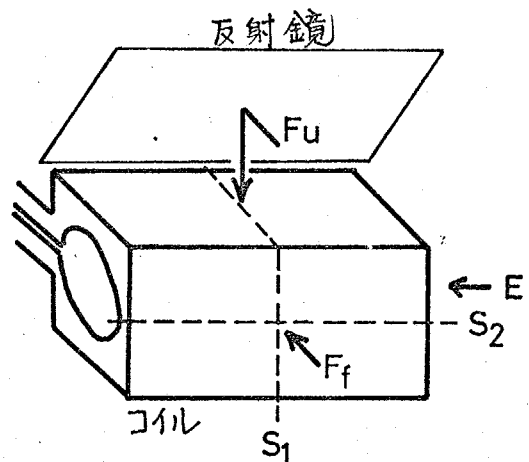


4.2-4 観測方法

プラズマ全体の形状は動撮りによって撮影し、半径方向、放電管軸方向への運動の連続的変化は流し撮りによった。立体的構造をつかむため、コイル上方に反射鏡を設け、同時に二方向からの観測が行えるようにした。

撮影方向は第4-6図に示した。E方向からプラズマの半径方向の形状の動撮りをする。 S_1 , S_2 に示す場所に巾0.8mmのスリットをコイル附近に置いた。 S_1 からの像を流し撮りすると、プラズマが半径方向に圧縮される様子が判る。 S_2 によれば管軸方向の運動が観測できる。いずれの場合でもカメラの焦点はコイル中央部に合わせた。

イナ-ジコンバータ管の定格加速電圧は15kVであるが、今回の場合10.5kVで動作させた。螢光面上の像是、36mmのX線フィルムで記録し、現像の際に増感処理を行なった。撮影時刻の確認は、高速度カメラのモニタ端子より、シャッターパルスをとりだし、データコイルの放電電流波形と一緒に記録した。



第4-6図 観測方向およびスリットの位置

4.3 磁気探針

■ プラズマ中の軸方向磁界 B_z の分布は磁気探針によって測定した。使用した磁気探針の構造は、 0.08 mm Φのオリウレタン線を回巻いた直径 1.2 mm の検出コイルと、外径 3 mm のバイレックスガラス管に入れられたものである。

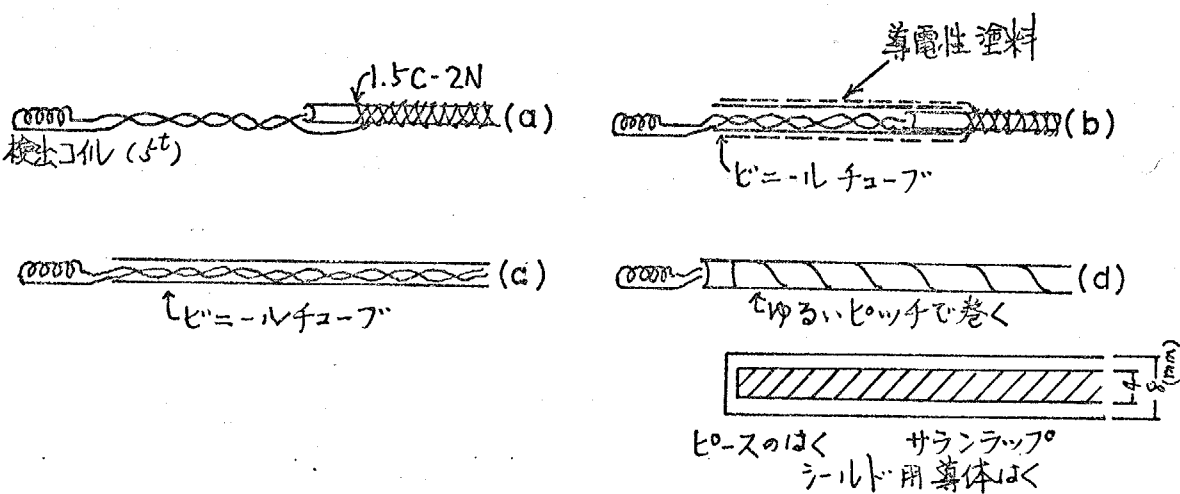
■ 磁気探針と半径方向、管軸方向と空間的に移動するため、探針は可動フレンジで保持されている。これは真空排気系と反対側の放電管終端に取りつけられて、半径方向の移動は、O-リングを介して行われた。軸方向の移動は、ベローズの使用によって真空を保つやすさなく実行できた。

■ 検出コイルの出力は、対称接続をして一組の同軸ケーブルでシールドルーム内までもっていき、終端に整合抵抗 47Ω を接続し、時定数 $5\mu\text{sec}$ の RC 積分回路を経てオシロスコープで観測した。

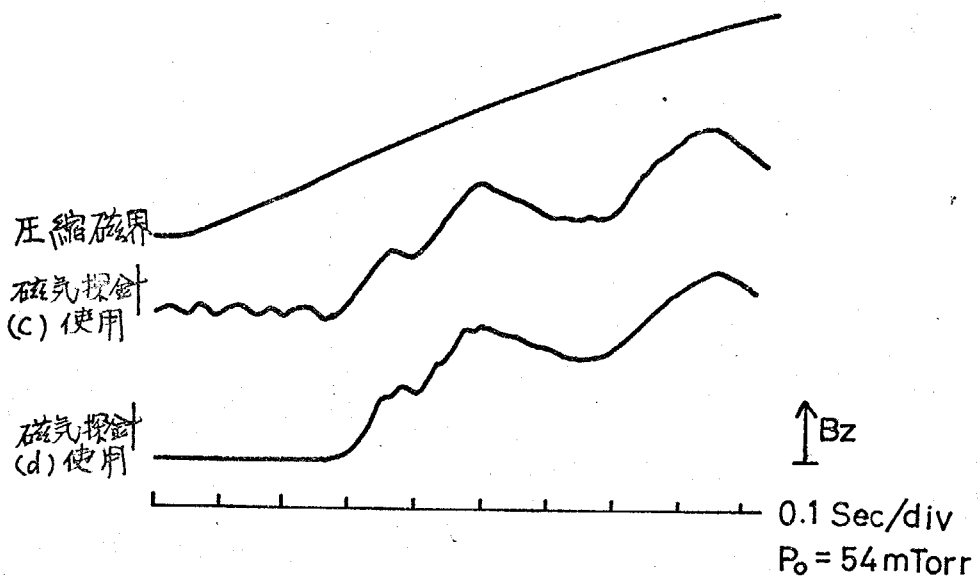
■ B_z の半径方向分布は、コイル中央部 ($z=0$) で、 3 mm 間隔に探針を半径方向に移動して測定した。同じ測定位置、同一条件で 2 回測定した。管軸方向の分布は、管軸 ($r=0$) に沿って、 10 mm 間隔にとっていった。

■ 一般に、探針測定は直接プラズマ中に探針を入れるので、その信号をよく検討しておかないと誤った解釈をまねく。磁気探針では検出した信号に、磁界成分だけでなく静電的結合による雑音が重複される場合がある。今回の実験でも、初期においてこの問題を解決しなければならなかっただ。数 100 mTorr の初気圧では問題とならなかったが、 100 mTorr 以下の圧縮過程の時刻で雑音がみられた。最初、第 4-7 図の (a), (c) の形の探針であったが、静電シールドを検出コイルのすぐ近くまで施す必要のあることが判明し、(b), (d) の方法ととて(3), (d) の方法がよりと雑音に対して効果があった。測定でもこの方法の探針を使用した。第 4-8 図に (c) の探針を使った場合と、(d) のシールドによる効果を示した。被測定プラズマは十分予備電離されていて、 $(z=0, r=0)$ では、 $0.2\mu\text{sec}$ 程度の時刻まで、外部磁界が伝搬してこない。つまり磁界は存在しないはずであるが、シールドのな

(c) の探針によると、約 25 MHz の小振幅な成分が存在していた。そこで (d) のように検出コイルのすぐ近くまでシールドをはとこすと、この成分は消滅した。これは、放電回路と測定系が plasma と併して結合していたためと考えられる。



第4-7図 磁気探針とシールトの方法



第4-8図 静電シールトによる磁気探針出力波形への効果

4.4 レーザと使ったマッハツエンタ干渉計

4.4-1 測定原理

アリヒータ、バイアス各バンクを使って実験では初期プラズマの状態を知つておく必要がある。まず密度を求めるため、レーザと使ったマッハツエンタ干渉計による測定を行なつた。

レーザとプラズマの診断に使う方法は、これまでに多くの研究がなされ、今回測定した干渉法⁽³⁵⁾、またプラズマによるトムソン散乱を利用する散乱法の二つは、今日、ほぼ完成された手法となつてゐる。

電子密度の干渉法による測定の原理を説明する。プラズマの屈折率 μ は、

$$\mu \approx \sqrt{1 - \left(\frac{\omega_p}{\omega}\right)^2} \quad (4-1)$$

で表わされる。 ω は入射する光の周波数、 ω_p はプラズマ振動数で $\omega_p^2 = 4\pi n_e e/m_e$ 今、波長 λ (cm)の光線を、2本の光路に分け、その一方の光線を長さ L の媒質であるプラズマ中へ透過させた後、もう一方の光線と合成して干渉とさせる。すると、屈折率のちがいによって生じた光路差のために干渉縞ができる。このとき光路差 ΔL は

$$\Delta L = L(\mu - 1) \quad (4-2)$$

であり、それによる干渉縞の移動数 ΔN は

$$\Delta N = \frac{\Delta L}{\lambda} = \frac{L(\mu - 1)}{\lambda} \approx -4.46 \times 10^{-14} \lambda L n_e \quad (4-3)$$

ここで、入射光の波長 λ は光源を決めれば定まり、プラズマの長さ L を判る。

から干渉縞の移動数 ΔN を測定すれば、電子密度 n_e は

$$n_e = 2.24 \times 10^{13} \frac{|\Delta N|}{\lambda L} \quad (\text{cm}^{-3}) \quad (4-4)$$

で決定される。

光源としては、青水銀灯とフィルタを使っていたときもあるが、現在では

He-Neのガスレーザが使われている。He-Neレーザで 6328\AA の光を光源として使えば、

$$n_e = 3.54 \times 10^{17} \frac{|\Delta N|}{L} (\text{cm}^{-3}) \quad (4-5)$$

となる。たとえば、長さ $L = 100\text{cm}$ のプラズマで、測定した干渉縞の移動数が $|\Delta N| = 1$ のときは、そのときの電子密度は $n_e = 3.54 \times 10^{15} (\text{cm}^{-3})$ と決定される。

さて、これまでの議論では被測定媒質であるプラズマが完全電離しており、中性原子の影響はないとしてきた。もし完全電離でなければ中性原子による屈折率変化も干渉縞に含まれる。しかし都合のよきことに、中性原子の効果は入射光の波長に依存しないので、二種類の波長の異なる光源で同一の測定を行ない、中性原子によるものを差し引けばその補正ができる。

屈折率 μ の式から判るように、電子密度が低くなると、干渉縞の移動数 $|\Delta N|$ も小さくなり、測定器の分解能からこの変化分は實際上読みとれなくなる。このため、この方法では測定可能な電子密度の限界がある。密度が低く、プラズマ長の短いものの測定は困難である。

さらに低密度を測定しなければ、光源の波長を長くするとよい。波長が 10.6μ の炭酸ガスレーザならば、感度が 1/10 倍上昇したことになり、測定可能な密度の下限を一桁下げられる。ただ長波長領域では、その検出器に問題が生じてくる。赤外域で $0.01\mu\text{Sec}$ 程度の高速度の応答をもつ素子で性能の良さはまだ開拓されていない。このため、急激な密度変化のある過渡プラズマでは測定できないことがある。

ルビーレーザのような大出力で 40nSec 程度の短い時間に反射させるレーザを使って、二次元的の干渉縞の分布を観測する方法もある。

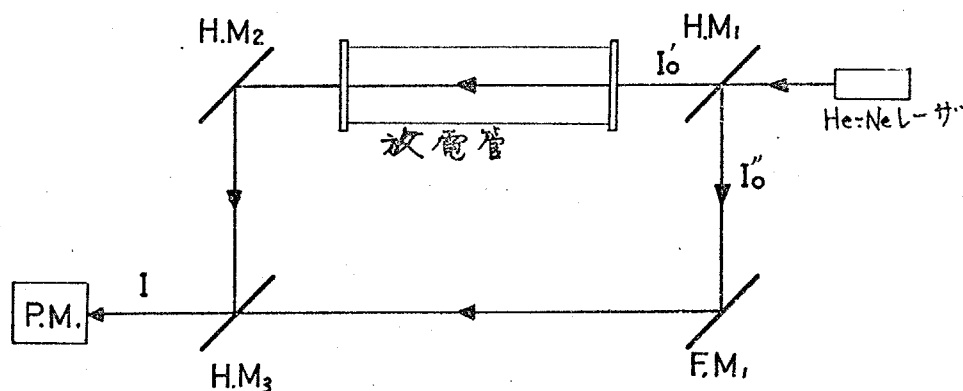
この方法は放電管軸方向に積分された値として検出されるので、軸方向に不均一な密度分布が生じていても、測定では判定できない。



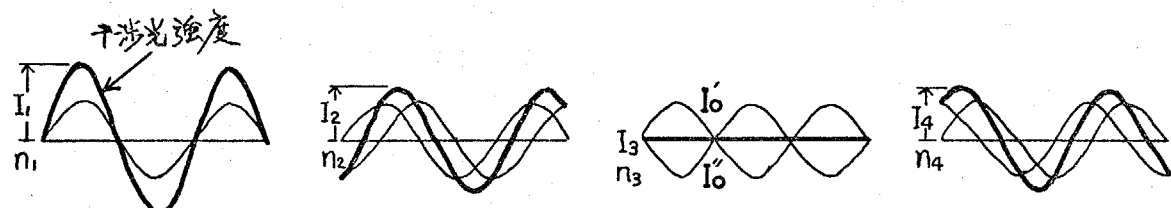
4.4-2 測定方法

実際に使った方法は、第4-9図のようないまハッセンゲ干渉計である。放電管軸と平行に出力3mWのHe-Neレーザを入射させる。このレーザ光をハーフミラ H.M.₁で二つの光路に分ける。一方の光線は放電管内のプラスマ中を通り、ハーフミラ H.M.₂, H.M.₃を経由してへく。もう一方の全反射鏡 F.M.₁、ハーフミラ H.M.₃を通った光線をそれと合成して干渉させた。

この干渉像は第4-10図に示した概念で示される。プラスマの密度に応じて二つの光線が干渉した後の強度をIとしてある。この強度は図示したように光路差によって生じた位相のちがいによって変化する。この強度の時間変化を光電子増倍管で検出することで、密度の時間変化を求める。



第4-9図 レーザを使ってマッハセンゲ干渉計

第4-10図 光路差によっておこる干渉 $I = I_0 + I_0''$

4.5 分光測定

メインハニクの取扱いにおける不純物の検出、およびフリヒータハニクによる予偏電離、加熱の程度の目安を求めるために、モクロメータを使って分光測定を行なった。

実験方法に先立ち、高温プラズマにおける分光測定の動向を検討し、データヒュニチのような高ベータプラズマの研究の中でしめる位置と意味を考えておく。こうした考察は、これまで光学的方法を使ってプラズマを診断していくうえに、どうしても必要なものである。

○ プラズマを分光学的に診断し、電子温度、イオニ温度、電子密度を測る試みは、プラズマに関する研究が始められてから、他の電磁気学的測定などと並行して活発に研究されてきた。^{(6) (7)} 分光による方法は大きく二つに分けられて、

(1) 線あるいは連続スペクトルの強度の測定

(2) 線スペクトルの形の測定

ところ。前者の方法は、二本の線スペクトルの強度比、または線スペクトルと連続スペクトルの強度比とすることによって電子温度を求めるものである。後者の例としては、ドップラ効果によるスペクトルのひずみからイオニ温度を求めるものがある。(しかし原理的に測定可能であっても、実際のプラズマに適用すると種々の問題が発生てくる。分光器等計測器の分解能、精度の制約、スペクトルに関する理論におかれている仮定が、対象としている現象において成立しているかの判定など、不確定要素がはつきまとっている。)

○ プラズマにおける分光学的研究の初期においては、プラズマ自体の温度があまり高くない、そのため、主に取り扱われていていたが、核融合プラズマ程度の高温になると、原子価の大きさ、不純物からのスペクトルを使って、電子温度を測定しなければならない。10eV程度では発光強度スペクトル分布の最大が1000Å付近、100eVになるとから100Åのあたりにくる。データヒュニチの診断では、こうした事情から2000Å以下の波長を取り扱わねば

からだ。この帯域は真空紫外域と呼ばれ、純粹に分光学を研究する立場に
立っても、その計測技術は、可視、近紫外域における手法と趣きを異にし、
多くの困難な問題がある。これはプラズマ物理が分光学を刺激した一つの例
である。現在、データビニチプラズマは、分光学における光源として重要な
役割をはたすようになってい。

比較的低、温度領域で、スペクトル線の強度比から電子温度を導く方法で
は、プラズマ中で起こっている原子過程がどのモデルで近似できるかを考へ、
これにちがって放射される線スペクトルの強度比を計算し、実測値との比
較から求めるという間接的なものである。線スペクトルは電子がすべてその
原因となつていて、電離の割合、各エネルギー準位の占有密度と準位間の
遷移の様子との関係といふことを仮定する。この仮定のとり方で、局所熱平
衡(LTE)の状態、コロナモデル、衝突輻射モデルがある。実際には対象と
しているプラズマの密度、温度、現象の時定数を考慮しながら、適当なモデ
ルを選んで計算をするわけである。従来の研究では、いかれかのモデルを使
って近似的な取り扱いがされてきたのであるが、最近、これは正しくなく
原子の電離、再結合、各エネルギー準位の占有密度の流入、流出など、すべて
の原子素過程を関係づける反応式の連立方程式を立て、それを数値的に解
いていかなければならぬことが明らかにされた。とくに時間変化の大きい
非定常過程で、この取り扱いの重要な意味をもってくるであろう。

分光による方法で、温度を求めるためばかりではなく、線スペクトルの時間
変化などの現象にもとづいていかるかと、他の測定法と組合せて検討し、プラ
ズマの運動を調べることも、まとめてやるべきであると考える。

次に本研究で行なった分光測定の方法を説明する。

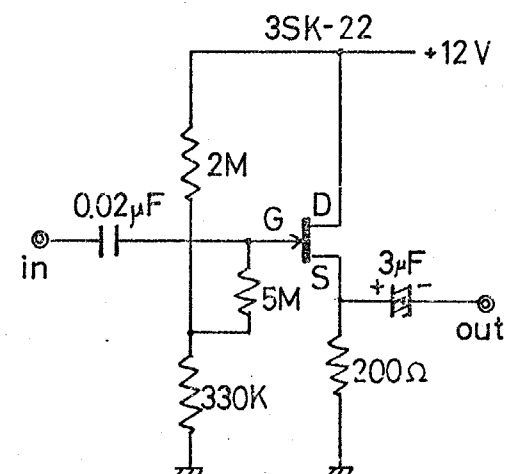
使用したモノクロナータは、回折格子を使った小型のものである。回折格
子の大きさは $50 \times 34 \times 5$ (mm) で、格子定数 $1/592$ となっている。内部に
あるコリメータ鏡は、焦点距離 300 mm のアルミ蒸着した凹面鏡である。



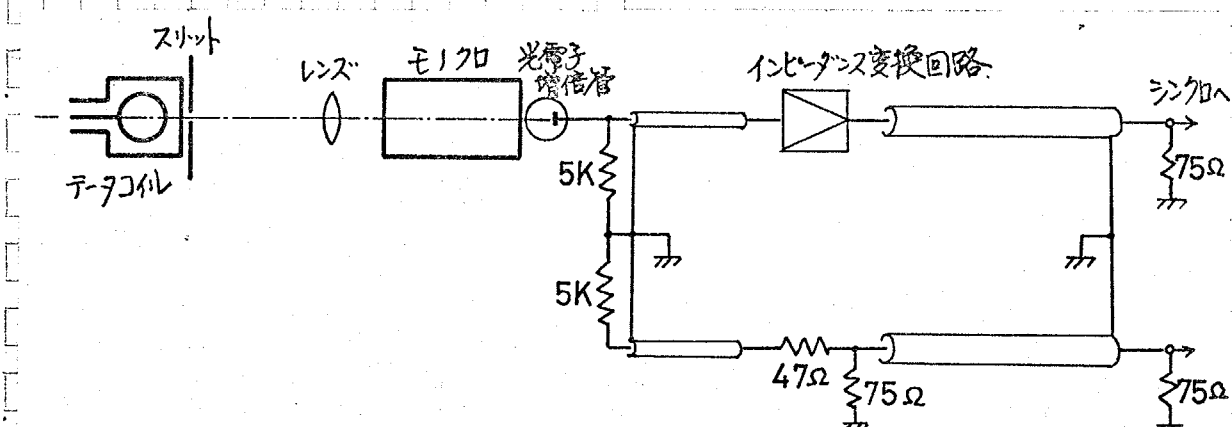
He-Neレーザを使って、このモックロの最上の条件での分解能を調べたところ、回折格子の角度調節用のバーニヤの目盛と、各スリットの限界から 3\AA であった。入射光が弱くなければさらに分解能は悪化し、数 10\AA 程度までであった。分光された光は、光電子増倍管 MS-9S によって検出される。この負荷抵抗は $5\text{k}\Omega$ とし、その出力信号を、特性インヒーダンス $2\text{k}\Omega$ のケーブルに接続してミラードルームで観測するため、インヒーダンス変換回路を使った。インヒーダンス変換回路は、FET (3SK-22) を使用したもので、入力側インヒーダンス $5\text{k}\Omega$ 、出力側 25Ω である。その回路を第4-11図に示す。

○ プラズマからの光の測定系は第4-12

図のようになつてゐる。プラズマ柱の局所的な光をとるために、テータコイルの前にスリットとおいて、レンズを介してモックロナータの入射口に入れた。ケーブルは対称接続としてある。



第4-11図 インヒーダンス変換回路



第4-12図 光学測定系

第五章 逆磁界のデータビンチプラズマにおける影響^(5.1)

本章では、第3章で述べた高温プラズマ発生装置を使って高速度データビンチプラズマをつくり、第4章で説明した高速度カメラ、磁気探針、光学的手段による測定方法で診断を行なって、逆磁界がデータビンチプラズマにおける影響を明らかにした実験結果を述べる。それらの結果をまとめるに先立ち、実験してきた筋道をあらかじめ説明しておくことにする。

- 放電管内に封入しておくヘリウムの初気圧によって、発生されるプラズマがどのように違うかを磁気探針、高速度カメラを使って調べた。(5.2)
- この結果、初気圧 300 mTorr のとき、第2半波においてプラズマ円周内に逆磁界があるとともに多くの開いた磁力線が認められた。そこでこの初気圧で実験したところ、ビニルしたプラズマ柱の単位長さあたりの粒子数が逆磁界のあるとき増大する傾向が認められた。これは開いた磁力線にちとづくプラズマ柱の軸指向現象によるものと考え、高速度カメラによってその様子を観測してみると、プラズマは確かに軸に向へ運動していく。さらにこの詳細な構造を求めてでき、伝搬速度は理論式と一致した。逆磁界は、この軸指向現象である圧縮波がコイル中央部で衝突しても消滅しない。磁界の分布を測定した結果、圧縮波はプラズマ全体をまき集めるのではなく、その一部を集めることすがね、これが初めて明らかにされた。(5.3)

- こゝでは初気圧 300 mTorr で、第2半波に開いた磁力線を考慮していくが、第1半波に及ぼすプラズマの影響、初期条件を制御できないなどの不都合があつた。これを改善するため、アリビータバンク、バイアスバンクと建設して、第1半波時に逆磁界のあるプラズマをつくることにした。高気圧領域で比較的安定なプラズマを得られる初気圧 100 mTorr を選んだ。予備観察して、プラズマの温度、密度を測定し初期条件を明確にした。(5.4)
- この予備観察プラズマにバイアス磁界をかけておき、逆磁界配位を実現でき

に。バイアス磁界の方向を変えて、プラズマ円筒内にある磁界の方向が本質的にどのよくな役割をはたすかを実験的に調べ、その結果の比較検討から逆磁界の役割を考えた。(5.5) バイアス磁界のないとき、順、逆バイアスをそれぞれかけたときの三条件で実験を行なったが、いかれの場合にも第2半波での逆磁界が閉じこめられる。この場合の逆磁界のあるプラズマについて磁気探針による磁界分布を求め、(5.3) の場合における逆磁界の働きを調べた。(5.6)

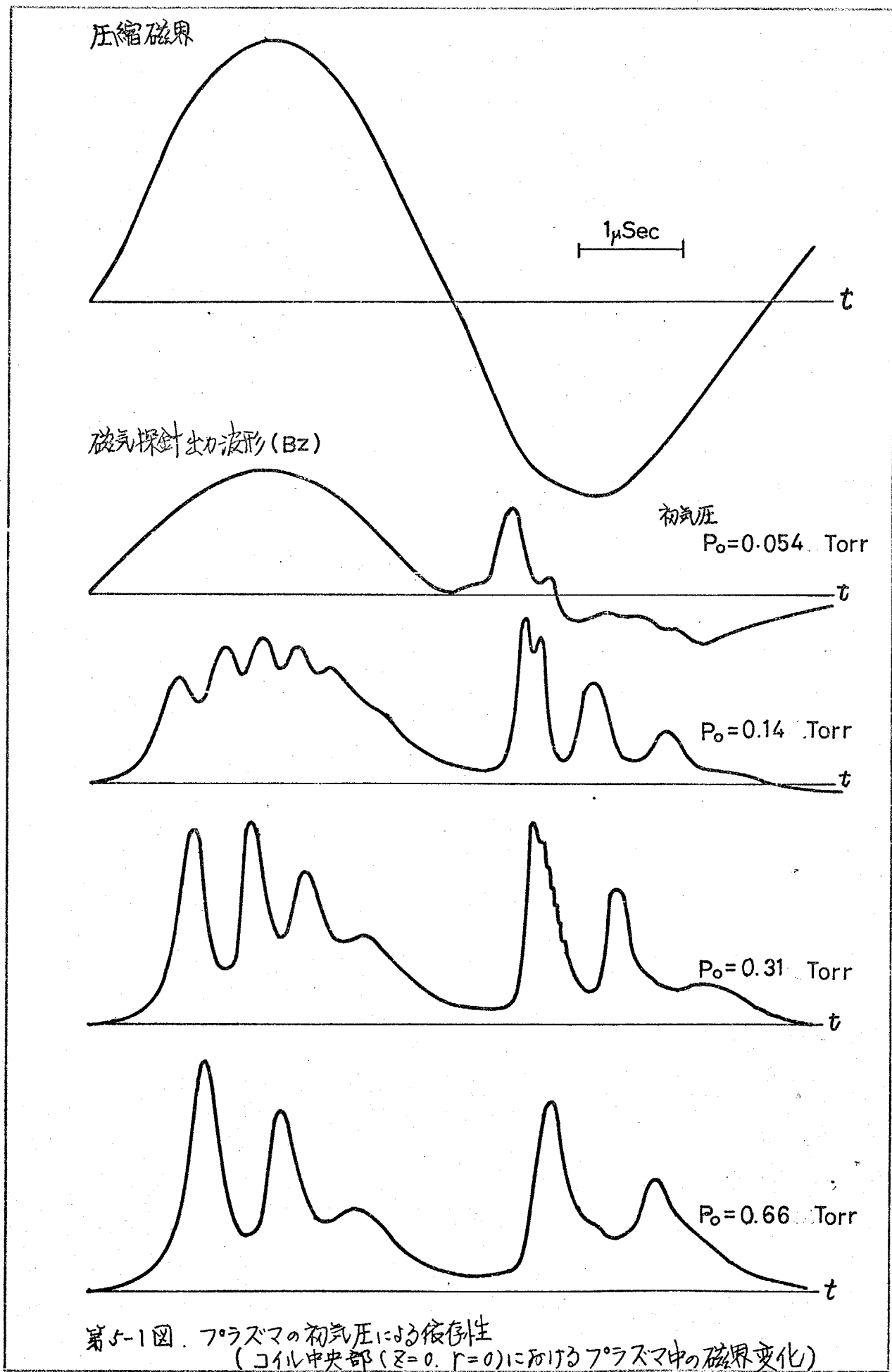
逆磁界の影響を調べるために、プラズマの軸方向形状を高速度カメラで観測するが非常に重要な意味をもつてゐる。今述べた三条件のもとでのプラズマを高速度カメラで観測を行なった。その結果、一つの結論として、前によべた軸方向に伝搬する圧縮波は、逆磁界があれば常に形成され、伝搬するのではなく、安定に伝搬するためには条件があることが判った。(5.7) 逆バイアス磁界の消滅過程を磁気探針によって、磁束密度の軸方向分布を求めて検討した。(5.8) これまでに得られた実験結果をもとに、プラズマ柱の軸方向現象を総合的に検討した。(5.9)

5.2 テータビニチプラズマの初気圧による依存性

5.2-1 磁気探針による測定

放電管内に封入しておくヘリウムの初気圧のちがいで、できるプラズマがどのように変化するかを、コイル中央部($z=0$, $r=0$)にかいた磁気探針によって調べた。その結果が第5-1図である。このとき、予備電離としては 28.8 MHz の高周波放電だけを行なった。そのため初気圧が低くないと第1半波ではプラズマができていなか。例えば初気圧 54 mTorr の場合、第2半波で逆磁界が閉じこめられるが、わずか $1\mu\text{sec}$ 以内に消滅してしまう。

初気圧の上昇とともにプラズマができる易くなる。波形が振動的のは、プラズマ内に閉じこめられた磁界と、圧縮磁界によるプラズマの半径方向振



動のためである。この振動の周期 T (sec) は Niblet らによって解析され⁽⁸⁾

$$T = 2\pi \sqrt{\frac{M}{B^2}} \quad (5-1)$$

M: プラズマの単位長さあたりの質量 (g/cm)

B: 外部磁界 (Gauss)

で表される。初期圧が高くない時は M も増大するので、結果的に周期 T も大きくなる。これは実験結果で、振動の周期が気圧の上昇とともに増大していくのを説明する。

第 2 半波で閉じこめられた逆磁界は、140 mTorr 以上であるとその半波の間保持されている。とくに 310 mTorr の場合、逆磁界がいちじるしく閉じこめられた。筆者は逆磁界のプラズマに及ぼす影響を調べたいので、初気圧を 300 mTorr で実験することにした。

5.2-2 高速度カメラによる観測

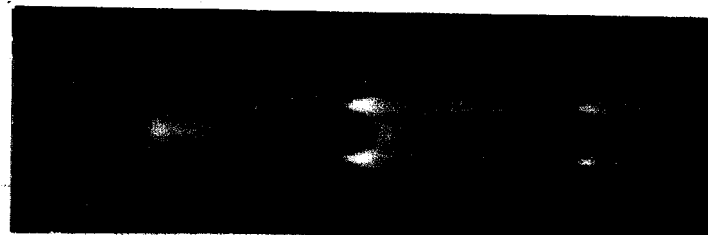
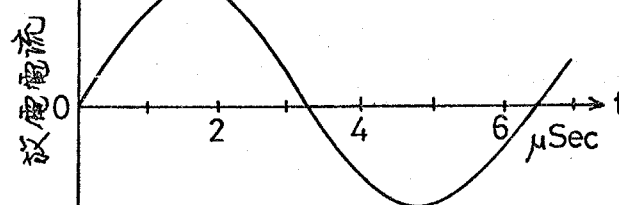
後日、フリヒータバニクが完成したとき、放電管による予備電離、加熱を行なった場合の初気圧依存性を高速度カメラで観測した。前後してしまつが、理解し易くするため、ここで記述する。

初気圧を、30, 50, 100, 300 mTorr の 4 種に選んだ。撮影方向は、カメラの光軸と放電管軸と一致させ、放電管終端よりプラズマの半径方向変化がとらえられるようにした。流し撮りと駆撮りを行なった。

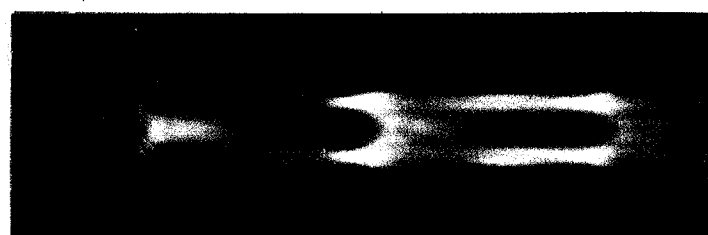
それぞれの様子を第 5-2 図にまとめてある。いずれの初気圧でもプラズマは第 1 半波からできていた。第 1 半波でのプラズマの半径方向への圧縮速度は、初気圧の減少とともに速くなる。30, 50 mTorr の低気圧では第 1 半波のプラズマは、外部磁界が最大となる時刻以後すぐに消滅して壁面へ接触壁面付近だけに存在するようになっている。管壁に電流が集中していると予想される。逆磁界のある第 2 半波では顕著なプラズマ層の移動がみられないに、

管内全体が発光している。50mTorrの場合、管壁で磁界が反転する時刻に強く発光が、この場所で観測される。100, 300mTorrでは、いかにも半波にがんでも、プラズマ層の移動とプラズマ柱の形成の様子がよく判る。100mTorrでは、第2半波時、半径方向振動で2回目の圧縮がおこる時刻にプラズマ柱の崩壊がおこっている。その後は管壁部分だけが光っており、そこへの電流集中が生じる。300mTorrの場合、これに反し、第1回目の膨張時から管壁で強く発光があるが、プラズマ柱は存在していない。

- 駆揚りによって逆磁界のある第2半波時の、半径方向形状をみると、初気圧のもとより高い300mTorrでは、圧縮過程において才プラズマ円柱が変形している。これは流し揚りから判るように、第1半波で既にプラズマが圧縮過程で管軸付近に成っていて、その影響によるものと考えられる。プラズマ柱が形成された後、人手状の変形がみられた。100mTorrでは、きつい円環状となるて圧縮されていく。



$P_0 = 30 \text{ mTorr}$



$P_0 = 50 \text{ mTorr}$

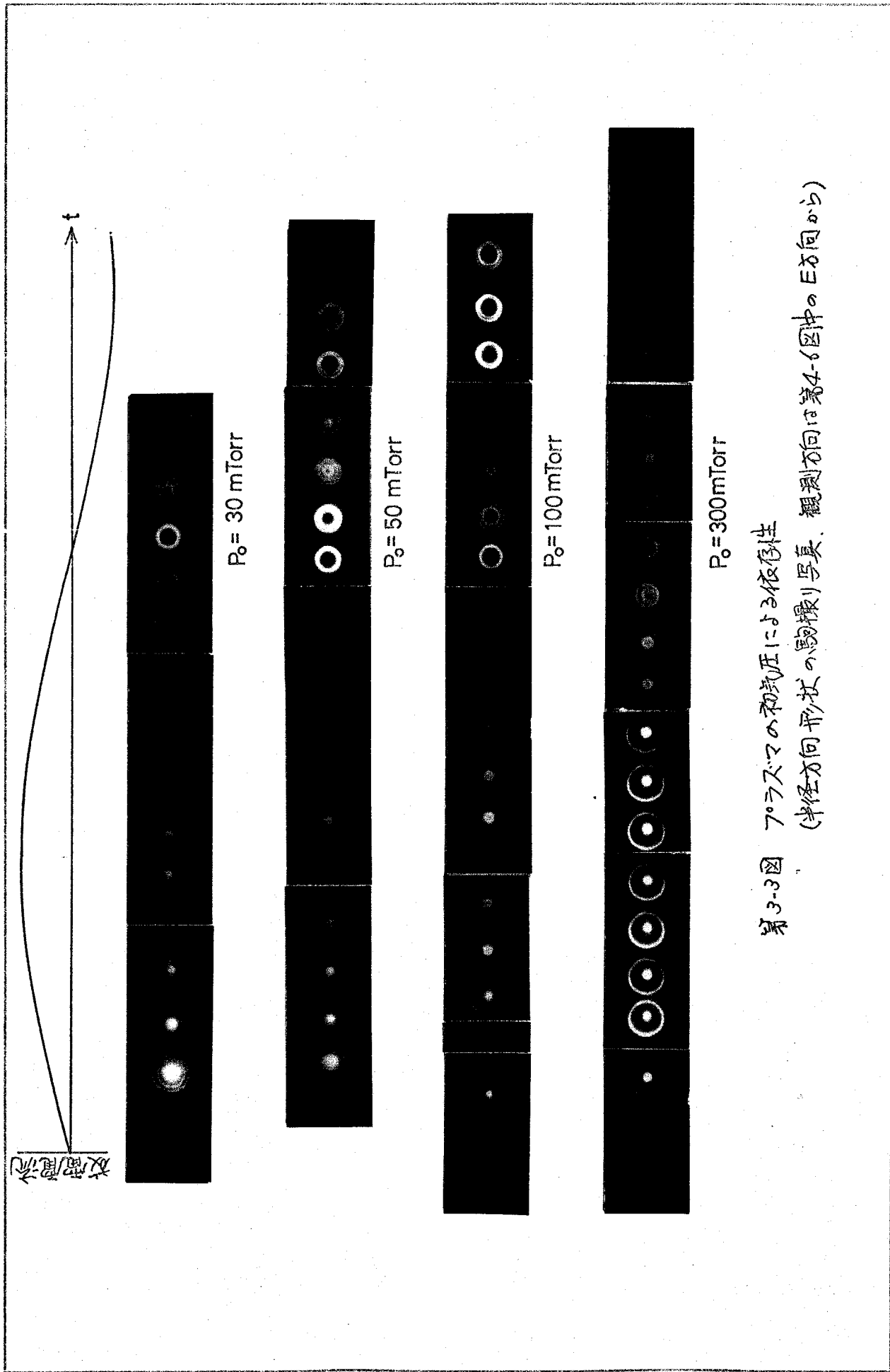


$P_0 = 100 \text{ mTorr}$



$P_0 = 300 \text{ mTorr}$

第5-2図 フラズマの初気圧による依存性
(半径方向運動の流し撮り)



第3-3図 フラスマの初気圧による依存性
(半径方向形状の影響)写真、観測方向は第4-6回中のE方向

□ 5.3 第二半波時にかけた逆磁界とデータビニチプラズマ

第二半波時にかけた逆磁界が閉じこめられた初気圧 300 mTorr で、高周波予備放電を行なってデータビニチプラズマをつくった。コイル中央部での磁気探針による軸方向磁界 B_z の出力を第5-4図に示す。これから、前述した(5-1)式を使って、プラズマの単位長さあたりの粒子数を求めてみると、第5-5図になる。第一半波時と第二半波時では、後者の方の値が2倍ほど大きい。これは第一半波が有効な予備加熱となって、温度の高いプラズマに圧縮磁界が加わることになる。そのためプラズマと磁界の結合が強く、磁界によってプラズマが効率的に引き集められたのである。

さらに大きな特長は前者の場合、時間の経過とともに減少の傾向を示し、逆磁界のある後者では増加していることである。直線状のデータビニチではコイル終端からの粒子損失があるので、粒子数は通常減少するはずである。しかし、第二半波では増加していた。この原因は、逆磁界の存在によってできた閉じた磁力線が、プラズマを集めながら管軸方向へ収縮していくためと予想される。

そこでコイルの前に管軸と平行な方向へスリットをかけて、プラズマが軸方向へ変化する様子を高速度カメラで流し撮りした。第一半波、第二半波のものの写真が第5-6図である。写真中、縦方向にある黒い縞はコイルの2mm厚の導体の影である。この写真から第二半波時には、軸方向へ伝搬する現象のあることが判る。それはコイル中央部で衝突し、その後反射する。

コイル終端より 40 mm 中央部へ寄った位置より出発していて、その伝搬速度は、およそ $5 \text{ cm}/\mu\text{sec}$ である。明るく光って進んでいくのは、粒子密度の増加があるためと考えられる。この現象は、閉じた磁力線がプラズマを集め、それがプラズマ柱の断面積の増加によって伝搬する面積波であろう。とくに今のような場合圧縮波といっている。なお、この詳細な議論は、5.9の検討において行なう。

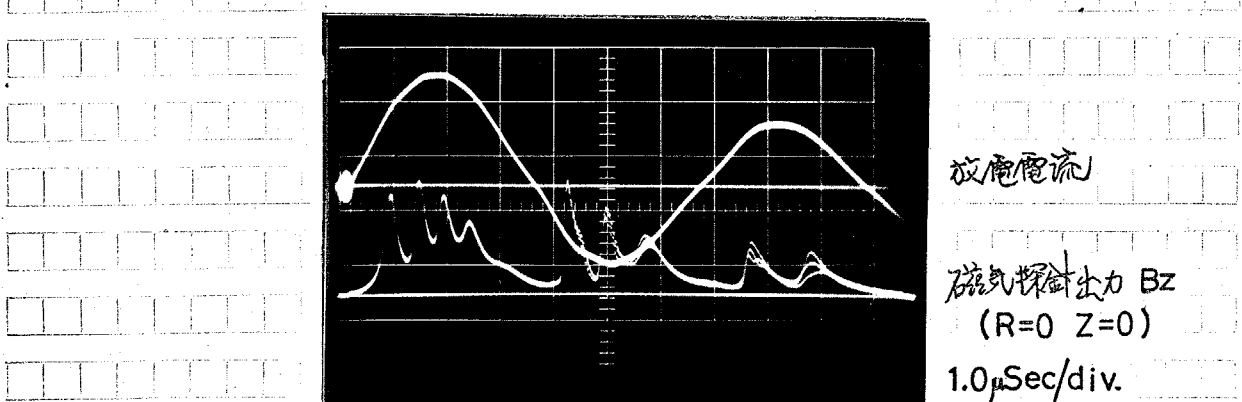
また、スリットの置く場所を変えて、中心軸 $r=0$ からコイル上方へ上げ



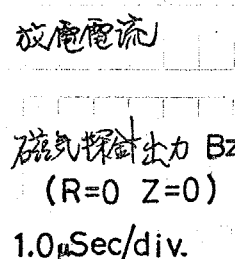
$|r|=1.4\text{ mm}$ と 1.5 mm に置いて撮ったものを第5-7図に示した。このとき、コイル終端の位置での様子も判るように視野を選んだ。いわゆる場合も流し時間は $3\mu\text{Sec}$ である。どの位置にスリットを置いても軸方向現象は観測された。 $|r|=1.5\text{ mm}$ はプラズマ半径よりやや大きめなので、写っているのは断面積が増加していき波面近くの部分だけである。

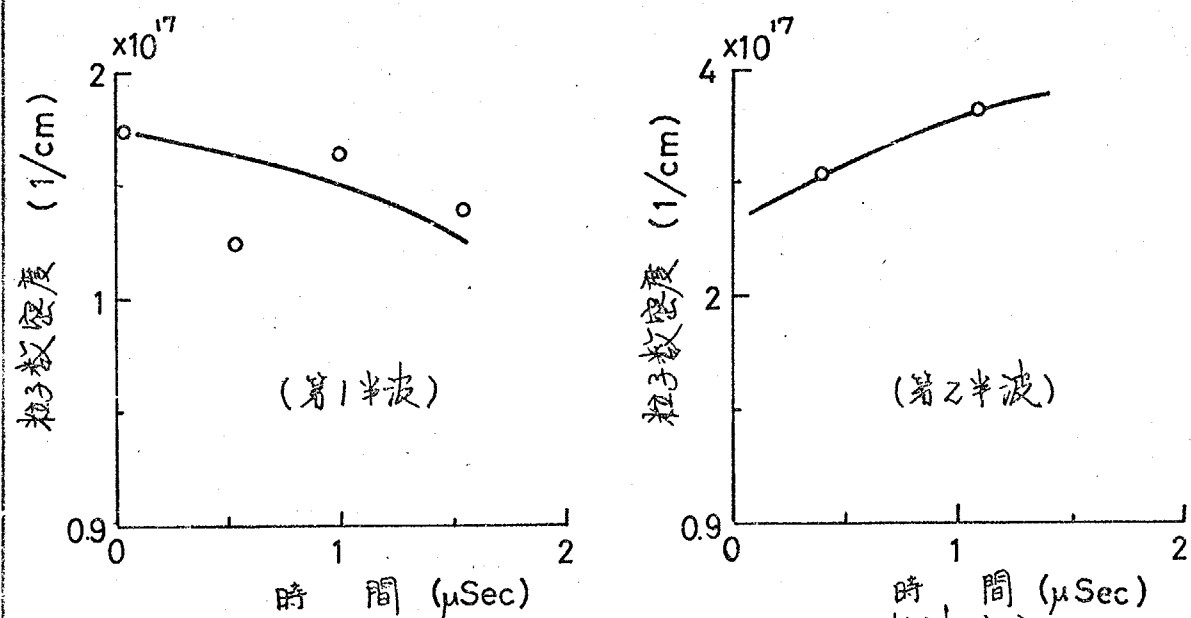
この実験によって、逆磁界が閉じこめられた第2半波で、圧縮波モードの面積波が観測でき、その伝搬速度が求められた。さらに詳細な構造と調べるために駆撮りを行なう。プラズマ全体の形状と観測することになった。理論によれば、⁽⁴⁾ 断面積変化の状態が判れば伝搬速度を求められるので、各部分の面積を知ることは重要である。

第5-8図は、コイル正面および上部からの二方向を反射鏡を使って立体的に撮ったものである。閉じて磁力線によってめぐらされた断面積変化が、詳細にとらえられているのが判る。とくに時刻 $1.8/\mu\text{Sec}$ では、放電管の両端から進んできたものが、コイル中央部で衝突し腕状の変形がひきおこされている。この変形は放電管壁にまで達していた。下にある第5-9図の磁気探針の出力波形みると、この時刻以後現象の再現性が悪くなっている。しかし閉じこめられた逆磁界は消滅することはなかった。これらの写真からではまだ精度よく断面積を求められないのに、プラズマ像と大きくするように

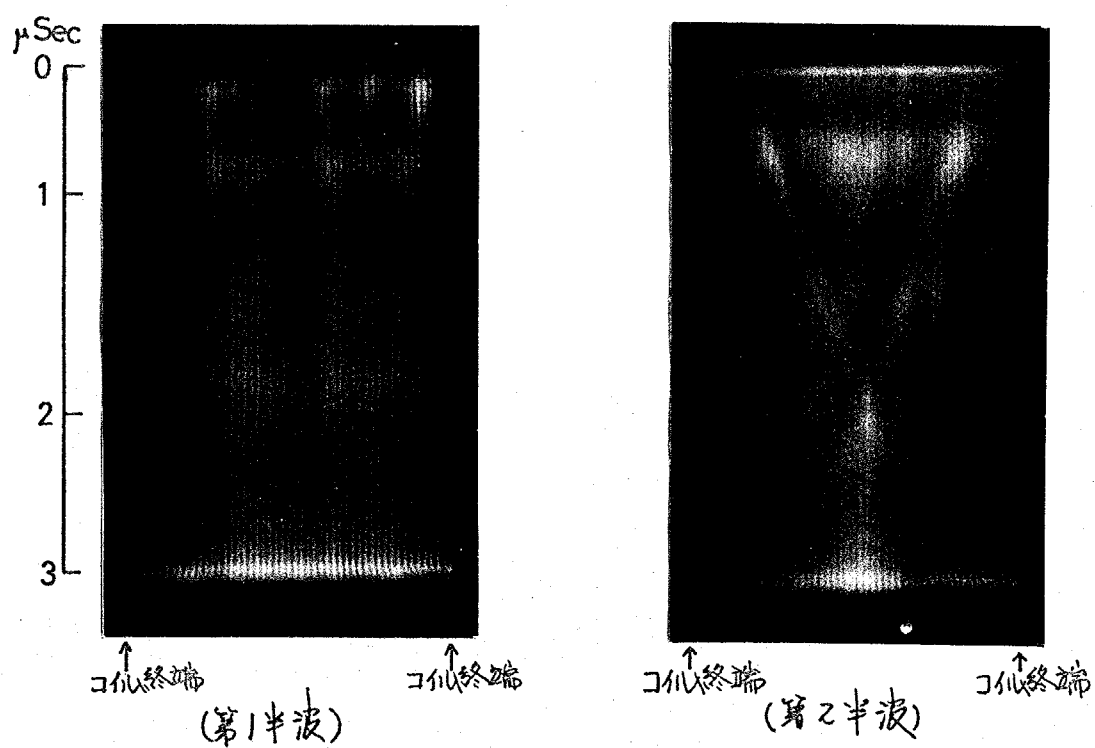


第5-4図 放電電流波形および磁気探針
出力波形(下) (3回重ね撮り)
($P_0 = 300 \text{ mTorr}$)





第5-5図 プラズマの単位長さあたりの粒子数密度

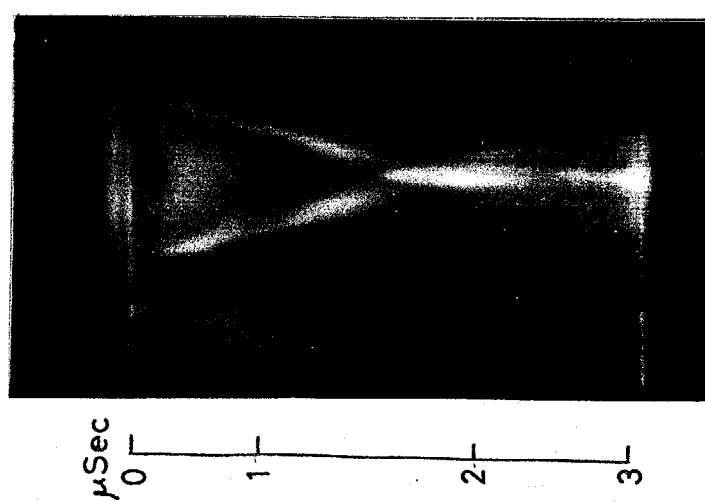


第5-6図 プラズマの軸方向運動の流れ撮り写真

 $(P_0 = 300 \text{ mTorr})$

($P_0 = 300 \text{ mTorr}$)

第5-7図 フラスマの軸方向運動の流し撮り写真(スリ...|)の位置を変化させた

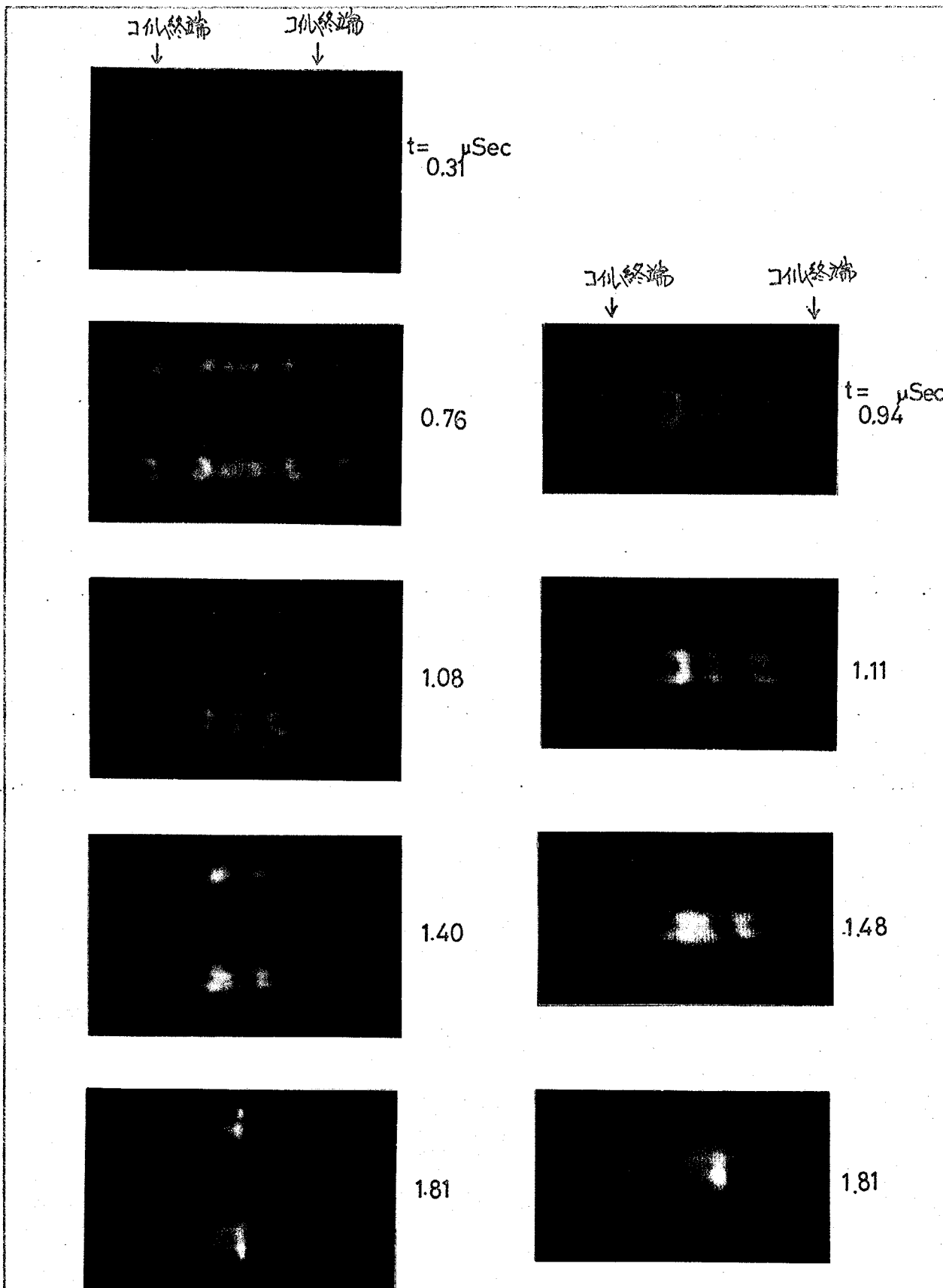


カメラを接近させて撮影したもののが第5-9図である。これから断面積を求めることができ、その結果と理論との比較は5-9で行なう。

このときの放電管内における磁界分布を測定して、プラズマと磁界の関係を明らかにしてみる。半径方向分布することから、軸方向への分布が熊めて求められ、面積波が磁界にどのような効果を与えていくか調べた。測定は磁気探針を使って、半径方向には、 $r = 0, 9, 12, 15, 24, 33$ (mm) の6点で測る。軸方向には、 $z = 0, 25, 40, 50, 60, 70, 90, 110, 130$ (mm) の9個所で、これより測り、合計54点を放電管内にとった。その結果を第5-10図に示し、磁束密度を結んで分布図として示した。等磁束密度線は測定点での値から補間法によって求めた。時刻は面積波が形成されてより12、0.45 μsec と、コイル中央部で衝撃し腕状の変形をおこした1.81 μsec の二つの場合を選んだ。同時に高速度カメラから求めたプラズマの発光形状を記してある。

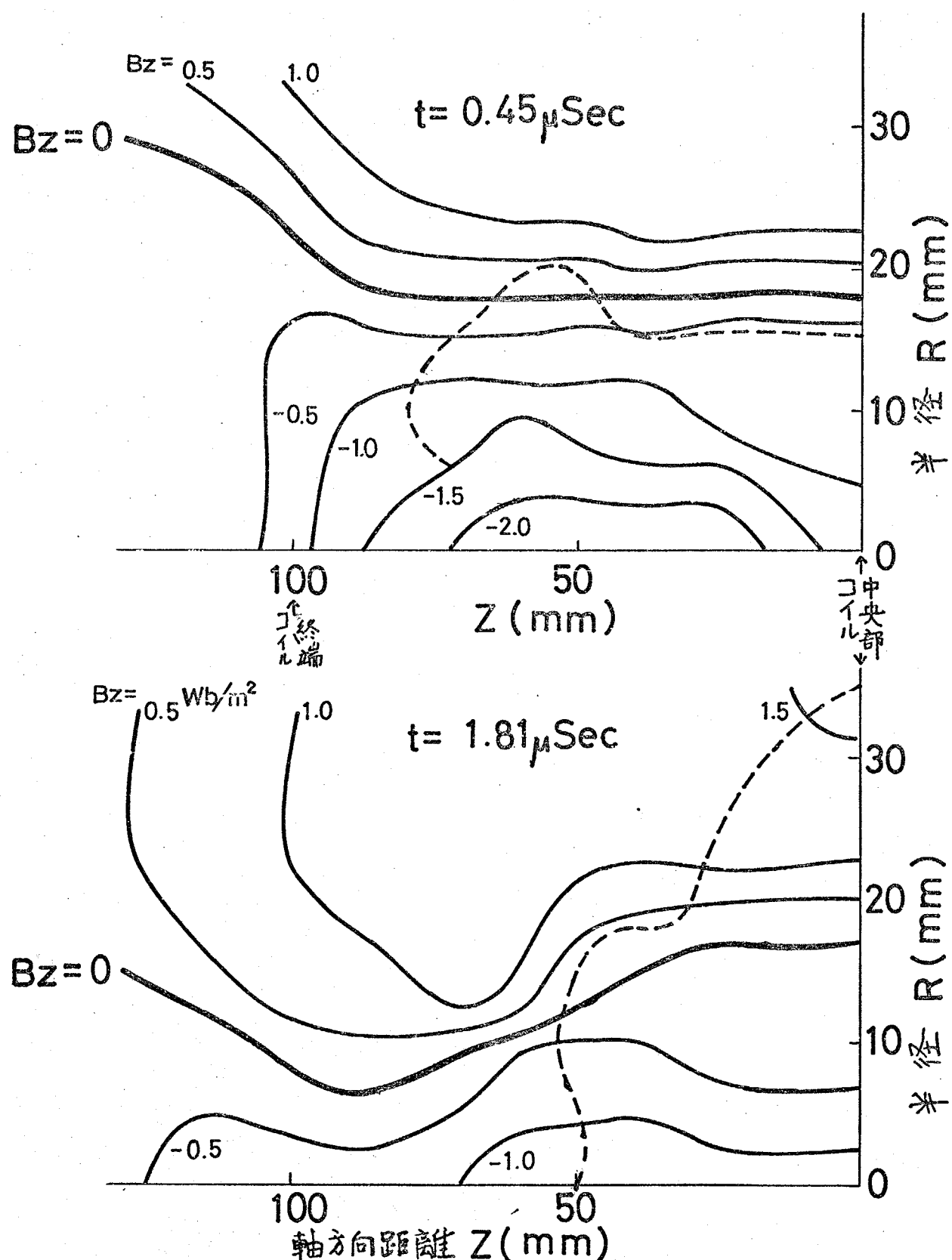
0.45 μsec での分布をみると、磁界零の位置より管壁側の外部磁界はほぼ軸方向一様に分布している。一方プラズマ同窓内では、コイル中央部より $z = 20$ (mm) から 60 (mm) の位置での磁界が強くなっていた。これは面積波の影響と考えられる。1.81 μsec ではコイル中央部で今ほど大きな不均一は起つてない。むしろ、面積波が通過した後、外部磁界が管軸付近にまで近づいており、 $z > 50$ ではプラズマ柱がいちじるしく圧縮され、コイル中央部ではプラズマ密度が高いために大きな圧縮変化をうけている。これは確かに面積波の伝搬によりプラズマが、軸方向に圧縮されていることを意味している。しかし、この時刻以後より磁界零を示す線はなくならず、閉じこめられた逆磁界は消滅しない。これは非常に興味深い結果である。従来、このような閉じた磁力線はプラズマ全体をまとめていくと考えられていてが、今回の磁気探針と高速カメラを使った実験によって、その考え方は誤って、いたことが判った。面積波通過後でもまだプラズマは残っており、面積波は閉じた磁力線によってプラズマの一部が集められていくにすぎない。





第5-8図 逆磁界を開じこめたテータピニチプラスマの軸方向形状の立体的観察写真
(上)コイル上部から(下)コイル正面から

第5-9図 逆磁界を開じこめたテータピニチプラスマの軸方向形状の観察写真
($P_0 = 300 \text{ mTorr}$)

第5-10図 磁束密度(B_z)の軸方向分布

--- は高速度カメラから
求めたプラズマの位置 300 mTorr
 He

5.4 バイアス磁界のある高速度レータヒニチプラズマ

5.4-1 初期条件における予備電離プラズマによる実験

前節までは、第2半波を使ってプラズマが逆磁界からうける影響を調べた結果を述べた。しかし第2半波時では、閉じこめられる逆磁界の大きさを人為的に変えられない。また外部磁界と第1半波に較べて小さくなっているので効率も悪い。さらにプラズマが半径方向に変化する様を流し撮りした結果によれば、第1半波にできたプラズマが次の半波に大きな影響を与えているのが判っている。このような事情から、逆磁界がプラズマに与える影響をいざいざ側面から追求できるようにするために、バイアス磁界をかけて第1半波で実験することにした。これを実現するには、充分に予備電離したプラズマを、あらかじめ生成しなければならぬ。このため、第3章の3-3, 3-4で述べたフリヒータ、バイアスの各バニクを建設した。

封入しておくHeの初気圧は前節まで300 mTorrとしていたが、これより後は次に述べる理由で変更した。初気圧は100 mTorrに選んだ。本研究は高気圧領域のもとで、逆磁界の働きを明らかにすることである。だから数10 mTorrの低い気圧には注目しない。初気圧を低くした方がプラズマは高温になるので、高気圧領域内のもっとも低い気圧である50 mTorrに選べば良いと思われる。しかし、初気圧100 mTorrのとき、次のような都合のよき条件であることが判った。すなはちカメラによる観測が比較的安定であったこと。放電ごとの再現性が良かったこと。もっと低気圧にするとフリヒータである区放電の始動時間がはらつきたしたことなどである。また100 mTorrとしておもに本質的に變わった差はないと言えらる。

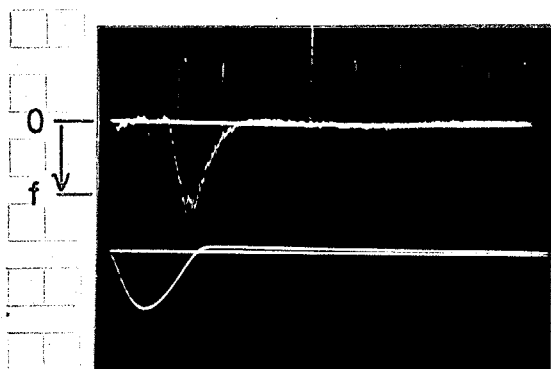
予備電離プラズマは、まずバイアス磁界をレータコイル内に加えておき、バイアスバニク点火から、 $16.7 \mu\text{sec}$ 後にフリヒータバニクを使つて区放電によってつくられる。区放電は充電電圧28 kVであり、最大電流14 kAとした。区放電の始動特性のばらつきを抑制するため、区電極の陰極側附近で

小さな火花放電をさせて電子源とした。区放電を点火してから $11\mu\text{Sec}$ 後に、メインバンクから圧縮磁界が予備電離したプラズマに加えられる。このときのバイアス磁界の大きさは、 $\pm 0.053 \text{ Wb/m}^2$ である。バイアス磁界の方向はバニクのコニデンサと充電する極性を変えて行った。このとき同時に、キヤップスイッチのトリガ電極の極性も、トリガ発生器と連絡している絶縁ペルストラニスの極性をえることにより交換した。これは、あらかじめトリガ電極の極性を、もっとも始動特性が良いようにしておいたため、コニデンサの充電極性を変えた場合必ず行なわなければならない。

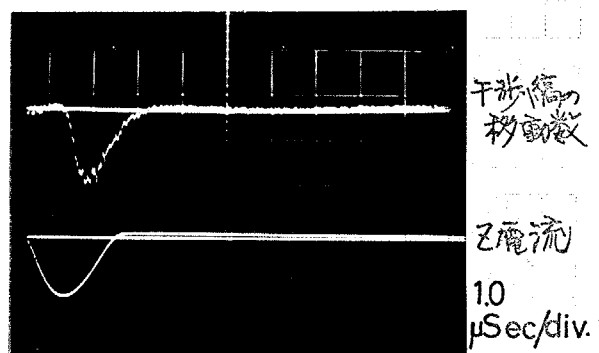
- テータビニチプラズマの診断には磁気探針と高速度カメラを使用した。
実験に先立ち、予備電離プラズマの粒子密度と電子温度を測定する。

5.4-2 予備電離プラズマの密度測定

第4章の4.4で述べたレーザによるマッハエンター干渉計を使って、区放電時の電子密度を測定した。管軸上 ($r=0$) での密度だけを求めた。第5-11図に放電電流と干渉縞の移動する様子を示す波形を示した。干渉縞の移動数は波形上で、0 から f まで振れたときが $1/2$ で、それから f より 0 へもどると移動数 1 である。(a) はバイアス磁界をかけないときで、電流が流出から $1\mu\text{Sec}$ 後に移動数が 1 となって密度が増加し最大値となる。その後は干渉縞がもともと反転している。前述した(2-5)式を使って密度を求



(a) バイアス磁界なし

(b) 逆バイアス磁界 $B_0 = -0.053 \text{ Wb/m}^2$

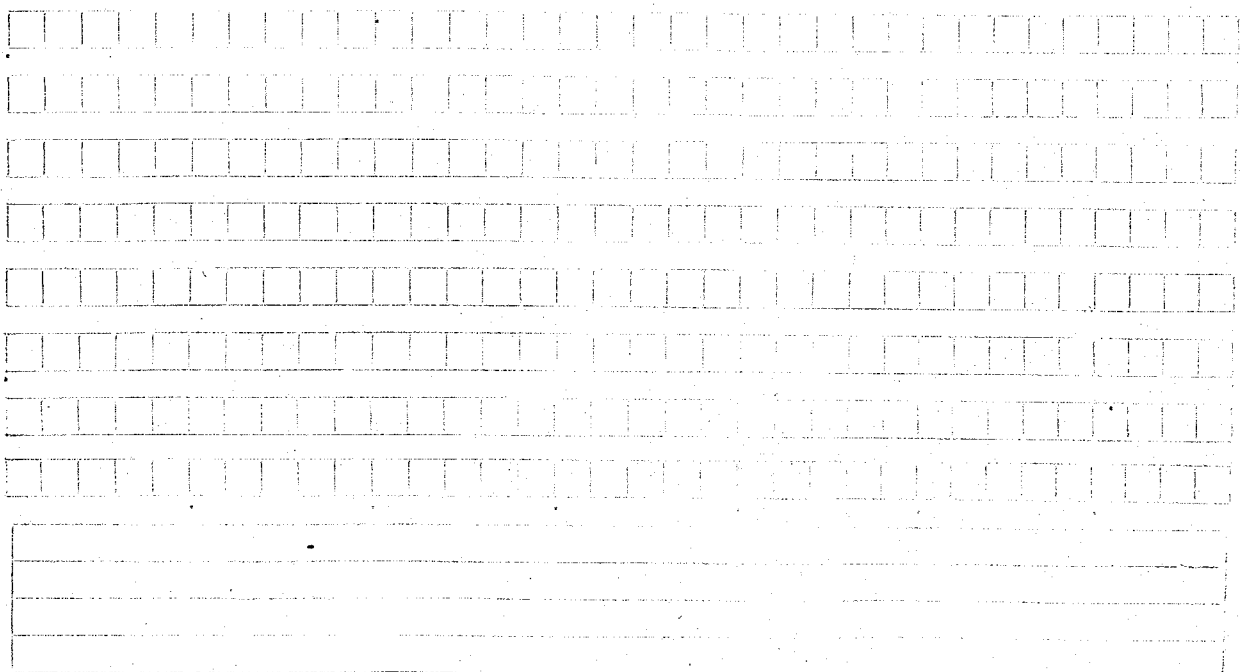
第5-11図 レーザによる予備電離プラズマの密度測定

めり。プラズマの長さは、2電極間の距離には等しいと考えられるので、その長さ 91.5 cm をとる。そのとき最大電子密度 $n_e = 3.9 \times 10^{15} (\text{cm}^{-3})$ であった。

(b) は逆バイアス磁界 -0.053 Wb/m^2 で実験するときと同じ充電電圧にバイアスバニクを充電した場合で、2電流が流れから $1.25 \mu\text{sec}$ 後に移動数 1/2 で最大となつた。これは最大電子密度 $n_e = 1.9 \times 10^{15} (\text{cm}^{-3})$ を示す。同じ磁界値で、方向だけを変えた順バイアスのときも結果に差がないかった。

- バイアス磁界をかけたとき、管軸上の最大電子密度が、バイアス磁界のない場合に較べて半分になつている。これはあらかじめ磁界があるので、2放電管にとりつこうプラズマの半径を向への圧縮が管軸まで行なわれないためである。これの場合で2放電管電流値から推定して、密度はそれほど大差がないと考えられる。原子価 2 価である单原子气体の He は、初気圧 100 mTorr のとき完全電離すると、電子密度は $6.9 \times 10^{15} (\text{cm}^{-3})$ になるはずである。今の場合、バイアス磁界のないとき管軸上で実現できた密度は、57% であった。

この準備電離プラズマに圧縮磁界が印加されるのは、2放電点火後 $11 \mu\text{sec}$ 経つてからであるが、そのときの電子密度を求めるには移動数を示す波形の振幅が小さかつたためにできなかつた。



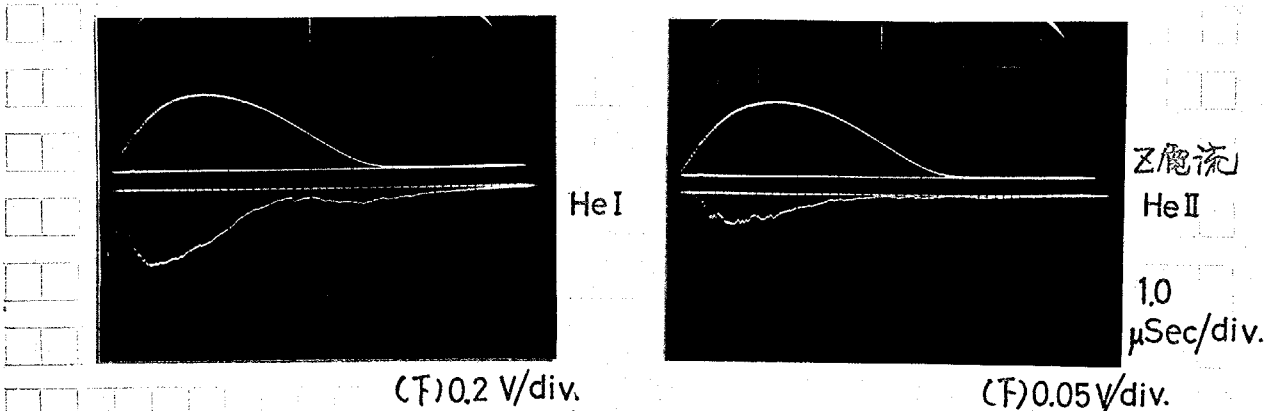
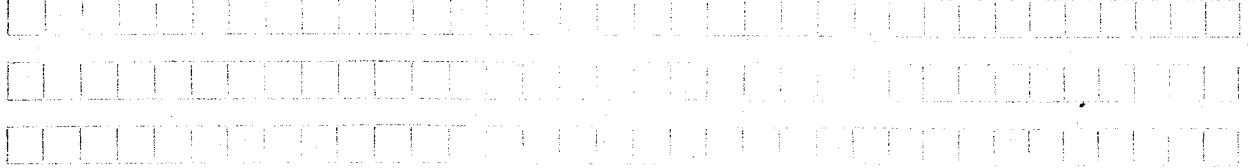
5.4-3 予備電離プラズマの電子温度測定

電子温度の測定はアリビータバンクが建設され、運転を始めてからすぐに行なわれた。当初、コンデンサ容量 $0.8 \mu\text{F}$ 、充電電圧 20 kV で運転していた。本論文での実験では全エネルギーは等しいが、コンデンサ容量 $0.4 \mu\text{F}$ 、充電電圧 28 kV でZ放電による予備電離としている。

スペクトル線の強度比から過渡プラズマの電子温度を求めるのは、第4章4.5で述べたように問題があり、ここではバンク建設後に測定された分光による方法の結果を簡単に述べ、参考までにとめる。なお実際に使った $0.4 \mu\text{F}$ 、 28 kV の条件での測定はされていない。

測定方法は4.5で述べたとおりである。 $\text{He I}(\lambda 171\text{\AA})$ と $\text{He II}(\lambda 686\text{\AA})$ の強度比をとることにより電子温度を求めてみた。強度比から電子温度を求めるのに、J.C. Howardによる計算値を使用して*。スペクトルの強度を示す波形と第5-12図に示した。Z放電電流最大値付近で、 He I の強度は He II のもと較べおよそ9倍となる。これからHowardの計算値を使って電子温度を求めると、 3.8 eV になった。

この方法も、圧縮磁界をかけたときの予備電離プラズマの温度を読みとれるまでにはいたなかった。



第5-12図 分光法による電子温度の測定

* J.C. Howard, UCRL-5265 (1958) 2

5.5 逆バイアス磁界を加えたデータビニチプラズマ

5.5-1 半径方向運動の流し撮り

初気圧 100 mTorr で、バイアス磁界のかけ方によってプラズマの半径方向への巨視的な運動が、どのような変化をうけるかを、まず高速度カメラで観測した。コイル前面に管軸と直角な方向へスリットをおいて流し撮りを行なう。第5-13図は、逆バイアス磁界をかけたとき、バイアス磁界のないとき、順バイアス磁界のときのそれについて観測した写真である。圧縮過程でプラズマ円筒内にある磁界の方向に差があるのは第1半波時で、第2半波ではいずれの場合も逆磁界が閉じこめられていている。

この結果から、逆磁界のあるプラズマと他の場合とのちがいをまとると、第1半波では

- (1) 圧縮過程でのプラズマ層がはっきり形成されてるのは逆バイアスのときで、圧縮磁界と同方向の磁界があると、 plasma 層が明確にみられない。

(2) 圧縮速度はほとんど同じで、およそ $6.5 \text{ cm}/\mu\text{sec}$ である。ただし、バイアス磁界の大きさは $B_0 = \pm 0.053 \text{ WB/m}^2$ としている。

(3) 頗著な磁気流体的不安定は発生していない。

(4) 順バイアスの場合、plasma 柱の境界が明確でない。それ以外の条件のもとでは plasma 柱の半径方向の振動による密度変化までよく観察できる。

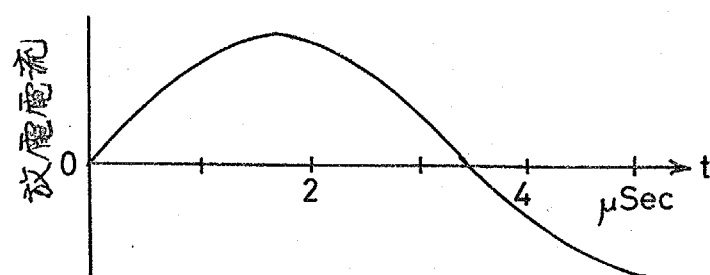
とくに注意してよいのは、圧縮速度にされほど差がないことで、順バイアスの場合、境界が明らかでないが、plasma の動きの概略は他と同じである。

逆磁界のある第2半波では、

(1) どの場合も plasma 層の境界が明らかである。圧縮速度には差がみられない。

(2) メインバニク点火後より $3.1 \mu\text{sec}$ 経ったとき層壁で沿面放電



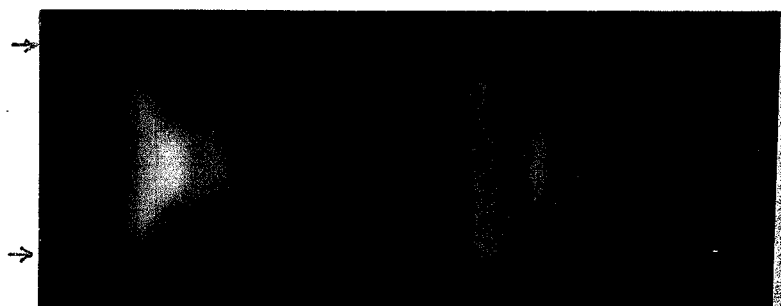


放電管壁 →

放電管壁 →

第1半波で逆バイアス磁界をかけた場合

$$B_0 = -0.053 \text{ Wb/m}^2$$



バイアス磁界をかけない場合

$$B_0 = 0$$



第1半波で順バイアス磁界をかけた場合

$$B_0 = +0.053 \text{ Wb/m}^2$$

第5-13図 プラスマの半径方向運動の流れ撮り写真

($P_0 = 100 \text{ mTorr}$)

が起り、それから約 $0.33\mu\text{sec}$ 後にプラズマ層は半径方向へ圧縮されていった。

(3) 圧縮されたプラズマ柱はその後半径方向振動をするが、条件によって柱の様子が変わった。

逆バイアス磁界……比較的安定に存在している。

バイアス磁界なし……半径方向振動を一度して後消滅

順バイアス磁界……半径方向振動で二回目の膨張時にプラズマ柱の崩壊

以上の事実が明らかになった。次に逆磁界の分布状態などの詳細な様子を調べるために、磁気探針を使って測定を行なうことにする。

5.5-2 磁気探針による測定

4.3 で説明した磁気探針を使って、磁束密度 B_Z を測定し、逆磁界の分布を調べた結果を述べる。

磁界分布を精度良く求めるには、生成されるプラズマにおける現象の再現性が良くなければならぬ。筆者もこの再現性の向上には充分留意した。バイアス磁界をかけないときと、順バイアス磁界のときの再現性を第 5 図に、磁気探針の出力の重ね振りとして示した。いずれも $4.4\mu\text{sec}$ 程度の時刻までの再現性はさわめて良い。しかし逆バイアス磁界をかけたとき、第 1 半波において逆磁界の消滅する時刻がややはらつき、再現性は若干悪かった。

バイアス磁界のかけ方を変えたときの、コイル中央部における磁束密度 B_Z の時間変化が第 5-1 図である。 B_Z がおよそ $0.3\mu\text{sec}$ の周期で振動しているのは、プラズマ内柱が半径方向振動しているためである。この振動の第 1 回目の周期から、前述した理論式(5-1)を使って、プラズマの単位長さあたりの粒子数を求めてみた。これは、圧縮によってひき集められたプラズマの粒子数の目安となる。



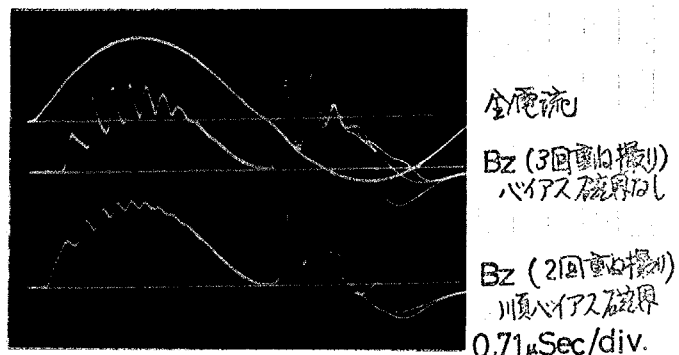
バイアス磁界 $-B_0 = -0.053 \text{ Wb/m}^2$	0	$+B_0 = +0.053 \text{ Wb/m}^2$
単位長さあたりの 粒子数	$6.3 \times 10^{16} \text{ (cm}^{-1})$	$5.3 \times 10^{16} \text{ (cm}^{-1})$

第5-1表 フラズマの単位長さあたりの粒子数

逆バイアス磁界をかけておくと、そつと粒子数が多い。磁界の方向だけを変えた順バイアスの場合は、その半分の粒子数しか集められているにすぎなかつた。これは高速度カメラで流し撮りした第5-13図の結果と矛盾していない。逆磁界のあるときが、フラズマと圧縮磁界の結合は悪くなっていることを示すのである。

第5-14図にコイル中央部において磁気探針からの出力波形を示した。逆バイアス磁界のとき (a) では $0.583 \mu\text{sec}$ にフラズマが最大圧縮されており、それから膨張過程で逆磁界が消滅する。この消滅の時刻はばらついた。この逆磁界が消滅する過程については、後で5-8において述べる。

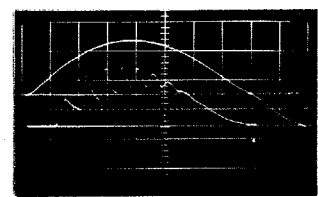
(b)(c)はそれぞれバイアス磁界のないとき、順バイアス磁界のときである。圧縮磁界と同方向の磁界がフラズマ円筒内にあらかじめあれば、半径方向振動によってひきあこざれる閉じこめられた磁界 B_θ の時間変化は大きい、と予想され



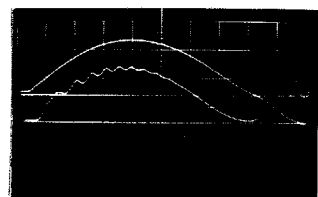
第5-14図 現象の再現性(磁気探針出力波形)



(a)



(b)

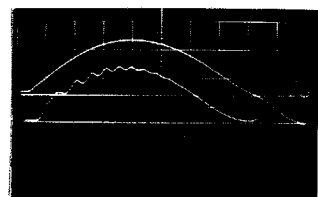


(c)

逆バイアス磁界

バイアス磁界なし

順バイアス磁界

第5-15図 各バイアス条件のもとでの磁気探針出力
Bz 波形(下) ($r=0, z=0$)
0.5 μsec/div.

るが、実験によれば (C) のように他の場合と較べて大きくなかった。

(b) の第2半波時、(C) の第2半波時および第1半波の圧縮過程に高周波成分がみられた。この周波数はどの場合よりも一定で、約 26 MHz であった。また、高圧による依存性もない。B_z信号は時定数 50 μsec の積分回路を使っており、ので、磁界の高周波成分 26 MHz 程度は検出されないはずである。おそらく静電的な雜音と考えられる。

こうして核気探針を使って、軸方向磁界 B_z の分布を求めることができた。これからこの結果をいろいろな角度からながめてみる。

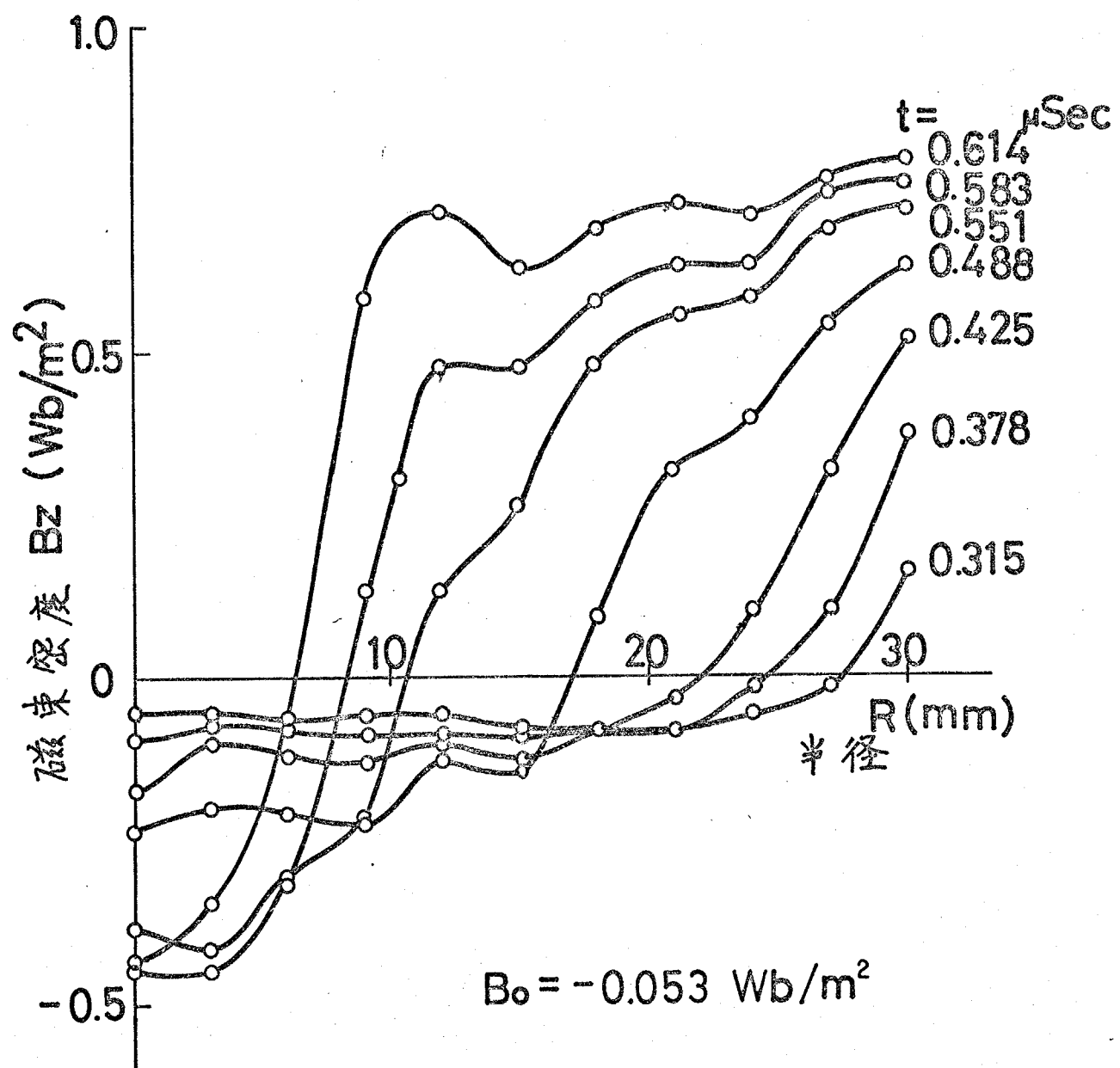
(1) 磁束密度の半径方向分布

圧縮過程と最大圧縮直後まで、磁束密度 B_z の半径方向分布とバイアス磁界のかけ方を変えて求めた結果を、第5-12図から第5-19図までに示した。

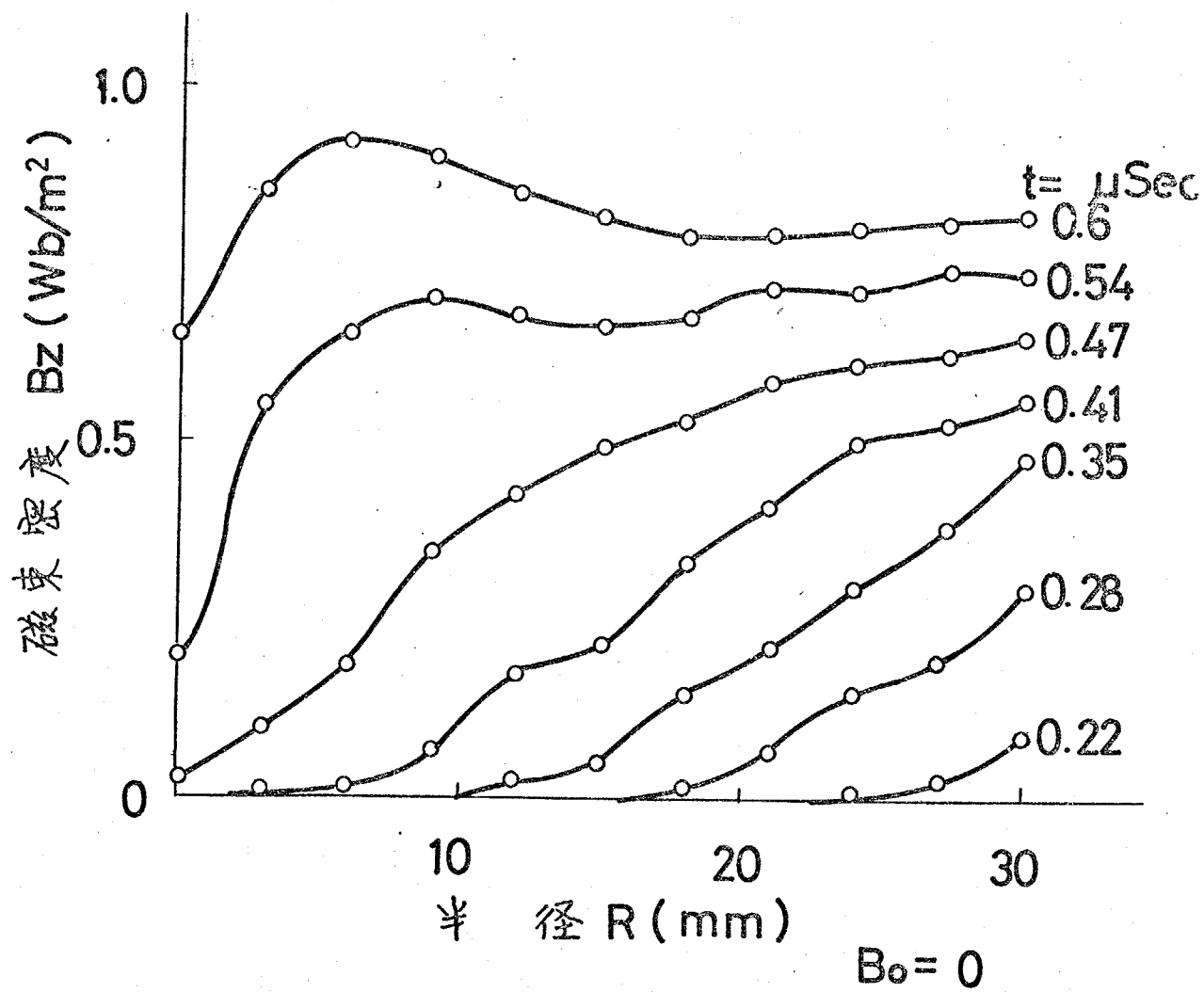
逆バイアス磁界を加えた場合が第5-12図である。磁界の半径方向への勾配は、他の条件と較べて大きいのが特徴である。順バイアス磁界の第5-19図と比較すると、後者では磁界の拡散がさわめて速く、圧縮磁界はすみやかに管軸付近まで到達している。高速度のナラウ流し撮りの第5-13図を参照してみると、プラズマ層と磁界の半径方向へ運動に大きな速度差のあることが判る。

圧縮過程で、あらかじめ加えてあるバイアス磁界の大きさは同じでも、方向が異なってだけで、プラズマと磁界の関係には違いがある。

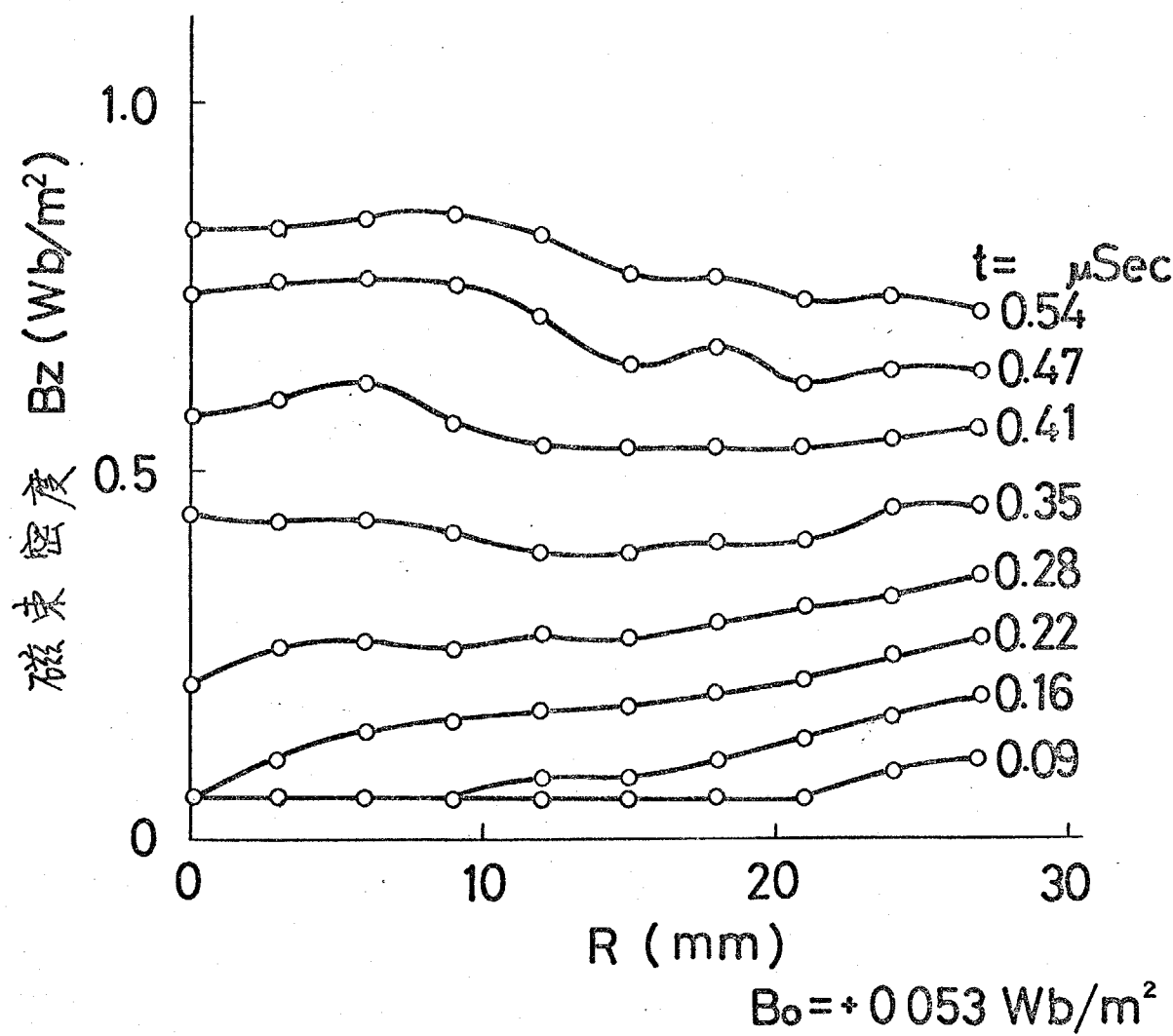
プラズマ円筒内の逆磁界は圧縮が進むにつれ、管軸上の値は増大していくが、時刻 0.483 μsec を過ぎると減少し始める。しかし外部磁場の分布からみるとまだ圧縮が続いているはずである。これは逆磁界の消滅が何らかの不安定性によるとするといふと考えられる。原因を推定するため軸方向の分布を知る必要がある。この測定した結果を 5.8 で後述する。



第5-17図 磁束密度の半径方向分布（逆バイアス磁界）



第5-18図 磁束密度の半径方向分布(バイアス磁場なし)



第5-19図 磁束密度の半径方向分布（順磁化磁界）

(2) B_Z の半径方向分布の時間変化

前述した分布図の書き方では、磁束密度分布の連續的な時間変化をつかみにくい。また5-1で示した半径方向運動の流し撮りとの比較も難かしい。そこで、測定点での B_Z の値から補間法で求めに等しい磁束密度の位置を結んでいて、その時間的な流れを図に書いてみる。逆バイアス磁界のときの第5-20図に示されている。図中、実線が等磁束密度線で、点線は、半径 r_0 の位置での磁束を

$$\text{磁束} = \int_0^{r_0} B_Z \cdot 2\pi r dr \quad (5-2)$$

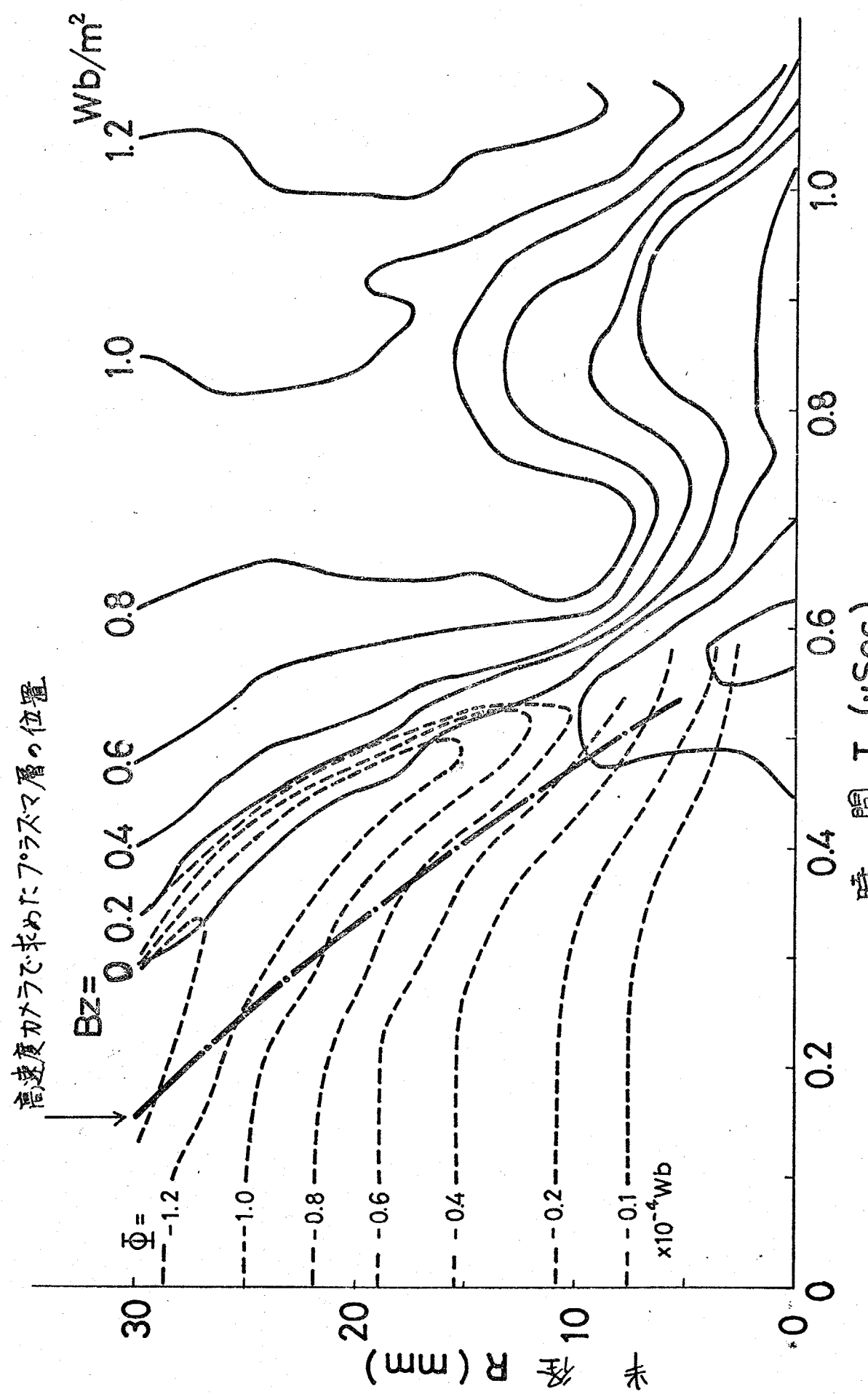
で、実測値から求め、等しい値を結んだものである。つまり磁力線を示す。とくに流し撮りより求めたプラスマ層の移動も一緒に記入した。

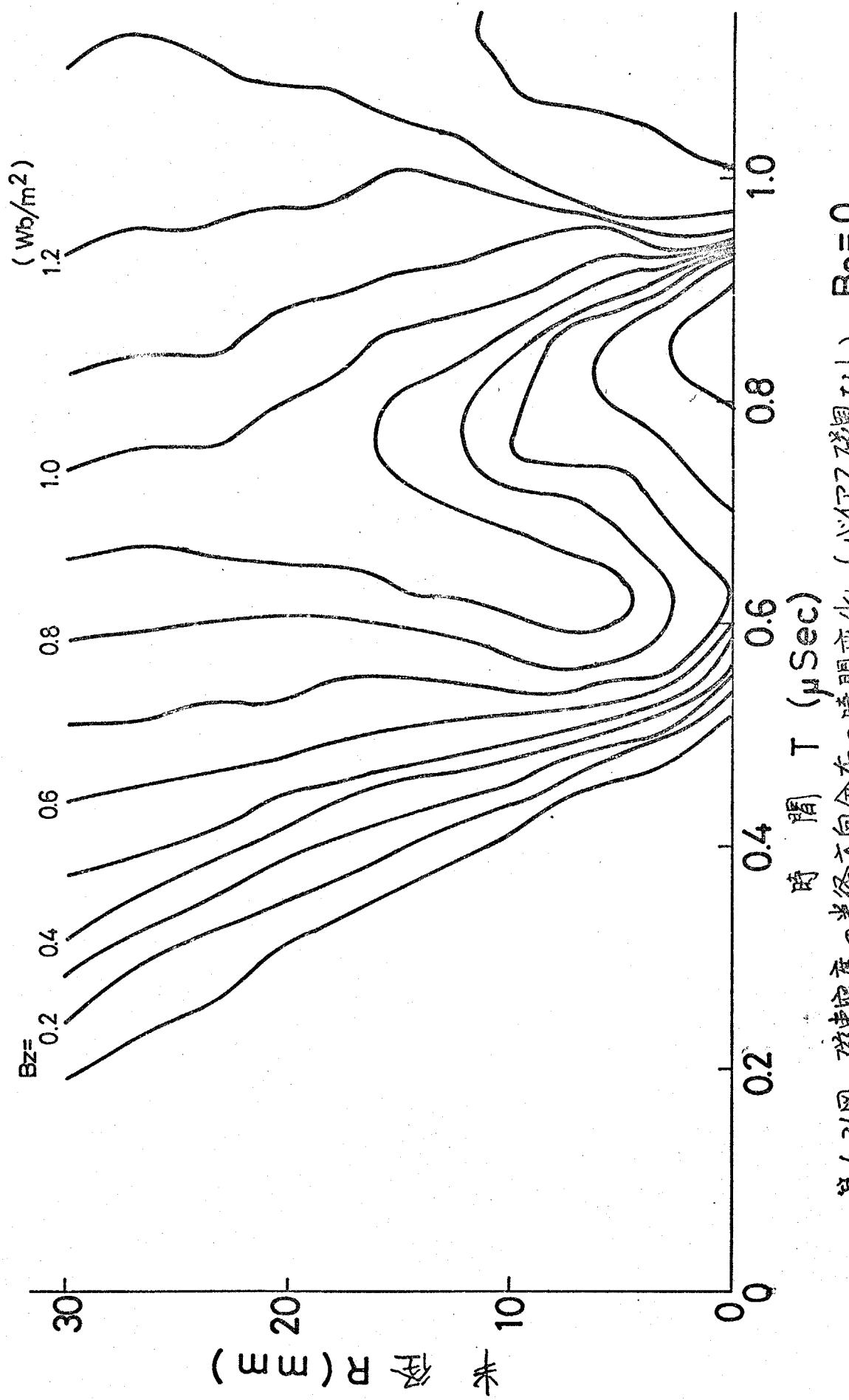
これをみると、プラスマ層の移動と磁界の移動は一致している。逆バイアス磁界となっている磁力線は、最初静止しているが、プラスマ層の移動とともに管軸の方向へ圧縮されていく。

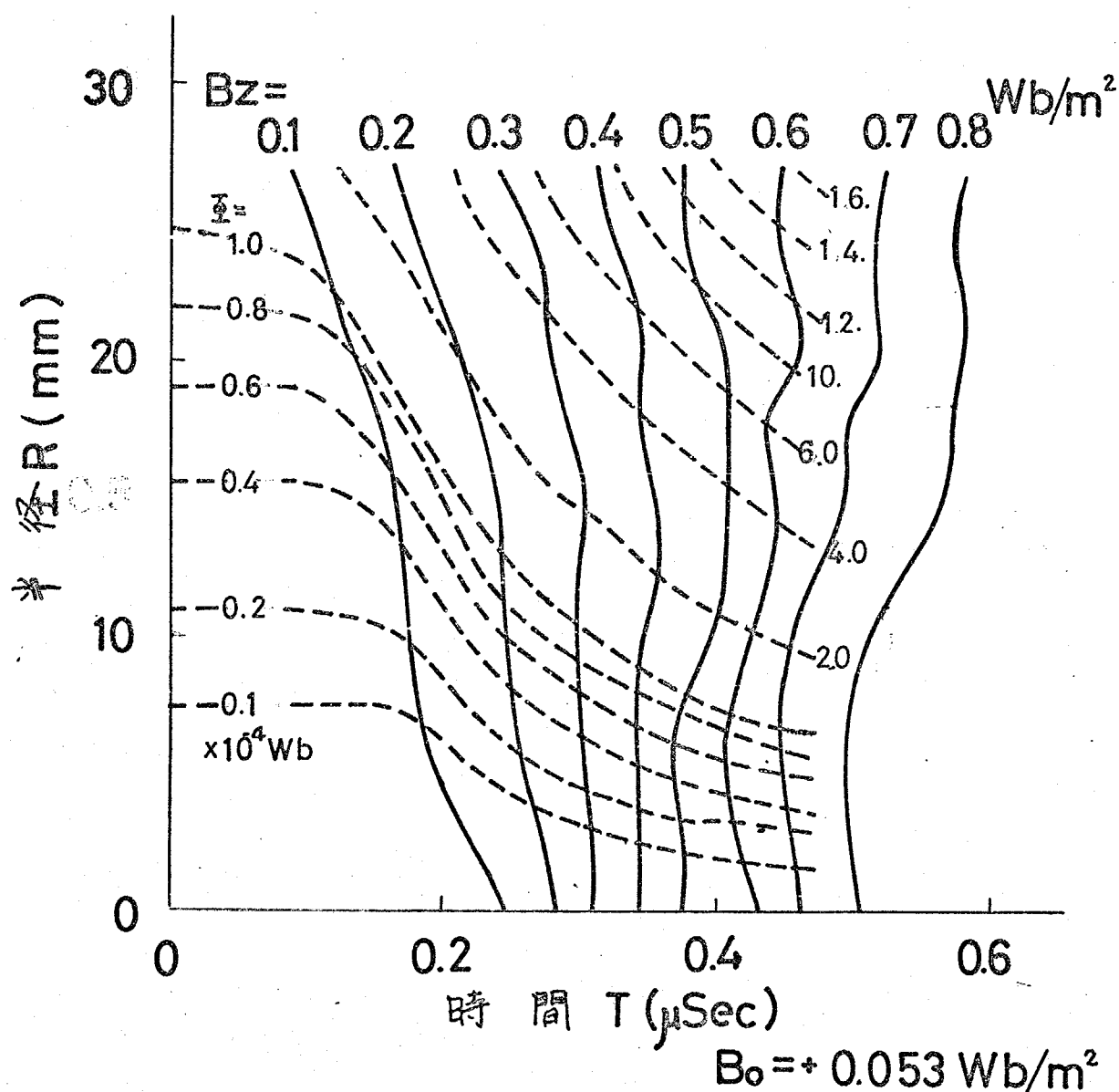
バイアス磁界の場合は第5-21図でも、半径方向への変化は逆バイアス磁界の場合と類似している。圧縮速度にもそれは変わりがない。

しかし順バイアス磁界の場合を示す第5-22図は、これまでとは様子が違っている。磁力線の変化が急激であり、圧縮磁界の磁力線が入りこむのがよく判る。プラスマによる反磁性効果が小さく、圧縮過程でプラスマと磁界の結合が弱いことも、流し撮り写真と比較して判る。

図5-20 磁束密度の半径方向分布の時間変化 (逆アスラム, $B_0 = -0.053 \text{ Wb/m}^2$)







第5-22図 破束密度の半径方向分布の時間変化 (順心行アス磁界)

(3) 優界 E_0 , 優流密度 J_0 の半径方向分布

磁束密度 B の半径方向分布が測定できたので, Maxwellの式

$$\mathbf{J} = \frac{1}{\mu_0} \nabla \times \mathbf{B} \quad (5-3)$$

$$\nabla \times \mathbf{E} = - \frac{\partial \mathbf{B}}{\partial t} \quad (5-4)$$

を使って, 方位角方向の優界 E_0 と, 優流密度 J_0 を計算した。とくに外部磁界が循軸へ到達する時刻までをとりあげた。

- 第5-23図から判るように, 逆磁界があると誘起される優界も大きく, 優流密度も他の場合と比べて大きく電子の加熱が有効に行われると思われる。
0.5μsecまでの時刻で実現された E_0 , J_0 の最大値をまとめて表にすると

	逆バイアス磁界	0	順バイアス磁界
E_0 max.	470 V/cm	400 V/cm	220 V/cm
J_0 max.	5.2 KA/cm ²	4.3 KA/cm ²	1.5 KA/cm ²

第5-2表. バイアス磁界による違い

となる。

5.5-3 半径方向運動に関する実験結果の結論

5.5-2でバイアス磁界のかけ方をいろいろ変えたときのプラズマの振舞について, 磁気探針で診断を行なった。この結果, 予備電離プラズマの状態はほとんど同じで, ただその中の磁界の方向が異なるだけで, これまで述べたような磁束密度および粒子数密度において大きな差が生じた。

順バイアス磁界をかけておいた場合に, 圧縮磁界が急速に循軸まで拡散し

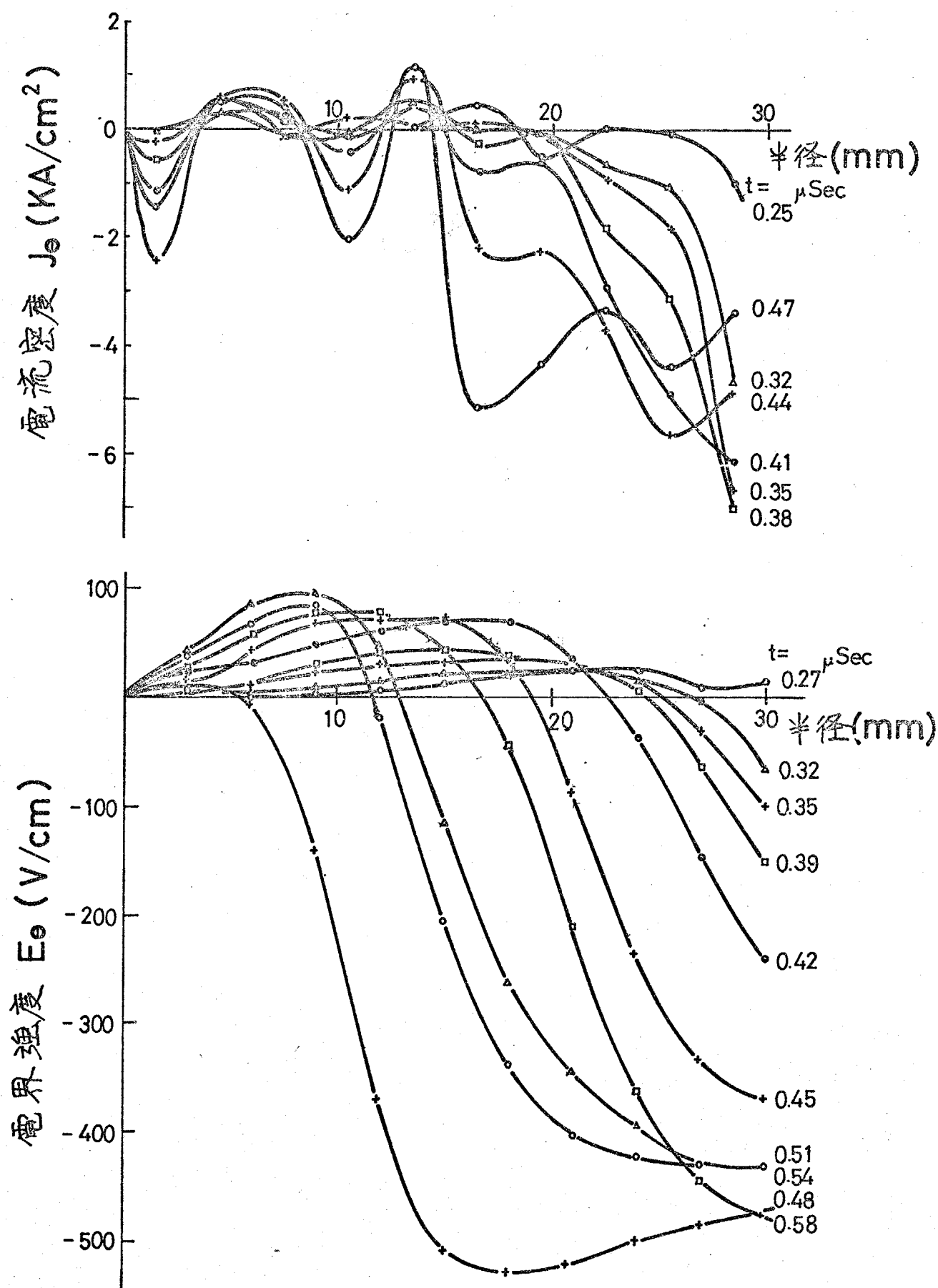
た原因は、管壁付近でのプラズマの様子に深い関係があると考えられる。すなはち、その位置において電気伝導率が低いこと、ならびに電流層の形成が不充分であることがあげられる。この実験条件のもとでは、粒子同志の二体衝突も頻繁である。いわゆる衝突性のプラズマとなっている。そのため、無衝突プラズマにおけるような荷電粒子の集団現象にともなう微視的不安定性は起らぬ、はずである。電気伝導率が低いことを、この不安定性からは説明できない。むしろ、中性原子の存在が問題となる。

しかし、逆バイアス磁界としておくと、プラズマと圧縮磁界の結合が比較的強く、プラズマは有効に圧縮されていった。圧縮磁界の印加にともない、管壁付近のバイアス磁界は減少し、磁束密度が零となるときがある。このとき、予備電離プラズマは管壁に衝突して二次電子を放出させる。電子は磁束密度が零である面上を電界 E_0 によって方位角方向に急速に加速され電流層が効率よくつくられると考えられる。

一方、順バイアス磁界の場合には今のような現象は起らずに、あらかじめあつた予備電離プラズマと、 E_0 による沿面放電で生じた電子だけで電流を構成する。また、磁界があるために方位角方向への E_0 による加速の効率も悪くなる。バイアス磁界がまったくない場合もほぼ同じ状態になるが、磁界はないので加速の点で有利にしている。

完全電離までに到って、いは、予備電離プラズマを使って、データビンチ放電を行なうとき、逆バイアス磁界をかけておくことは、これまで述べたような理由から、プラズマが有効に圧縮、加熱され高温となるように導く利点がある。

データビンチを使って衝撃波の実験において、衝撃波面にあるプラズマ中の磁界の方向と、ヒストン磁界の方向の違いによって現象に差がみられるといわれているが、ここで説明したこととの原因の一つと考えられる。



第5-23図 方位角方向の電流密度および電界強度の半径方向分布(逆ハイス磁界)
 $B_0 = -0.053 \text{ Wb/m}^2$

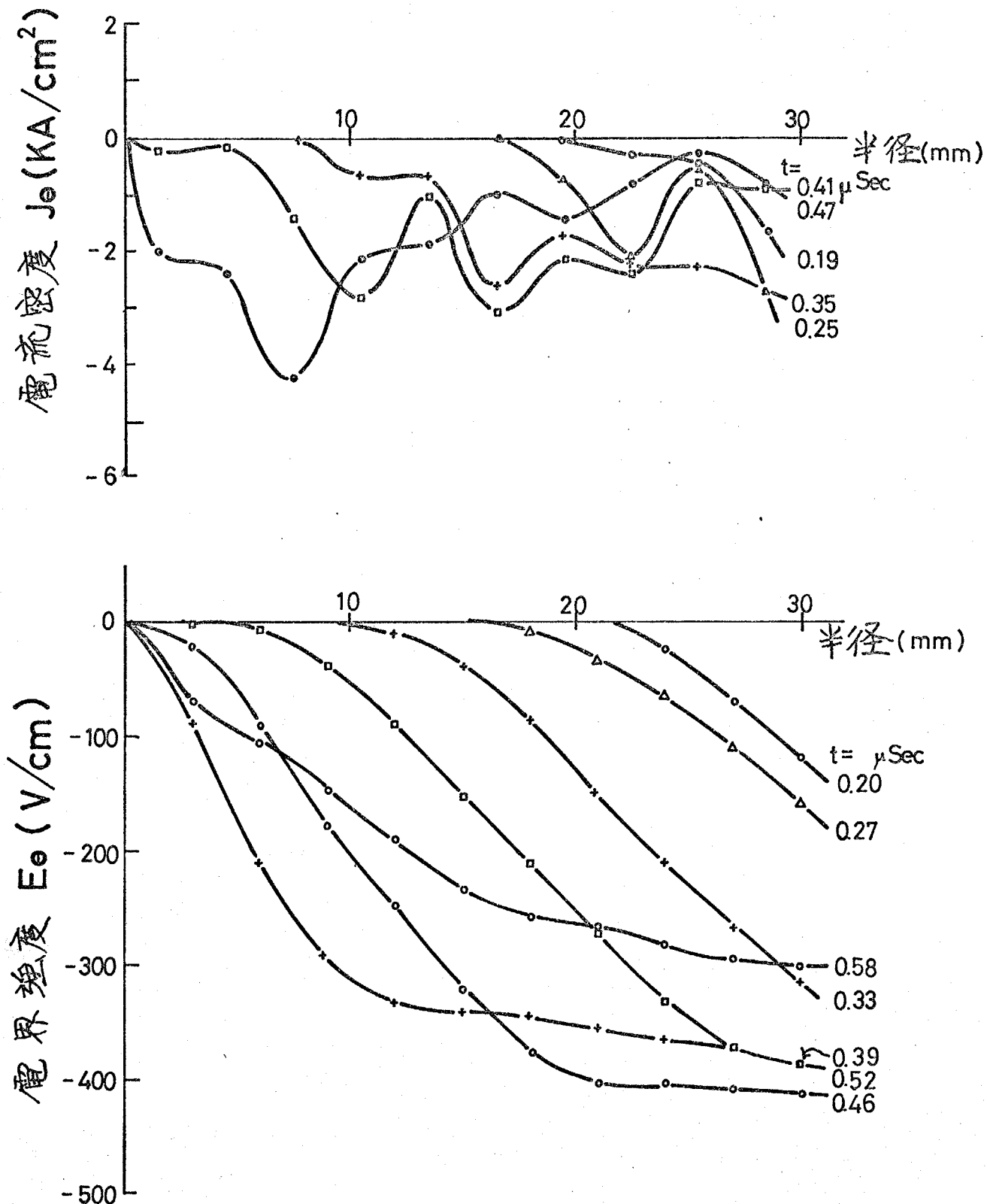
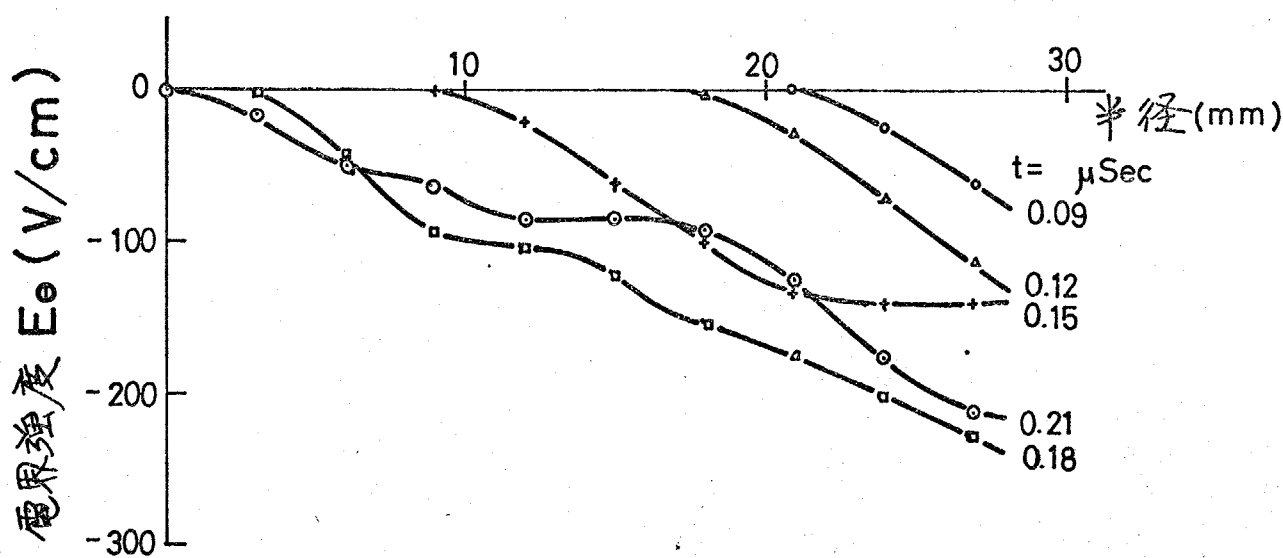
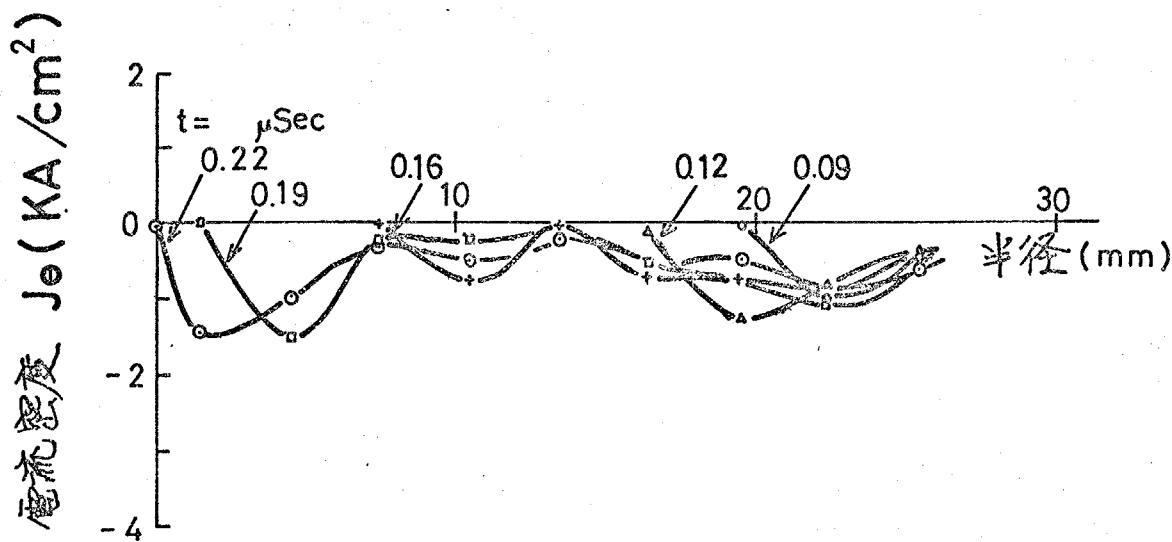


図5-24. 方位角方向の電流密度および電界強度の半径方向分布 (バイアス磁界なし)
 $B_0 = 0$



第5-25図 方位角方向の電流密度および電界強度の半径方向分布(直心アスペクト)
 $B_0 = +0.053 \text{ Wb/m}^2$

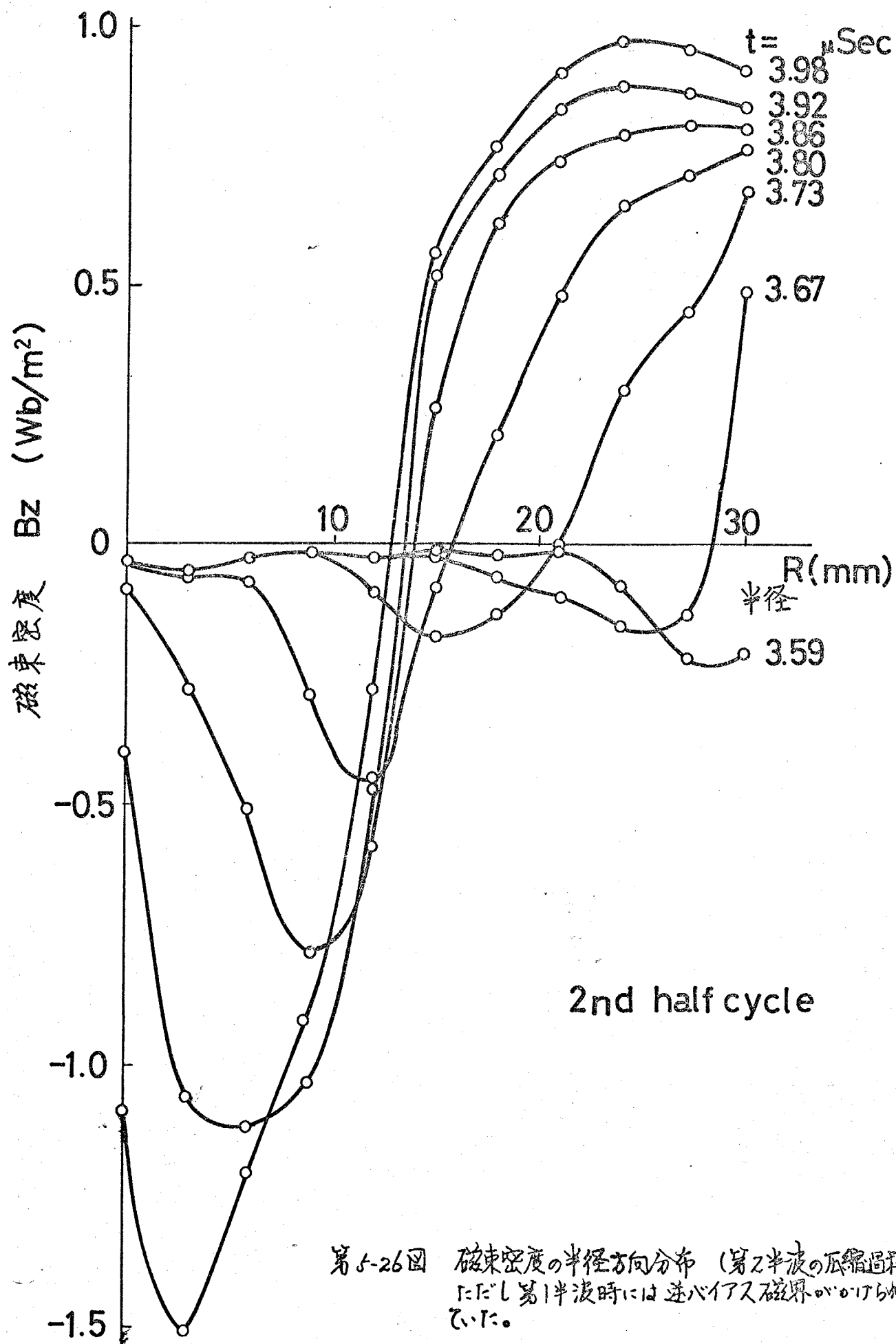
5.6 磁、予備電離で逆磁界を閉じこめたデータヒニチプラズマ

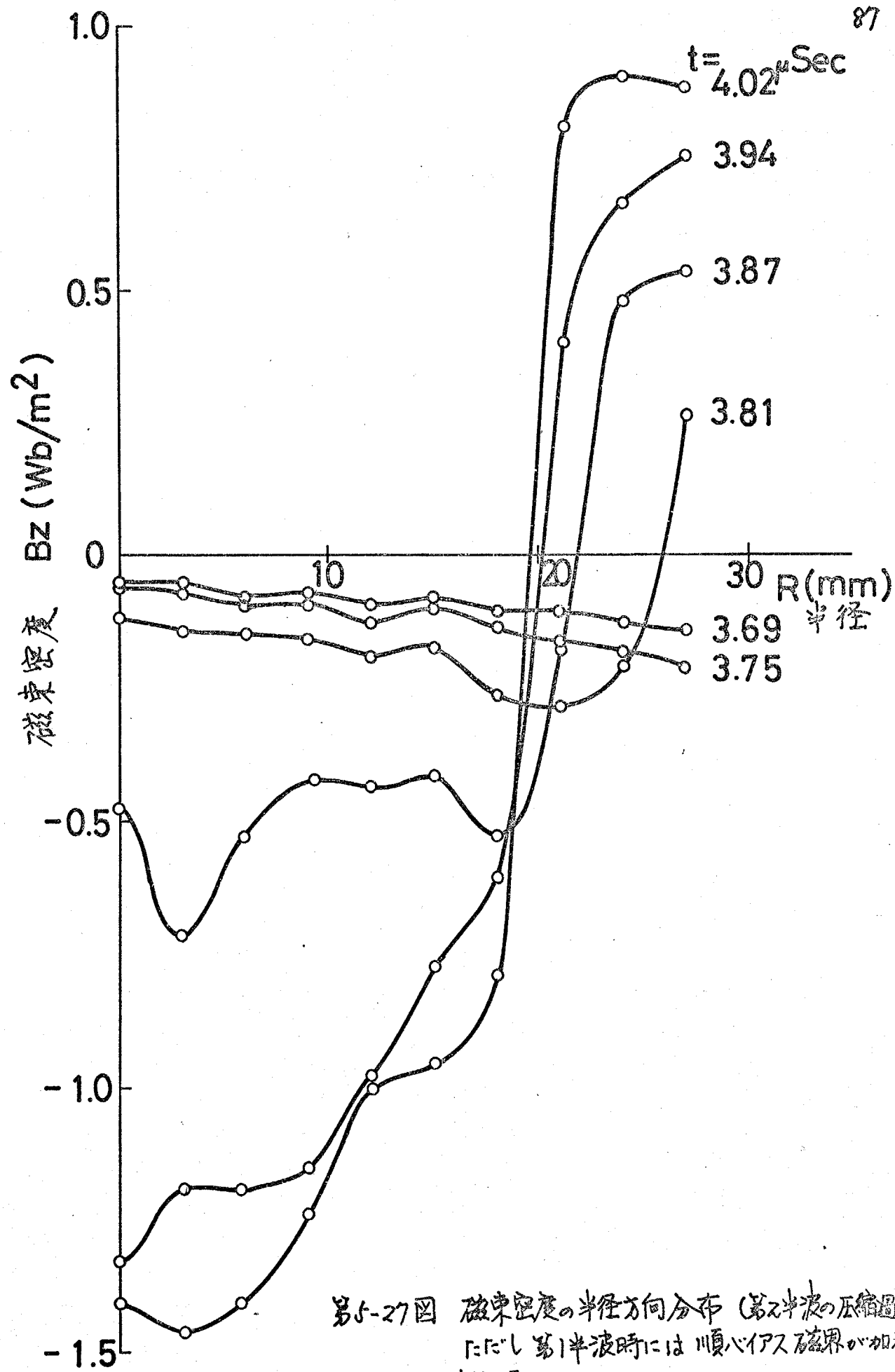
5.3 で述べたと同じに、初気圧 100 mTorr でも第2半波には逆磁界を含む。いわゆる第1半波にできたプラズマは、次の半波の現象には予備電離プラズマとしての役目をはなす。今度の場合、前節までに述べてきただよにバイアス磁界のかけ方を変えることによって、生成されたプラズマはこれぞれ違っていた。つまり見方を変えれば予備電離の状態が違っているとみなせる。しかもタイミングからみても、第1半波時の区放電による予備電離と比較して、その強度が強い。このような立場に立って第2半波における逆磁界とプラズマの相互作用を、磁束密度分布から考えていく。

分布図は、5.8 のときとまったく同じ描き方をしていく。半径方向の分布をみると、いすゞの場合でガ压縮過程では、管軸付近の逆磁界の値よりも大きな逆磁界がプラズマ層の付近 1 cm の領域にある。これは半径方向分布の時間変化を示した第5-29, 5-30 図をみると理解される。逆磁界となるては磁力線が、圧縮磁界と反対方向に拡散しつつある。そこへ圧縮磁界が加わることによって拡散は妨げられる。そのためプラズマ層をはさんで磁力線の集中がある。これが逆磁界強度の局所的増加となって観測された説である。逆磁界の磁力線に巻きついていた行進粒子は、圧縮されつつあるプラズマ層と衝突して、逆方向の速度をもち、持てていて運動エネルギーがさらに増加すると予想される。

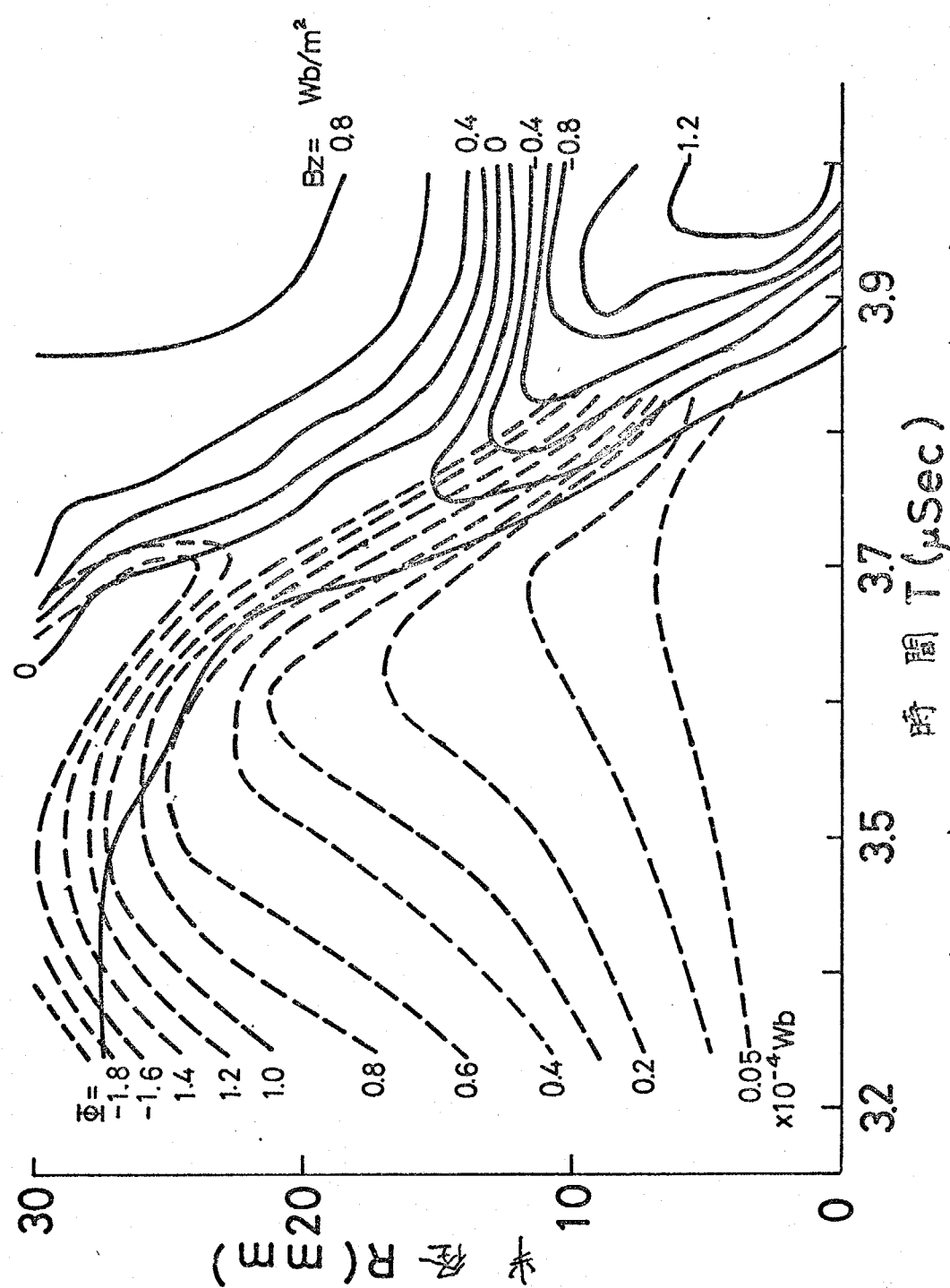
逆バイアスをかけておいたものの第2半波時は、管軸付近の逆磁界分布が他の場合とことなっている。外部磁界の増加に比例して増加しない。このことは、管軸付近に電気伝導度の高、プラズマがまだ残存していて、磁界的急激な変化を示すことを示す。磁界勾配から管軸付近に流れている漏流と、その周間に流れている漏流とは方向が反対である。これは他の条件のときにはみられないことである。流し環りあるいは磁束密度分布の結果から、逆バイアスであつたとき第1半波で実現された温度は、それ以外の条件のと



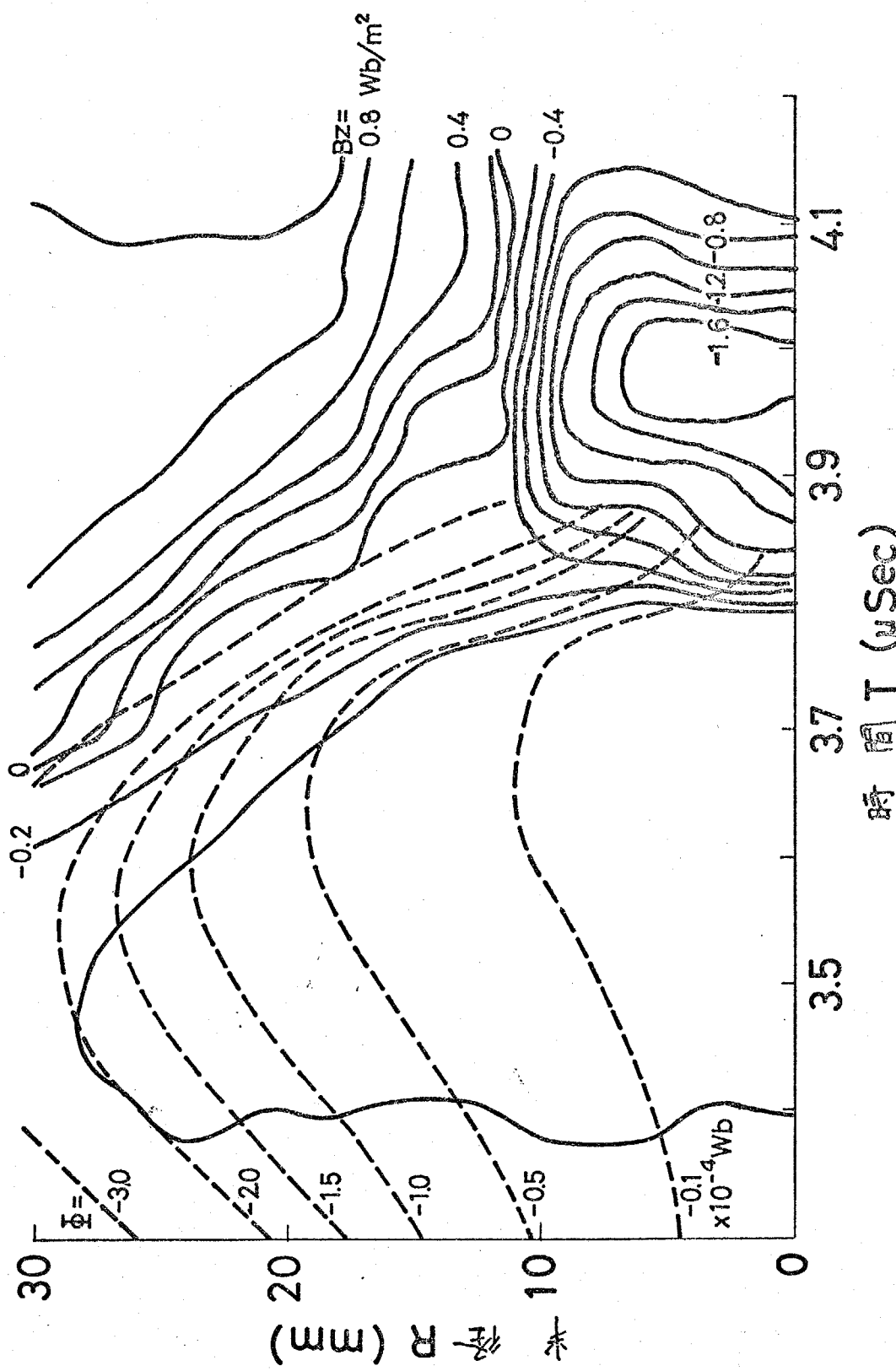




第5-27図 磁束密度の半径方向分布 (第2半波の压缩過程)
 ただし第1半波時には順ベイアス磁界が加えられていて。



第5-29図 磁束密度の半径分布の時間変化（第2半波の伝播過程）
ただし第1半波時には逆バクス磁界が加えられた。



第5-30図 放電密度の半径方向分布の時間変化（第2半波の伝播過程）
ただし、第1半波時ににおいてバライス放電は加えられていない。

きより比較的高い。逆に θ とともに温度が低かった順バイアスの場合では、逆磁界が半径 18 mm 以内の領域で一様に増加していく。

このように磁界を含んだプラズマに、その磁界と逆方向の圧縮磁界を加えたりとき、生成されるデータセンチプラズマの運動は、あらかじめあったプラズマの温度、密度の大きさと分布に入り込む影響をうけることが判った。なおこれらの結果は 5.9 における検討で使う。

○ 5.7 プラズマの軸方向現象の高速度カメラによる観測

バイアス磁界のかけ方を変えたとき、プラズマが管軸方向へする運動にどのような差があるかと高速度カメラを使つて、流し撮りならびに駆撮りの結果から検討する。

管軸と平行にスリットを置き、それを通してのプラズマ像の流し撮りしたのが第 5-3 図である。第 1 半波では、との場合も半径方向振動による光の渦巻きのみられるだけで、顕著な現象はみられない。逆バイアスをかけたときに大きな変化はなかった。逆磁界の閉じこめられた第 2 半波では、それそれに伴つて差がみられた。現象を整理して書くと、

逆バイアス磁界……軸方向へ伝搬する現象ではなく、半径方向振動をくりかえす

バイアス磁界なし……圧縮されたプラズマ柱はコイル中央部とコイル終端から 4 cm の位置で変形をおこす

順バイアス磁界……プラズマ柱が最大圧縮されたとき、コイル終端から 4.5 cm の所から面積波と思われる現象が観測された。これらはコイル中央部で衝突した。

この伝搬速度は $6.2 \text{ cm}/\mu\text{sec}$ であった。

この結果から、次のことがいえる。第 1 半波で逆バイアス磁界をかけてお

いた場合、第2半波でくられる逆磁界を食んだプラズマは比較的安定である。つまり、圧縮磁界をかける前の初期プラズマは高温のすが、安定性のうえからも良いと考えられる。

5.3 で述べた初気圧 300 mTorr の第2半波で発見された軸方向現象と同じものが、今回の観測でもみられ、その速度は今度の方が速かった。

これらに逆磁界があれば常に間に磁力線によって面積波が形成されるのではないか、ことが判った。300mTorr の第2半波で観測されたのは偶然のことであった。今回の場合、順バイアスをかけておいたときの第2半波でだけにみられた。面積波が形成され、安定に軸方向へ伝搬するためには条件があることが判る。この問題は 5.9 で検討する。

次にこれまで述べたような現象がどの時の時刻で、詳細な形状がどうなっているかを駆振りでとらえた。その結果を第 5-32 図に示した。バイアス磁界を変えた各条件のもとでの様子を列挙すると次の通りとなる。

まず第 5-32 図 (A) で示した第1半波では、

逆バイアス磁界 …… 圧縮過程から最大圧縮時まで、磁気探針で測るとまだ逆磁界があるとき、プラズマ柱は軸方向に不均一であって、コイル中央部のプラズマ半径よりも、コイル終端から 60 mm より 70 mm の部分の半径の方が大きい。後の時刻ではこの傾向がなく、比較的一様である。

バイアス磁界なし …… 最大圧縮時前後、コイル中央部のプラズマ半径が他の位置と比べて小さい。

順バイアス磁界 …… プラズマ円柱の境界が明確でない。

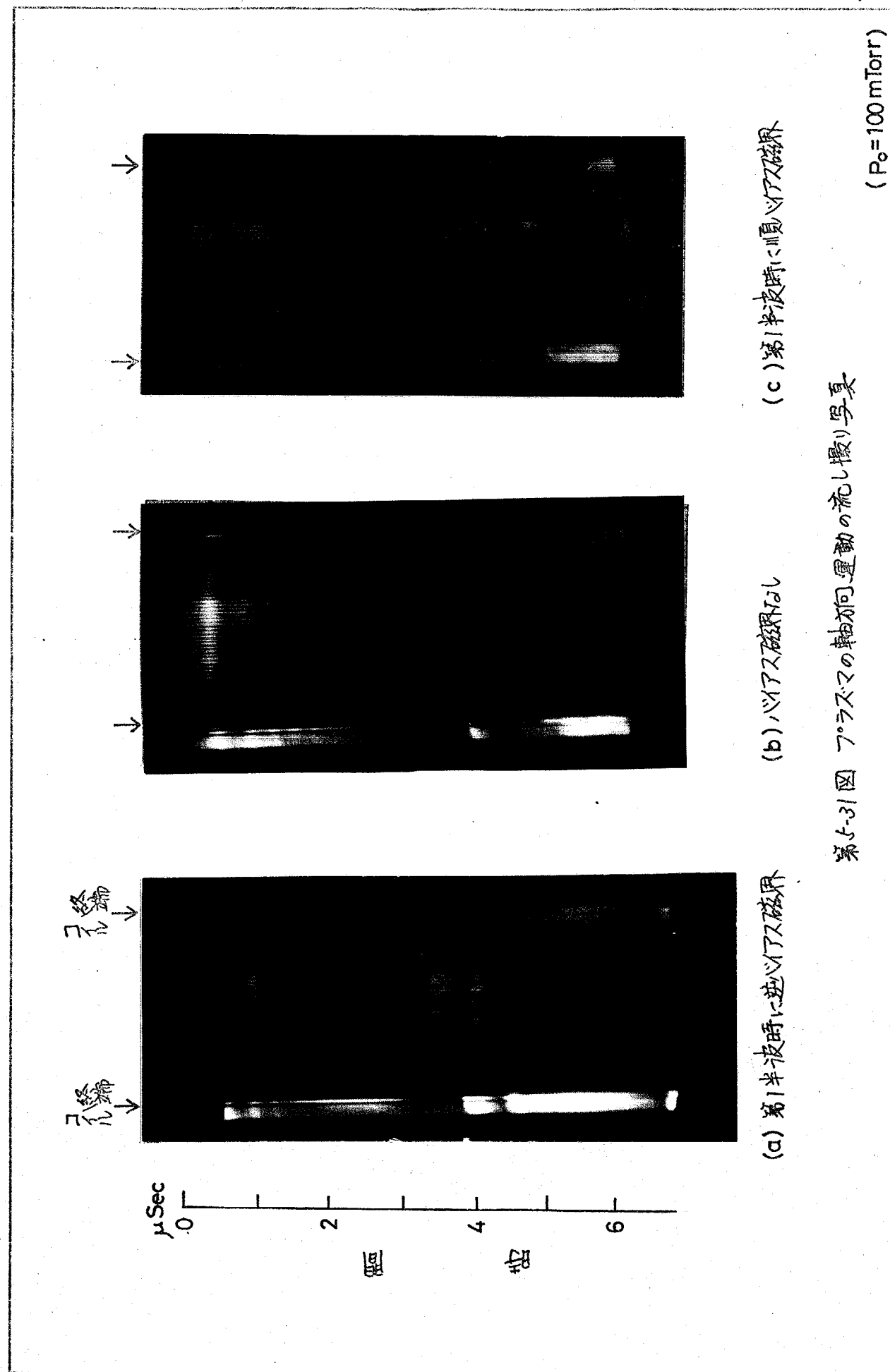
いすれの場合も目立つにプラズマの変形等の磁気流体的不安定性はみられなかった。逆バイアス磁界のときの軸方向への不均一は、5.7 で磁束密度の半径方向分布を求めたとき、逆磁界の消滅の原因が不明であったが、これと関連していると思われる。

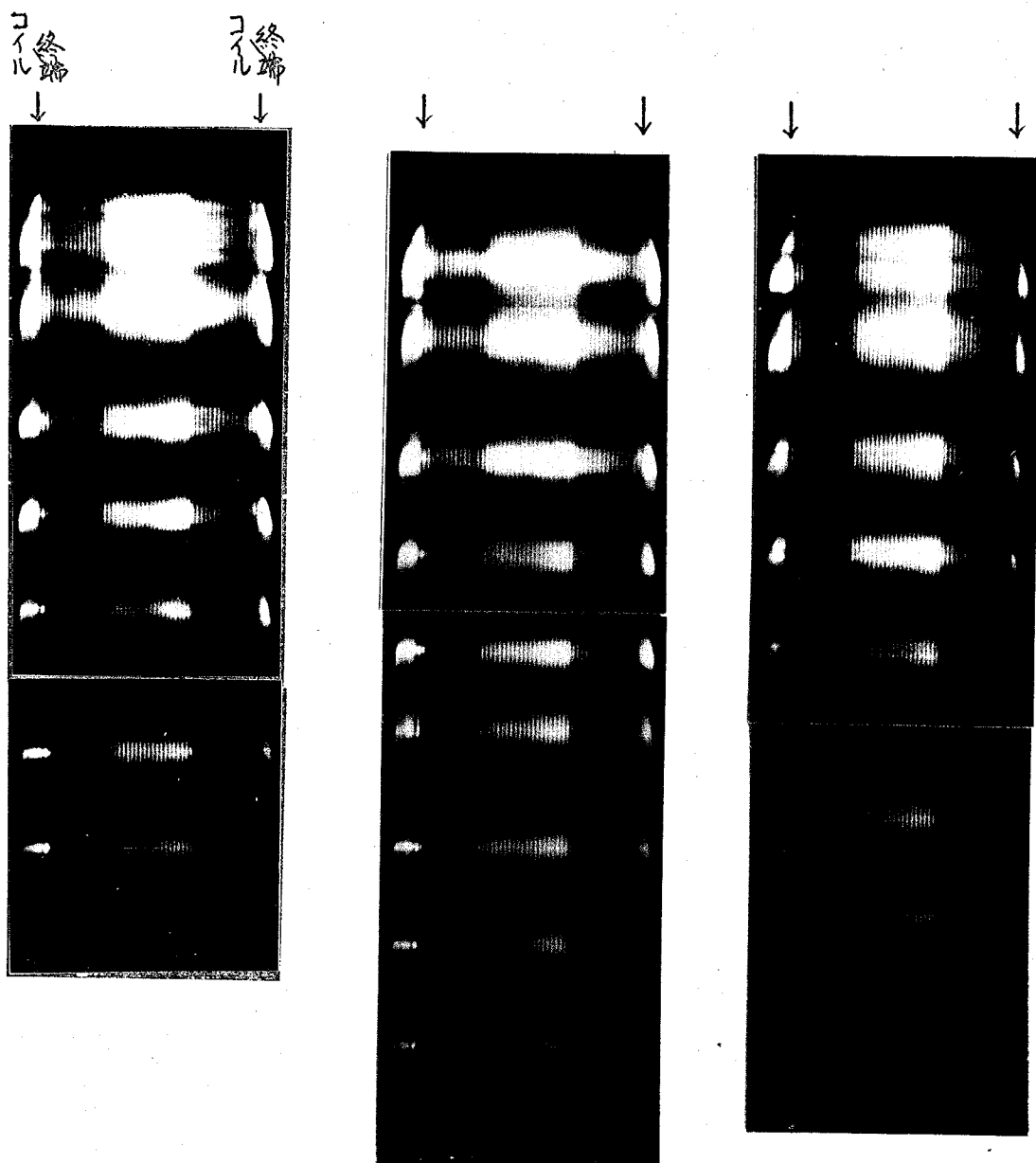


($P_0 = 100 \text{ mTorr}$)

第5-31図 フラズマの軸方向運動の流し撮り写真

(a) 第1半波時に逆心アス磁界 (b) バイアス磁界なし (c) 第1半波時に順心アス磁界

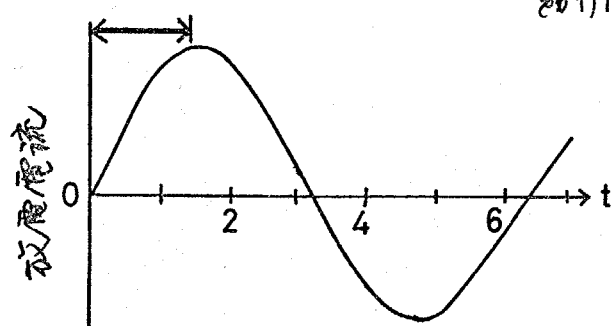




(a) 第1半波で逆バイアス磁界をかけた場合

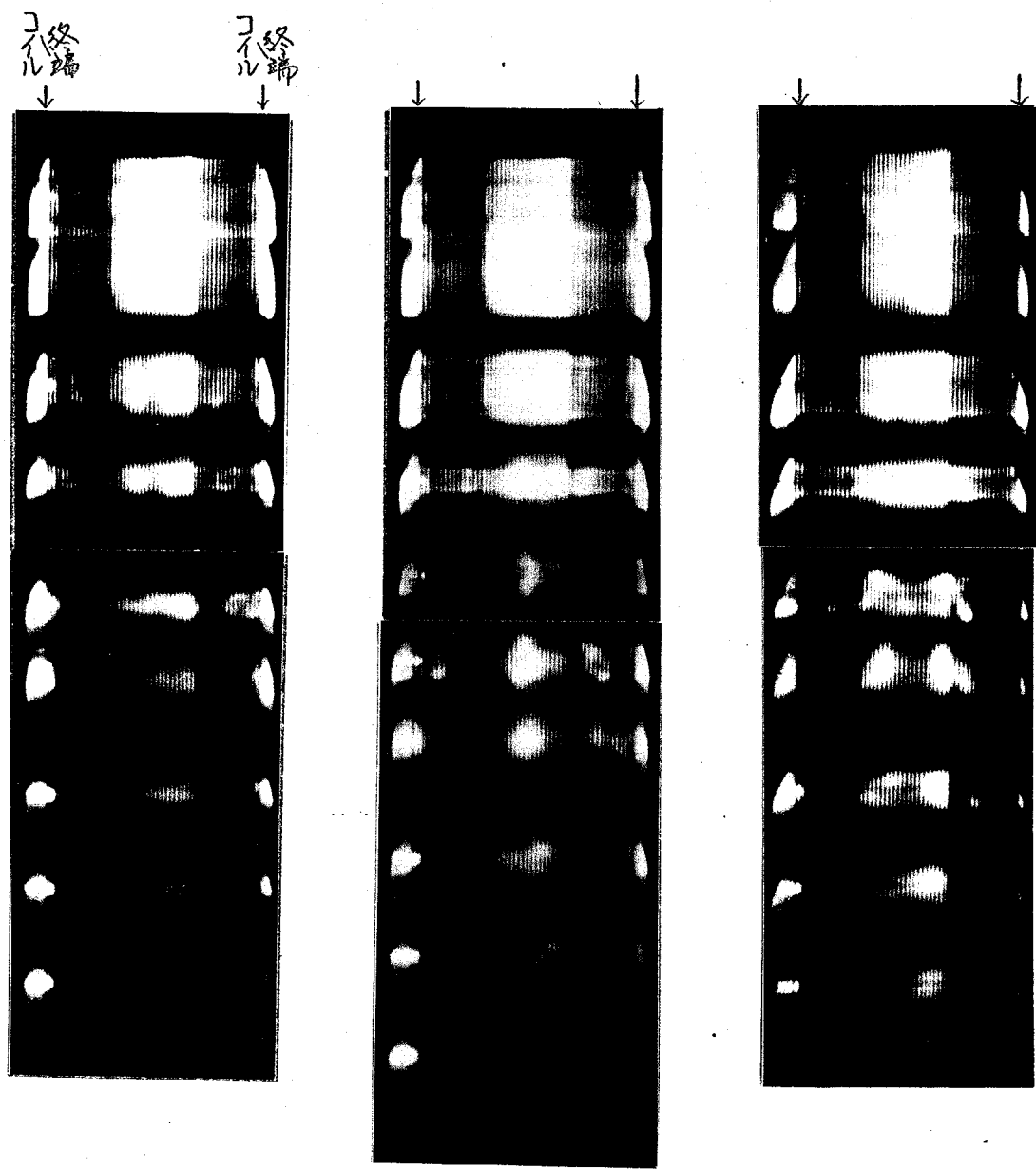
(b) バイアス磁界かけない場合

(c) 第1半波で順バイアス磁界をかけた場合



第5-32図 (A) プラズマの軸方向形状の写真撮影 (第1半波時)

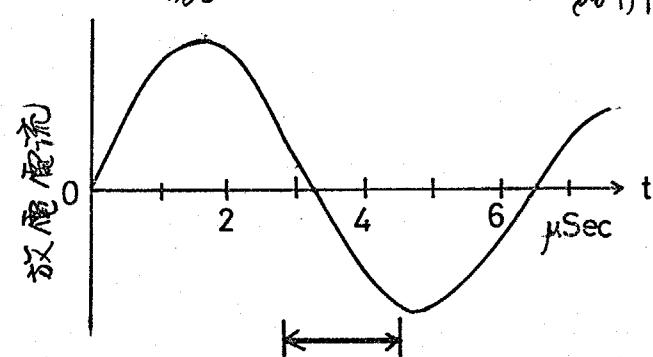
 $(P_0 = 100 \text{ mTorr})$



(a) 第1半波で逆バイアス磁界をかけた場合

(b) バイアス磁界をかけない場合

(c) 第1半波で順バイアス磁界をかけた場合



第5-32図 (B) プラズマの軸方向形状の動撮り写真(第2半波時)

 $(P_0 = 100 \text{ mTorr})$

第2半波では、前に述べたように軸方向へ伝搬する現象を観測されており非常に興味深い。

逆バイアス磁界……最大圧縮とその直後に、プラズマ柱に局所的な濃波がみられ、以後は $m=0$ の変形としている。

バイアス磁界なし……最大圧縮後、コイル端から 45 mm の所でプラズマ柱のらせん状の変形がおこっており、コイル中央部は、両側のらせん変形の接点となつていて、これがらせん変形のみられる。一方、このらせん運動の回転方向は、前述の流し振りの結果を考慮すると、プラズマ柱内の方針角方向の電流が流れ込む方向と一致する。

順バイアス磁界……バイアス磁界と似た変形をしているが、性質は異なり、らせん状ではない。閉じた磁力線によってプラズマの一部がを集められ、断面積の増加が伝搬する面積波の構造がよく判る。

撮影されたプラズマ像から、面積波が伝搬した後の部分でもプラズマ円柱は確かに残っており、閉じた磁力線はプラズマのすべてを引き集めるのでないことが、ここで確かめられる。図 5-8, 5-9 図のように面積波(圧縮波)がコイル中央付近で衝突するが、管壁への接触はないようである。

5.8 逆バイアス磁場の消滅過程

逆バイアス磁界のもとで、磁束密度の半径方向分布を 5-5 で求めた。その後閉じこめられた逆磁界の消滅がどうして起つたのか不明のままであった。今回の観察の結果によると、コイル中央部でプラズマ柱の不均一が観測された。さらに詳しく調べるために磁気探針を使って、軸方向の分布を測定してみることにする。測定は管軸上に沿ってだけ行ない、10 mm 間隔にとった。

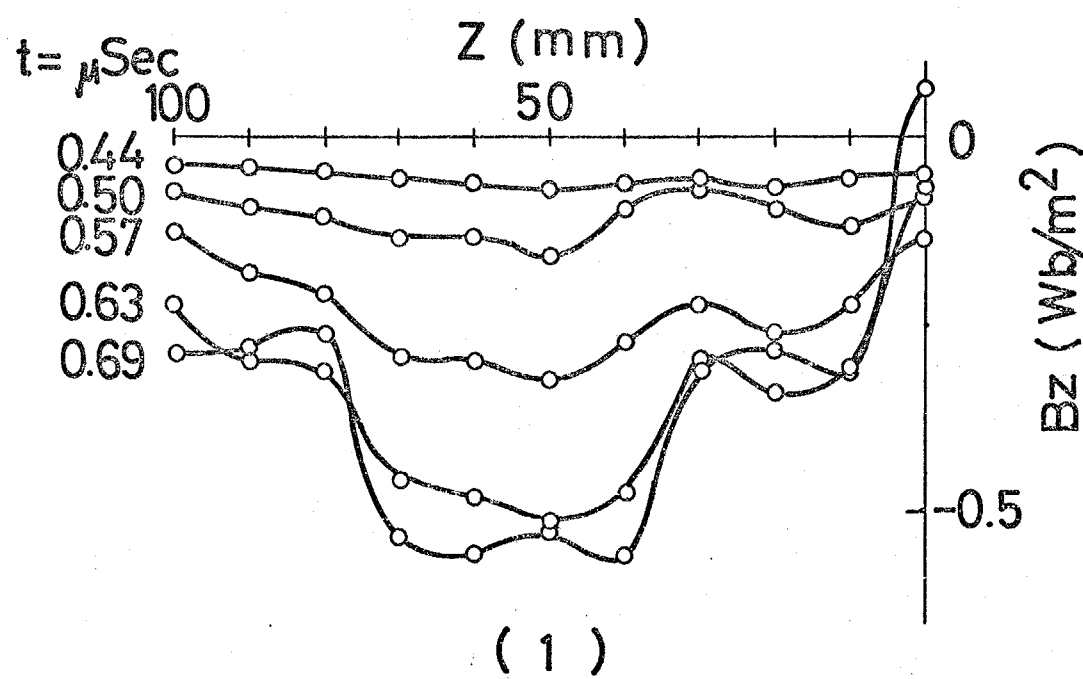
コイル中央部から、終端まで測定して得られた結果が第5-33図である。コイル中央部を $Z=0$ ととっている。(1) ではプラズマ柱全体では圧縮過程のみで、逆磁界が圧縮されているが、 $Z=0$ では $0.567 \mu\text{sec}$ 以後逆磁界は減少の傾向を示す。とくに Z が $40(\text{mm})$ から $70(\text{mm})$ の位置で閉じこめられて逆磁界の値は大きい。このことからプラズマ柱はコイル中央部の両側に、閉じて磁力線でとり囲まれた部分が存在しているのが判る。

(2), (3), (4) は最大圧縮後、プラズマ柱が半径方向振動する。この膨張、圧縮、形張のそれぞれの時間のときのものである。興味深いのは、半径方向振動による磁束密度の増減が、軸方向に同じ位相であった。磁力線の閉じたループの存在にちがひわらず、プラズマ柱の半径方向振動は軸方向との位置でも同じ周期で行なわれる。

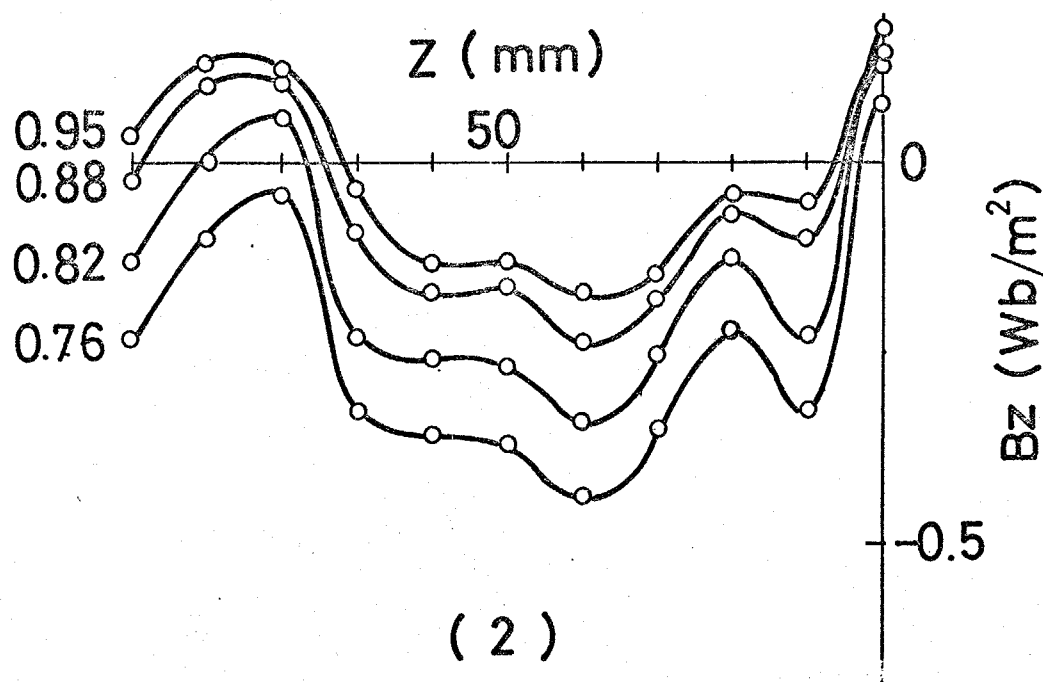
逆磁界の存在して、軸方向の領域は時間とともに減少し、およそ $1.2 \mu\text{sec}$ の時刻で $Z=40(\text{mm})$ 付近に最後まで残っていたものが消滅した。とくにコイル中央部で逆磁界がすみやかに消滅する原因は、磁気探針の影響、或窓壁のよごれなどが考えられる。しかし前者は探針を入れるために高速度カメラで観測した駆け抜りの結果(第5-32図(A))からも、コイル中央部にプラズマ柱の不均一がみられるので決定的な原因ではない。

第2半波について閉じこめられて逆磁界の場合には、このような消滅現象はみられない。予備電離が不充分なために、第1半波ではプラズマ柱が軸方向へ一様に生成されず、コイル中央部の電気伝導度が低くなることが考えられる。



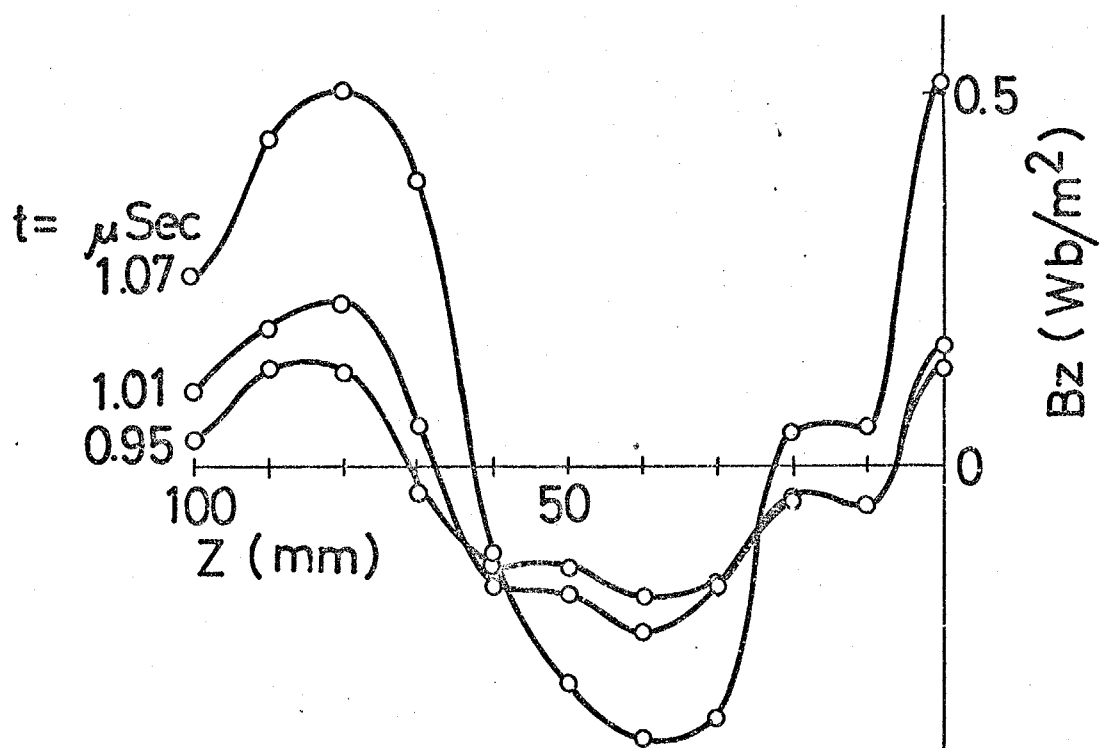


(1)

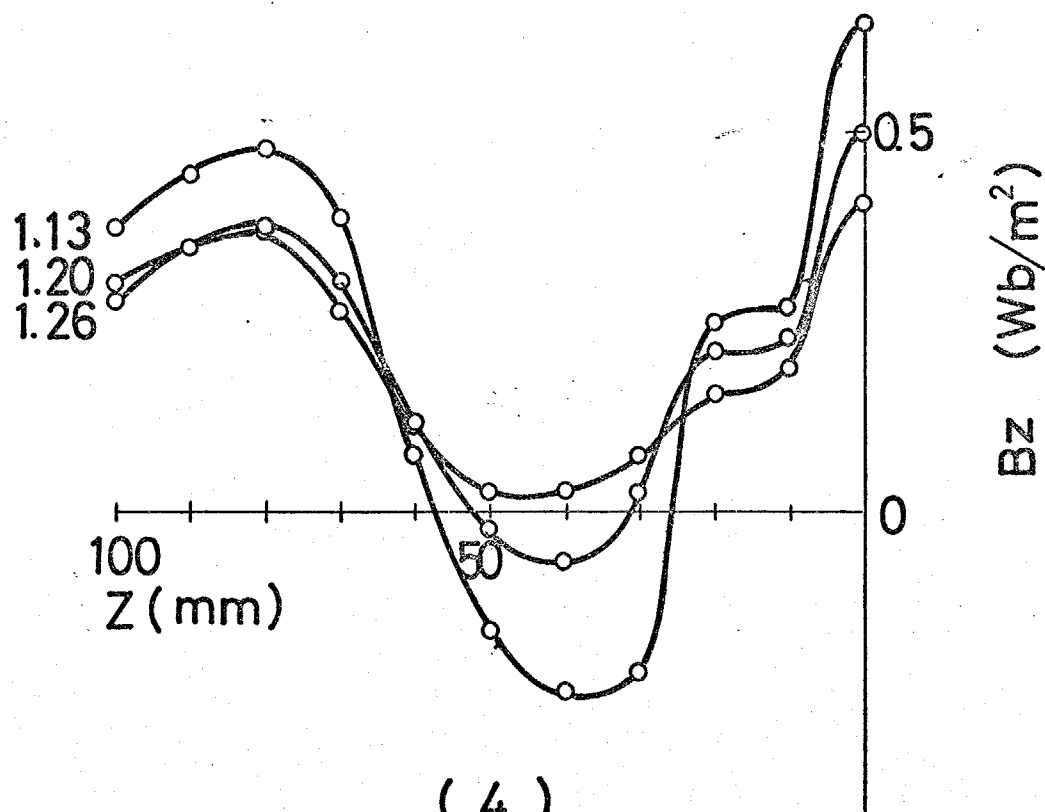


(2)

第5-33図 磁束密度の軸方向分布
逆バイアス磁界の消滅過程を示す。



(3)



(4)

5.9 軸方向現象の理論および実験結果の検討.

直線データビニチでは、コイルが有限長なためコイル終端からの粒子損失が大きく、プラスマの閉じこめ時間に制約を与えている。この粒子損失の定量的な説明は数多くなされていて、これから述べる二つの考え方は、現在ほぼ最終的で妥当なものである。そのなかの一つの考え方を裏づける現象を、今回筆者は実験的に観測することに成功した。

- データビニチの粒子損失を考えるには、ただ単にコイル終端付近の現象を調べるだけでは不充分である。コイル端での現象が沿軸方向に沿って、コイル中央部まで伝搬することも考慮しなければならぬ。⁽⁴³⁾ またそれはプラスマ柱内の逆磁界の有無によって事情が変わる。逆磁界があるとプラスマ柱は閉じた磁力線でとりまかれれる。一般に磁力線は収縮しようとするので、この磁力線はプラスマを軸方向に引き集めながら軸方向へ収縮する。その際、磁力線の閉じた部分にあるプラスマは粒子密度が増加し、半径方向への圧力平衡が成り立つて、⁽⁴⁴⁾ とすれば、このためにプラスマの断面積は増加しないはずはない。つまり磁力線の収縮とともに、プラスマの断面積変化が軸方向へ伝搬する。

- このように断面積変化が伝搬する場合、「面積波」(Area Wave)と呼ぶ。逆磁界があるときの断面積増加のものを「圧縮波」と呼んでいる。これとは反対に、一様にプラスマ柱がコイル終端から粒子を流出させている状態も考えられる。このとき流出によって粒子密度は減少するので、プラスマ断面積の減少がある。それが伝搬するのを「膨張波」あるいは「希薄波」と呼んでいる。これは逆磁界のあるときのように閉じた磁力線がない場合の粒子損失であり、本研究で行なった実験では、逆バイアス磁界をかけないときの第1半波にできるプラスマ柱に発生する。

5.3 の第5-6図、5.7 の第5-31図にみられた軸方向の現象は、すべて逆



磁界がある場合であり、駆撮りの結果と照らしてみて、今述べた圧縮波であることに間違はない。そこでその伝搬速度について定量的な検討を加えてみよう。また過去に解析された圧縮波及び膨張波についての理論を紹介しておく。

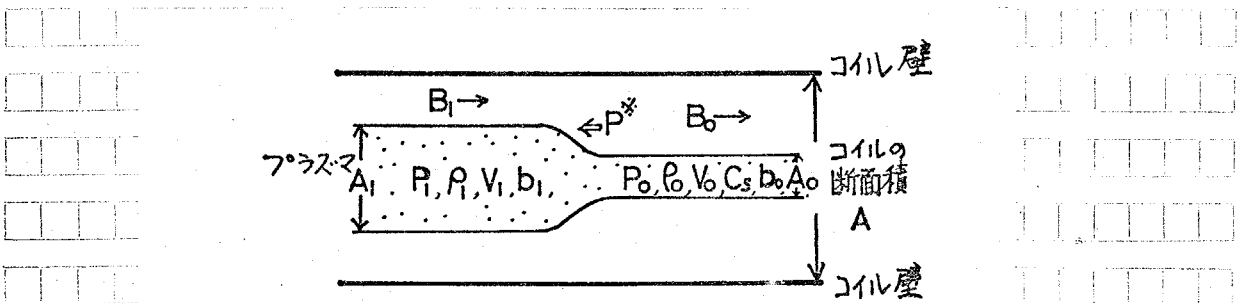
■ 圧縮波に関しては、H.A.B.Bodinらの実験結果にもとづいて、J.B.Taylorがその伝搬速度を導いている⁽¹⁾。それによると、現象を第5-34図で示したモデルで考える。圧縮されたプラズマ柱は断面積 A_1 であり外部磁界 B_0 で保持されている。そこへ断面積 A_1 ($> A_0$) のプラズマの変形が伝搬していくものとする。運動の方向は軸方向だけの一次元とし、無限長の系で考える。またプラズマの電気伝導度は無限大と仮定する。このとき圧縮波の伝搬速度 V_0 を次のようにして求めることができる。

今、外部磁界を B 、プラズマ中の磁界を b 、プラズマの圧力、密度をそれぞれ P 、 ρ とおく。圧縮波の表面に沿って座標系でこれらの計算を行なう。このとき各部の速度を V とする。初めの状態をサフィックスの「0」で示し、断面積の増大していく所のものを「1」で示す。

■ プラズマ柱は半径方向には圧力平衡で、それが他の領域で常に成り立つているので、

$$P_0 + \frac{b_0^2}{2\rho_0} = \frac{B_0^2}{2\rho_0} \quad (7-1)$$

$$P_1 + \frac{b_1^2}{2\rho_1} = \frac{B_1^2}{2\rho_1} \quad (7-2)$$



第5-34図 圧縮波のモデル

である。領域1と、領域0との各変数の関係は以下の保存則で結びつけられる。その保存則を示す方程式は5個あって、

■ 質量保存則

$$\rho_0 V_0 A_0 = \rho_1 V_1 A_1 \equiv m \quad (7-3)$$

■ エネルギー保存則

$$P_0 A_0 V_0 + P_1 A_1 V_1 = m \left(\frac{V_1^2}{2} - \frac{V_0^2}{2} + E_1 - E_0 \right) \quad (7-4)$$

■ 運動量保存則

$$P_0 A_0 - P_1 A_1 + P^* (A_1 - A_0) = m (V_1 - V_0) \quad (7-5)$$

電気伝導度を無限大としているから、磁束は保存されるので

■ 磁束保存式

$$B_0 (A - A_0) = B_1 (A - A_1) \quad (7-6)$$

$$b_0 A_0 = b_1 A_1 \quad (7-7)$$

の以上5式である。

ここで運動量保存則にあらわれた P^* は、圧縮波波面に働く実効圧力である。

$$P^* (A_1 - A_0) = \frac{B_1^2}{2\mu_0} (A - A_1) - \frac{B_0^2}{2\mu_0} (A - A_0) + \frac{b_1^2}{2\mu_0} A_1 - \frac{b_0^2}{2\mu_0} A_0 \quad (7-8)$$

として求められる。

これらの方程式から、圧縮波の伝搬速度 V_0 を決める一般式が求められ、

この結果は、

$$V_0^2 = \frac{B_0^2}{\mu_0 \rho_0} \frac{G \cdot H}{K} \quad (7-9)$$

となる。ただし式中に現わされた G, H, K は

$$G = [(z-1)(x-1) - \frac{x^2}{y} + 1 + \frac{2b_0^2}{B_0^2} (y-1)] \quad (7-10)$$

$$H = [(r-1) \{(z-1)(x-1)+1\} + (r-1) \frac{x^2}{y} - \frac{2b_0^2}{B_0^2} (r+y-1)] \quad (7-11)$$

$$K = 4 \left[1 - \frac{x^2}{y} - (r-1)(z-1)(x-1) + \frac{b_0^2}{B_0^2} (2-r)(y-1) \right] \quad (7-12)$$

ここで

$$x = \frac{A - A_0}{A - A_1}, \quad y = \frac{A_0}{A_1}, \quad z = \frac{A}{A_0} \quad (7-13)$$

速度 V_0 で $\frac{B_0^2}{\mu_0 P_0}$ はアルマゲン速度にはかららない。一般式は複雑な形をしているが、特殊な場合は簡単な形になる。

(i) フラズマ断面積 A やコイルの断面積に比べて小さく、かつフラズマ中に磁界がない $\beta = 1$ ときで、圧縮波による断面積変化が大きければ、その伝搬速度は

$$V_0^2 = \left(r \frac{P_0}{P_0} \right) \left[\frac{1}{r} \frac{A_1}{A_0} \left(\frac{A_1 + A_0}{A} \right) \right] \quad (7-14)$$

となり、とくに "Area Shock" と呼ぶ。

(ii) また、フラズマ断面積の変化が比較的小さい、 $A_1 \approx A_0$ のときであると

$$V_0^2 = \left(r \frac{P_0}{P_0} \right) \left[\frac{\beta + (1-\beta)z}{\beta + (1-\beta)z + (\beta/2)(z-1)} \right] \quad (7-15)$$

となる。これは別に "Weak Shock" と呼ぶ。

また、圧縮波通過とともに温度上昇を予想されるが、理論では

$$\frac{T_1}{T_0} = 1 + \left(\frac{r-1}{2r} \right) \left(\frac{1}{P_0 A_0} + \frac{1}{P_1 A_1} \right) \left[P_0 \frac{(A^2 - A_0^2)}{A} \right] \quad (7-16)$$

として求められる。しかし現実のフラズマではわざわざあることが多く、

次にコイル終端からのフラズマ流出によって生じられる膨張波に関しては、フラズマの軸方向への一次元の流れとして、J.A. Wesson が解析し、その伝搬速度を求めている。(9)



この考え方は、第5-35図で示したモデルを使う。断面積 A_W のコイル中にあるプラズマはコイル終端よりの粒子損失で密度が減少する。このとき半径方向には圧力平衡が成立しているので、プラズマの断面積は A_0 から A へ減少する。この変化が軸方向へ伝搬していくのである。前述した圧縮波の解析では保存則を使って求めたが、今の場合、軸方向と時間 t の変数として各量をとり扱う。

外部磁場の磁束 ϕ_e 、プラズマ中の磁束 ϕ_i は、変数 x, t について一定であると仮定する。この現象を記述する基礎方程式は次の4つである。

○ 半径方向の圧力平衡の式

$$P + \frac{\phi_i^2}{2\mu_0 A^2} = \frac{\phi_e^2}{2\mu_0 (A_W - A)^2} \quad (7-17)$$

P : プラズマ圧力

→ 軸方向へのプラズマ流について、連続の式が成立する

$$\frac{\partial}{\partial t} (\rho A) + \frac{\partial}{\partial z} (\rho A V) = 0 \quad (7-18)$$

○ 軸方向への運動方程式

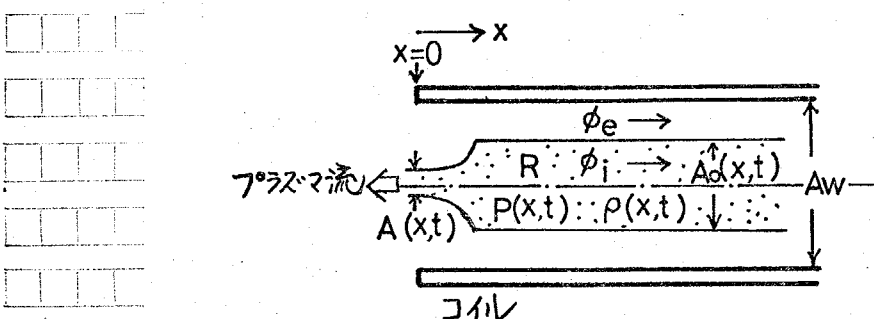
$$\frac{\partial V}{\partial t} + V \frac{\partial V}{\partial z} + \frac{1}{\rho} \frac{\partial P}{\partial z} = 0. \quad (7-19)$$

V : プラズマ流の速度

○ 断熱変化と考え

$$P P^{-r} = \text{const.} \quad (7-20)$$

r : 比熱比



第5-35図 膨張波のモデル

今ラムダ断面積とコイル断面積に較べて小さいとする。つまり $A_w \gg A_0$
このときパラメータ $\xi = x/t$ を考えると、 ξ は観測者が測定できる波面の
速度となる。

$$V - \xi = -C \quad (7-21)$$

とおくと、 V, C は (7-17) や (7-20) までの方程式を解くことによって

$$V = -S \int_{\sqrt{1-\beta}}^{\xi} \left\{ \frac{1 + (\frac{2}{r}-1)x^2}{(1-x^2)^{\frac{r+1}{r}}} \right\}^{\frac{1}{2}} dx \quad (7-22)$$

$$C = S \left\{ \frac{x^2(1-\beta^2)^{\frac{r-1}{r}}}{1 + (\frac{2}{r}-1)\beta^2} \right\}^{\frac{1}{2}} \quad (7-23)$$

として求められる。 $x = t \xi$ でし
 $\xi^2 = (1-\beta) \left(\frac{A_0}{A} \right)^2$ (7-24)

$$\beta^2 = \frac{2P_0}{P_0} \beta \frac{1-\beta}{r} \quad (7-25)$$

$$\beta = \frac{2M P_0 (A_w - A)}{\phi_e} \quad (7-26)$$

さて、 $\beta \approx 1$ の場合を考えると (7-24) や、 $x \ll 1$ となるので (7-22)(7-23)
の右辺は近似計算ができる

$$V \approx -S \left\{ x + \frac{1}{2r} x^3 + \dots - (1-\beta)^{\frac{1}{2}} \dots \right\} \quad (7-27)$$

$$C \approx S \left(x - \frac{1}{2r} x^3 + \dots \right) \quad (7-28)$$

となる。これらを (7-21) へ代入すると次となり、 ξ は

$$\xi = \left\{ (1-\beta)^{\frac{1}{2}} - \frac{1}{r} x^3 \right\} S \quad (7-29)$$

として求められる。

$\beta \approx 1$ で $x \ll 1$ を考えると膨張波の波面の速度は



$$\left\{ \frac{2}{r} (1-\beta) \frac{r P_0}{P_0} \right\}^{1/2} \quad (7-30)$$

である。さらにプラズマ断面積の時間 t , 位置 z に関する変化は

$$\frac{A(z,t)}{A_0} = \left\{ \frac{(1-\beta)/r}{1 - \frac{1}{(1-\beta)^2} \frac{z}{ts}} \right\}^{1/2} \quad (7-31)$$

圧力の変化は

$$\frac{P(z,t)}{P_0} = \frac{1}{\beta} (1 - x^2) \quad (7-32)$$

○ とつなっている。

コイル終端から発生した密度変化の伝搬は、粒々損失と関係あるばかりでなく、安定性の点からも問題がある。多くの場合、こうした不均一性の伝搬およびコイル中央部での衝突は、安定なプラズマ柱の崩壊へと導く。

さて (7-9) 式によって圧縮波モードの面積波の伝搬速度が関係づけられた。5章の実験で求められた軸方向現象の速度は、

300 mTorr He での第2半波 ----- 5 cm/ μ sec

100 mTorr He で、順ベイアス

磁界をかけた第2半波 ----- 6.2 cm/ μ sec

であった。とくに 300 mTorr の場合、第5-8 図のように立体的な撮影法により、プラズマ形状を詳細に得ているので、各部の断面積を評価できる。

データコイルの断面積, $A = 47.5 \text{ cm}^2$, 圧縮波がまだ伝搬してきてないコイル中央部付近のプラズマ柱の断面積, $A_0 = 4.2 \text{ cm}^2$, 圧縮波で増加した部分の断面積, $A_1 = 18.3 \text{ cm}^2$ が写真より求めた典型的な大きさである。これ

を見ると, $A \gg A_0$, A_1 はほぼ成り立っている。また圧縮波による変化が, A_1 と A_0 の比ととって、およそ 4.4 となり比較的大きい。このため (7-9) 式でなく、条件をつけて簡単な形にして (7-14) 式の "Area Shock" の速度が使える。(7-14) 中には音速の項が入っており、温度を知る必要がある。

温度はプラスマ層が半径方向へ圧縮される速度から、この圧縮による運動エネルギーがすべて熱エネルギーへ変換されたとして、およそ 30 eV が達成されていると考えられる。

$$\frac{\partial P_0}{P_0} = \frac{3kT_i}{M} \quad (7-33)$$

M: Heイオノの質量, R: ボルツマン定数
なので、伝搬速度の理論式は、

$$V_0 = \left\{ \frac{3kT_i}{M} \cdot \frac{A_1}{A_0} \cdot \frac{A_1 + A_0}{A} \right\}^{1/2} \quad (7-34)$$

とより、断面積、温度の実験値を入れて求めると $V_0 \approx 5 \text{ cm}/\mu\text{sec}$ と
なって実験値とよく一致する。

逆磁界のために生じた閉じた磁力線ループによる圧縮波は、J.B. Taylor の導出した速度の式に従うこと確かめられた。この式から判るようにイオン温度の上昇とともに速度は増加していく。初気圧を下げて 100 mTorr の場合、速度が増加して 6.2 cm/ μsec となるのは、達成されたプラスマ柱の温度が
高くなつたためで、初気圧を下げるほど得られる温度が高くなるという一般的な概念と矛盾しない。

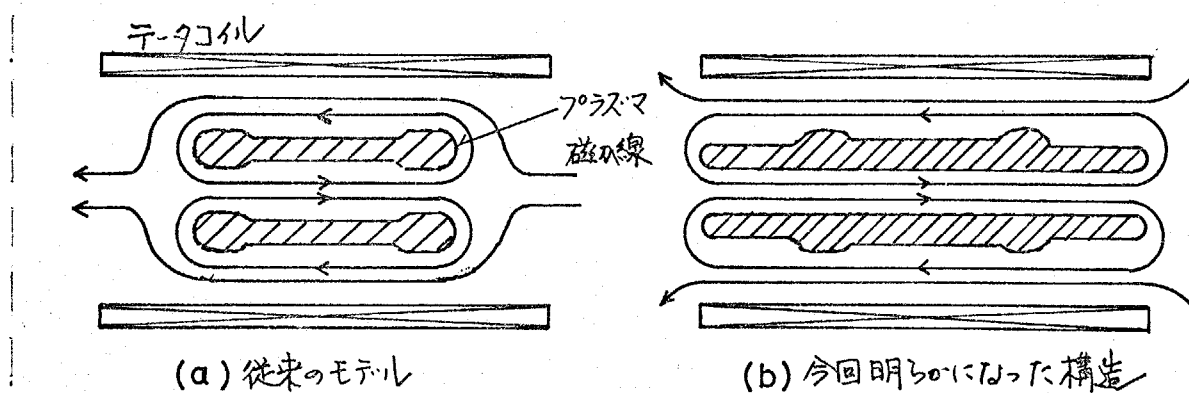
しかし、逆磁界があるために必然的にひきおこさゆるこうした軸方向現象は、コイル中央部まで到達することで、プラスマ柱全体が不安定になり、しかもその成長時間が温度上昇とともに短くなるので、プラスマ柱にとっては致命的である。これに反し、逆磁界のないとき伝搬する膨張波は (7-30) の通り、温度上昇とともに速度の式中に増大する因子もあるが、 $(1-\beta)$ の項があるため、温度を上げて β に近づければ伝搬速度の増加の割合は鈍化する。

ここで、これまで得られた実験結果をもとに、逆磁界が閉じこめられて、
るデータヒュニチプラスマにおける軸方向現象、すなわち面積波(圧縮波)の構造について議論してみることにする。この問題の実験結果は 5.3 および 5.7

について述べた。

圧縮波はこれまで、第5-36図(a)に示すように閉じた磁力線ループによってプラズマ柱全体がとりかこまれて、軸方向に収縮するものと考えられてきた。しかし、第5-10図に示した磁束密度の軸方向分布をみると圧縮波がコイル中央部で衝突したときでも、コイル内の広い領域にわたって逆磁界がプラズマによって閉じこめられていて、またプラズマ柱の軸方向の形状を高速度カメラで駆撮りによって観測すると、プラズマ断面積の増加した部分が伝搬していく後で、プラズマ柱の存在しているのが判った。このような実験事実から、圧縮波の構造はプラズマの一部が運ばれるのであり、それにより密度増加つまり断面積の変化が軸方向に伝搬するものである。これは従来の考え方とまったく異なっている。この様子を第5-36図(b)に図示した。

次に圧縮波の発生について考えてみる。5.7でい3.3の条件のもとでのデータをニチプラズマの軸方向現象を高速度カメラで流し撮りによって観測した。逆磁界が閉じこめられていても、圧縮波が伝搬するときと伝搬しない場合があった。圧縮波の発生は、その構造からみてプラズマ内筒内に閉じこめられた磁束と深い関係があると考えられる。そこで第2半波に閉じこめられた逆磁界の大きさを磁気探針で求めた結果から、磁束として求めた結果。第2半波時の圧縮初期においてプラズマ内に閉じこめられている磁束を、い3.3の場合についてまとめたのが次の表である。



第5-36図 圧縮波の構造

条件

フロラスマ円筒内に閉じこめられた
磁束 ϕ (逆磁界)

- (1) 初気圧 300 mTorr
- (2) 初気圧 100 mTorr で順バイアス磁界
- (3) " " 逆バイアス磁界
- (4) " " バイアス磁界なし

0.84×10^{-3} Wb
 1.1×10^{-3} Wb
 0.40×10^{-3} Wb
 0.51×10^{-3} Wb

このうち圧縮波の伝搬がみられたのは、(1)と(2)の場合であった。これを見ると、圧縮初期に大きな逆磁界があると圧縮波が発生し伝搬する。フロラスマが半径方向に最大圧縮されたときの、フロラスマ円筒内にある逆磁界の磁束密度の大きさには圧縮波の発生と関係があるかった。(第5-26, 5-27 図参照)
 つまり圧縮波は逆磁界があるかあるいは発生し伝搬するのではなく、ある大きさ以上の逆磁界が、半径方向への圧縮過程の初期に閉じこめられてなければならぬ。筆者の実験では、フロラスマ円筒内にある磁束が 0.8×10^{-3} Wb 以上であれば圧縮波の伝搬がみられた。

第6章 逆磁界が半径方向運動に与える効果についての数値解析

6.1 はじめに

第5章では、逆磁界を用いて plasma が半径方向へ圧縮されるとき、その運動を主に磁界 (B_z) の空間的、時間的变化として、磁気探針によって測定した。逆磁界があると、それがない場合と較べ大きな反応がみられた。そこで本章では、plasma の半径方向運動を電磁流体力学方程式にまとめて数値的に解き、次のことがらを検討する。

(a) バイアス磁界の方向によって生じた磁界分布の差の原因。

(b) 逆磁界が電子温度、イオン温度に与える効果。

これらを検討した後、逆磁界が η -ターピンチの半径方向運動へおよぼす効果についての結論を導く。

6.2 plasma の過渡現象と電磁流体力学方程式

η -ターピンチで plasma が半径方向へ圧縮される過程は過渡現象である。一般に、plasma の諸現象を数学的にとり扱うため、対象としている現象の特徴的な時間、空間尺度とともに $3 \sim 3$ のモデルとなる。それからそのモデルを記述する方程式を解いていく。現在、大きく分けて二つの考え方がある。粒子間の衝突がきわめて多く、イオン、電子とも連続流体として扱える場合、電磁流体力学方程式と、クーロン衝突のような二体衝突が希である無衝突 plasma では Vlasov 方程式を使う。現象の変化が時間的にゆるやかな場合、あるいは $e^{-i(\omega t + k_r r)}$ と表わせるようないじょう乱を取扱う場合には、解析的方法もある程度有效である。

ところが、衝撃波のように急激な時間、空間変化をとがなう現象では事情が大きく変わってくる。さらに高ベータ plasma では、その発生において、一度は必ず時定数の短い、非定常過程を経る。また装置の性質上、パルス的

反転をせざるえないため、すべての変数が時間関数となっている。このような場合へ電磁流体力学方程式を適用するには、数值解析の手法を借りなければ進まないことが多い。⁽⁴⁵⁾

これまでの物理学あるいは工学では、ほとんどの現象はすべて定常的か、それに近いものとして考え、数多くの理論体系と技術の確立をなしてきました。しかし、この定常状態にいたるまでの非定常過程は、時変数が入るために取扱いも複雑になるので、十分な議論が行なわれてきていない。ところが、近年の大型電子計算機の発達により、複雑な方程式を数值的に解くのに多大の努力が必要としなくなった。そのため非定常過程の理論的研究は、それほど非観的なものではなくなってきた。プラズマ物理学の分野でも、種々の放電現象、アーカー、あるいは核融合など、それそれの場合における過渡現象の研究は、まだよくなされていないようである。

本研究で対象としたデータヒニチプラズマは、粒子同志の衝突がないので、電磁流体力学方程式を適用する。電磁流体力学方程式は、非線型双曲型の偏微分方程式である。常微分方程式の数值解析については、従来、数多くの数学的検討が加えられ、Runge-Kutta法、Newton法など、精度良く解を求める方法も確立されており。しかし、偏微分方程式については、体系づけられた数值解析の理論が不十分であり、実際に方程式を数值的に解く場合でも数学的基礎のあるのは少ない。⁽⁴⁶⁾

電磁流体力学方程式を使って、プラズマのヒニチ現象を数值的に解くことは、K. Hainら⁽⁴⁷⁾が最初に成功した。その後改良が加えられ、Hain-Roberts codeとしてまとめられている。この方法による数值解と実験との比較検討も各国で行なわれ、実験と良く一致するのが確かめられている。信頼度のきめめて高いこの方法は、データヒニチを研究するに際して精密な一つの測定器とみなせる。高温プラズマの分野でも、計算機を使ったシミュレーションは、実験技術とならんで、ほぼこの位置を確立しつつある。方程式にとつて數値的に解っていくのに、現実のプラズマ中で起っている現象とうまく



記述する項を加えなければならぬことである。たゞ単に電磁流体力学方程式を差分式へ変換して計算すればよのではない。実験のうらづけのない計算機実験は誤った解釈をまねく可能性があることに注意しておくべきである。

この章では今述べた Hain-Roberts code にその原理をおく方法を使う。⁽⁴⁸⁾

6.3 基礎方程式と差分法

計算によって求めようとするのは、軸方向磁界 B_Z と方位角方向の電流 J_θ のローレンツ力によつて、プラズマが半径方向へビニチしていく運動である。計算では、プラズマが軸方向に一様であり、方位角方向にも変化はないとして仮定する。実際のデータビニチでは、コイルが有限なために、コイル終端からプラズマの不均一性軸方向へ伝搬していく。しかし、今考えている圧縮過程の間に、コイル中央部へはそれらがまだ伝わってきていないと考えてよい。方位角方向の変化を考えなのは、コイルが直線状であるため、トーラス状にした場合、この仮定は成立しない。これらの仮定から、方程式は空間的変数が半径 r だけの一次元となる。

コイルが有限長であるため、軸方向の現象まで考える必要から (r, z) の三次元系における計算法も研究されていく。現在、その手法は確立されたようである。境界条件、差分法は、一次元とくらべ複雑である。⁽⁴⁹⁾

最初に述べた仮定から、磁力線方向への熱伝導は考える必要がない。プラズマからの光の反射による損失も考えない。プラズマは最初完全電離しており、中性原子はないとして仮定する。つまり完全電離したプラズマに、外部から圧縮磁界が加わると考えていい。もし完全電離でないとしたら、中性原子の電離、再結合についての考慮をはらむければならない。⁽⁵⁰⁾

イオン、電子の二流体を考える。準中性の仮定が成立するとし、電子密度、イオン密度が等しく、イオン、電子の半径方向速度も等しい。解を求めるに、变数は、軸方向磁界 B_Z 、イオン温度 T_i 、電子温度 T_e 、粒子数密度 n 、流体の

半径方向速度 u , の5個である。これらを支配する基礎方程式は、連続の式、運動方程式、電子、イオンそれぞれのエネルギー方程式、磁界の誘導方程式である。ショール加熱は電子の、衝撃波加熱はイオンの温度上昇をもたらす。

円筒座標系で、電磁流体力学方程式の半径方向成分だけをとると、今述べた5つの基礎方程式は、

$$\frac{\partial n}{\partial t} + \frac{1}{r} \frac{\partial}{\partial r} (r u n) = 0 \quad (6-1)$$

$$\rho \left(\frac{\partial}{\partial t} + u \frac{\partial}{\partial r} \right) u = - \frac{\partial}{\partial r} \left(P + \frac{B_z^2}{8\pi} \right) \quad (6-2)$$

$$\begin{aligned} \left(\frac{\partial}{\partial t} + u \frac{\partial}{\partial r} \right) T_e &= -(r-1) T_e \operatorname{div} \mathbf{u} + \frac{r-1}{n\gamma} \frac{1}{r} \frac{\partial}{\partial r} (\kappa_e r \frac{\partial T_e}{\partial r}) \\ &\quad + (r-1) \frac{1}{n} \varepsilon_j - \frac{T_e - T_i}{t_{\text{cog}}} \quad (6-3) \end{aligned}$$

$$\begin{aligned} \left(\frac{\partial}{\partial t} + u \frac{\partial}{\partial r} \right) T_i &= -(r-1)(T_i + g_i) \operatorname{div} \mathbf{u} + \frac{r-1}{n\gamma} \frac{1}{r} \frac{\partial}{\partial r} (\kappa_i r \frac{\partial T_i}{\partial r}) \\ &\quad + \frac{T_e - T_i}{t_{\text{cog}}} \chi \quad (6-4) \end{aligned}$$

$$\frac{\partial B_z}{\partial t} = \frac{1}{r} \frac{\partial}{\partial r} r \left(\frac{C^2}{4\pi} \gamma \frac{\partial B_z}{\partial r} - u B_z \right) \quad (6-5)$$

となる。

ここで、 ρ は密度で、イオン、電子の質量をそれぞれ m_i, m_e とおくと、 $\rho = n(m_e + m_i)$ 、 P は圧力で $P = n(\gamma T_e + T_i + g_i)$ 、 γ はイオンの原子価、今ヘリウムを使ってるので $\gamma = 2$ である。 χ は比熱比である。

以上の衝撃波の効果を表わすための人工的粘性項である。これは通常の電磁流体力学方程式にはないが、数値計算をするときに必要となってくる。この粘性項については Richtmyer によって数学的検討が加えられている。衝撃波を表現するのに、この方法以外に Friedrichs-Lax の方法、Lax-

Wendroff の方法, Godunov の方法などと提案されている。プラズマのビン干現象では, この Von-Neumann-Richtmyer の人工的粘性項が使われる。

その具体的な形としては,

$$\left\{ \begin{array}{l} g_i = \alpha^2 (m_i + Z m_e) \Delta r^2 (\operatorname{div} U)^2 \quad \operatorname{div} U < 0 \\ g_i = 0 \quad \operatorname{div} U > 0 \end{array} \right. \quad (6-6)$$

である。プラズマが半径方向に圧縮されるときは, $\operatorname{div} U < 0$ である。膨張す

る場合, $g_i = 0$ となる。 $\alpha^2 (m_i + Z m_e) \Delta r^2$ が人工的粘性項の大きさを決める。

最適は, 電気抵抗, 半径方向へ磁界を横切る電子, イオニの熱伝導を考え
ており, それらの係数と α , k_e , k_i とした。

シーケル加熱による電子の温度上昇を, ε_j として式中に入れた。

$$\varepsilon_j = 2 J_0^2 \quad (6-7)$$

であり, 倍流密度 J_0 は Maxwell の方程式から

$$J_0 = - \frac{c}{4\pi} \frac{\partial B_\theta}{\partial r} \quad (6-8)$$

クロン対数 $\ln \Lambda$, エネルギ等配時間 t_{ef} は Spitzer の式から次の
ようになる。クロン対数は, 低温, 高密度になると理論が成り立たず $T_e < T_i$
ために, その値を求められない。電子温度が 50 eV より高くなると, 低, 場
合とで式の形は変ってくる。

$$\ln \Lambda = \ln \left\{ \left(\frac{3m_e}{\pi n_e} \right)^{1/2} \frac{\alpha c}{e^3} \frac{T_e}{Z^{3/2}} \right\} \quad T_e \geq 50 \text{ (eV)} \quad (6-9)$$

$$\ln \Lambda = \ln \left\{ \left(\frac{1}{\pi n_e} \right)^{1/2} \frac{3}{2e^3} \frac{T_e^{3/2}}{Z^{3/2}} \right\} \quad T_e < 50 \text{ (eV)} \quad (6-10)$$

$$t_{ef} = \frac{3}{8} \cdot \frac{m_e A}{(2\pi m_e)^{1/2} e^4 Z} \frac{(m_e T_i + T_e)^{3/2}}{n \ln \Lambda} \quad (6-11)$$

ここで m_A は原子質量、 A は質量数、 α は微細構造定数と呼ばれるもので、
 $\alpha = 2.29697 \times 10^{-3}$ の値をもつ。 c は真空中の光速度である。

電気抵抗、電子、イオンの熱伝導率は S.I. Braginskii による式を使う。⁽⁴⁾

$$\gamma = \frac{4}{3} \frac{(2\pi m_e)^{1/2} e^2 Z^2}{\alpha_0} \frac{\ln \Lambda}{T_e^{3/2}} (1 + \delta \gamma) \quad (6-12)$$

ここで

$$\delta \gamma = \frac{1}{\alpha_0} \left(1 - \frac{\alpha'_0 X^2 + \alpha'_0}{\Delta_e} \right)$$

$$X^2 = (\omega_e T_e)^2 = \frac{9}{32} \frac{B_z^2 T_e^3}{\pi m_e (c e^3 Z^2)^2} \frac{1}{(n \ln \Lambda)^2}$$

$$\Delta_e = X^4 + \delta \gamma X^2 + \Theta_0$$

ω_e は電子のサイクロotron 周波数、 T_e は電子の衝突時間である。

電子の熱伝導率は

$$\kappa_e = \frac{n T_e T_e}{m_e} \frac{r'_0 X^2 + r'_0}{\Delta_e}$$

$$= \frac{1}{4(2\pi m_e)^{1/2} Z e^4} \frac{T_e^{5/2}}{\ln \Lambda} \frac{\alpha'_0 X^2 + r'_0}{\Delta_e} \quad (6-13)$$

イオニの熱伝導率は

$$\kappa_i = \frac{n T_i T_i}{m_i} \frac{2y^2 + 2.645}{\Delta_i}$$

$$= \frac{1}{4(A m_A \pi)^{1/2} Z^3 e^4} \frac{T_i^{5/2}}{\ln \Lambda} \frac{2y^2 + 2.645}{\Delta_i} \quad (6-14)$$

$$y^2 = \omega_i T_i$$

$$= \frac{9}{16} \frac{1}{m_A A Z^6 \pi (c e^3)^2} \frac{B_z^2 T_i^3}{(n \ln \Lambda)^2}$$

$$\Delta_i = y^4 + 270 y^2 + 0.677$$

ω_i はイオンのサイクロトロン周波数, τ_i はイオンの衝突時間である。

以上の式中にある $a_0, a_1, \alpha_0, \alpha_1$ の係数は原子価 Z の関数であって、
12 価のヘリウムの場合、

$$\alpha_0 = 0.4408, \quad \alpha_1' = 5.523, \quad \alpha_0' = 0.5956$$

$$\alpha_1' = 3.957, \quad \beta_0' = 5.118,$$

$$\beta_0 = 1.0465, \quad \delta_1 = 10.80,$$

である。

電気抵抗は非常に重要な役割を果す。粒子間の衝突が多く、電磁流体近似があてはまる場合、古典的な Spitzer の電気抵抗である。しかし流体模型を使って、無衝突に近いプラズマのヒニチ現象を数値解析する場合、古典的な電気抵抗の式が適用できない。データヒニチと低、初気圧で行なうと、その圧縮過程では粒子の集団的な協同現象にもとづく、波と粒子の相互作用があり、異常に大きな電気抵抗をもつことが実験的に確かめられている。このような現象を計算に反映させるには、新たに項を付加するか、あるいは電気抵抗それ自身の値を操作する方法が考えられる。現在、電気抵抗の値を修正して計算値と実験結果の検討が行なわれているようである。実際的な例を述べてみよう。低い初気圧としたときの圧縮過程で、電子温度がイオン温度よりも高くなり、イオン音波が励起されることがある。このイオン波によって電子が散乱されると電気抵抗が異常に高くなる。これを電気抵抗をあらわす式中に、電子とイオンの衝突時間の修正という形で導入する。⁽²³⁾

$$T^* = \frac{1}{\omega_{pi}} \left(\frac{T_i}{T_e} \right) \frac{V_{the}}{U} \quad (6-15)$$

V_{the} は電子の熱運動速度、 U はイオン電子のドリフト速度、 ω_{pi} はイオンプラズマ振動数である。これから行なうとする計算では、この考慮はいらぬ。

これまでプラズマと記述する基礎方程式をすべて説明した。次に (6-1) から

方程式番号	方程式
(6-1)	$\partial_t n_i + \nabla \cdot (n_i \mathbf{v}_i) = -n_i \nabla \cdot \mathbf{F}_i - n_i \nabla \cdot \mathbf{E}_i - \nabla \cdot (n_i \mathbf{J}_i)$
(6-2)	$\partial_t \mathbf{v}_i + \mathbf{v}_i \cdot \nabla \mathbf{v}_i = -\frac{e}{m_i} \mathbf{E}_i - \frac{e}{m_i} \mathbf{v}_i \times \mathbf{B}_i - \frac{e}{m_i} \mathbf{F}_i - \frac{e}{m_i} \nabla \phi_i - \frac{e}{m_i} \nabla \cdot \mathbf{B}_i$
(6-3)	$\partial_t \mathbf{B}_i + \mathbf{v}_i \times \nabla \mathbf{B}_i = \mu_0 \epsilon_0 \nabla \times (\mathbf{E}_i + \mathbf{v}_i \times \mathbf{B}_i)$
(6-4)	$\partial_t \phi_i + \mathbf{v}_i \cdot \nabla \phi_i = -\frac{e}{m_i} \nabla \cdot \mathbf{E}_i$
(6-5)	$\partial_t \mathbf{J}_i + \nabla \cdot \mathbf{J}_i = \sigma_i \mathbf{E}_i$
(6-6)	$\partial_t \mathbf{F}_i + \mathbf{v}_i \cdot \nabla \mathbf{F}_i = -\sigma_i \mathbf{J}_i - \eta_i \mathbf{J}_i$
(6-7)	$\partial_t \mathbf{E}_i + \mathbf{v}_i \cdot \nabla \mathbf{E}_i = -\sigma_i \mathbf{F}_i - \eta_i \mathbf{F}_i$
(6-8)	$\partial_t \mathbf{B}_i + \mathbf{v}_i \cdot \nabla \mathbf{B}_i = \mu_0 \epsilon_0 \nabla \times (\mathbf{E}_i + \mathbf{v}_i \times \mathbf{B}_i)$
(6-9)	$\partial_t \phi_i + \mathbf{v}_i \cdot \nabla \phi_i = -\frac{e}{m_i} \nabla \cdot \mathbf{E}_i$
(6-10)	$\partial_t \mathbf{J}_i + \nabla \cdot \mathbf{J}_i = \sigma_i \mathbf{E}_i$
(6-11)	$\partial_t \mathbf{F}_i + \mathbf{v}_i \cdot \nabla \mathbf{F}_i = -\sigma_i \mathbf{J}_i - \eta_i \mathbf{J}_i$
(6-12)	$\partial_t \mathbf{E}_i + \mathbf{v}_i \cdot \nabla \mathbf{E}_i = -\sigma_i \mathbf{F}_i - \eta_i \mathbf{F}_i$
(6-13)	$\partial_t \mathbf{B}_i + \mathbf{v}_i \cdot \nabla \mathbf{B}_i = \mu_0 \epsilon_0 \nabla \times (\mathbf{E}_i + \mathbf{v}_i \times \mathbf{B}_i)$
(6-14)	$\partial_t \phi_i + \mathbf{v}_i \cdot \nabla \phi_i = -\frac{e}{m_i} \nabla \cdot \mathbf{E}_i$
(6-15)	$T^* = \frac{1}{\omega_{pi}} \left(\frac{T_i}{T_e} \right) \frac{V_{the}}{U}$

(6-5)までの式を差分式で書きあらわし、初期値境界値問題として解く順を説明する。

差分式におす前に、差分法と安定性の問題、電磁流体力学方程式を Euler 形のままで解くか、Lagrange 形として解くかとの検討としておく。実験室系の座標で考える Euler 形は、直観的に非常に理解し易い。しかし、 $(\partial/\partial t + \mathbf{V} \cdot \nabla)$ の項と食むため取扱いが複雑であり、安定な解も得にくく。一方、流体について座標で考える Lagrange 形式は、 $(\mathbf{V} \cdot \nabla)$ の項がなく、安定性も比較的よく保証される。また、方程式が簡単な形に変形でき、保存形の方程式に帰着できる利点もある。

陽形式で解くか、陰形式で解くかも重要である。陽形式の場合、時間、空間のさきみ Δt , Δr の間に

$$\left| \frac{\partial}{\partial t} \right| < \left| \frac{\partial}{\partial r} \right| \quad (6-16)$$

の関係が常に成りたってないと、不安定となって解は求まらない。これは Von-Neumann の条件と呼ばれている。ここでひは考えて、現象の特徴的速度である。データセンサの問題では、音速 C_s とアルヴェン速度 V_A の合成速度、 $v = (C_s^2 + V_A^2)^{1/2}$ とする。この方法は、 Δt , Δr を適宜変化させたりとせず、(6-16) 式の条件にあうようにしておかねばならないので不便である。陰形式ではこの問題なく、安定性は必ずしも保証されている。そのため本章の計算は陰形式とする。なお、さわめて圧縮速度の速いデータセンサについての計算では、陽形式の方法でも安定な解が得られるところ報告もあるが、今回、それは確かなかった。

さて、Euler 形式 (r, t) から、Lagrange 形式 (X, t) への変換は

$$\frac{\partial}{\partial t} = \frac{\partial}{\partial t} + \frac{\partial r}{\partial t} \frac{\partial}{\partial r} \quad (6-17)$$

$$u = \frac{\partial r}{\partial t} \quad (6-18)$$

$$n \frac{\partial}{\partial x} = \frac{1}{r} \frac{\partial}{\partial r} \quad (6-19)$$

として行なわれる。さらに変換された方程式を無次元化していく必要がある。
そのため、特徴的な尺度を、半径、温度、粒子密度、磁束密度、速度について、
 $R, T_0, n_0, t_0, B_0, u_0$ とおく。こうして、Lagrange形式で書いた無
次元化された基礎方程式は、

$$\frac{\partial n}{\partial t} = -n \operatorname{div} \mathbf{u} \quad (6-20)$$

$$\frac{\partial r}{\partial t} = u \quad (6-21)$$

$$\frac{\partial \mathbf{u}}{\partial t} = -r \frac{\partial}{\partial x} \left\{ C_1 n (Z T_e + T_i + g_i) + C_2 B_z^2 \right\} \quad (6-22)$$

$$\frac{\partial T_e}{\partial t} = -(r-1) T_e \operatorname{div} \mathbf{u} + \frac{\partial}{\partial x} \left(\kappa_e \frac{\partial T_e}{\partial x} \right) + \frac{\epsilon_j}{t_{eg}} - \frac{T_e - T_i}{t_{eg}} \quad (6-23)$$

$$\frac{\partial T_i}{\partial t} = -(r-1)(T_i + g_i) \operatorname{div} \mathbf{u} + \frac{\partial}{\partial x} \left(\kappa_i \frac{\partial T_i}{\partial x} \right) + Z \frac{T_e - T_i}{t_{eg}} \quad (6-24)$$

$$\frac{\partial B_z}{\partial t} = -B_z \operatorname{div} \mathbf{u} + n \frac{\partial}{\partial x} \left(\eta \frac{\partial B_z}{\partial x} \right) \quad (6-25)$$

となる。式中 各変数は (6-17)～(6-19) 式による変換後、無次元化した新ら
いものである。また変数以外の係数は

$$C_1 = \frac{T_0}{m_A u_0^2} \frac{1}{A + Z \frac{m_e}{m_A}} \quad (6-26)$$

$$C_2 = \frac{B_0^2}{8\pi n_0 m_A u_0^2} \frac{1}{A + Z \frac{m_e}{m_A}} \quad (6-27)$$

$$\operatorname{div} \mathbf{u} = n \frac{\partial}{\partial x} (r u) \quad (6-28)$$

$$\frac{t_{\text{eq}}}{\delta} = \frac{3}{8} \frac{m_A T_0^{3/2}}{(2\pi m_e)^{1/2} e^4 n_0} \frac{A}{Z^2} \frac{\left(\frac{m_e T_i}{A m_A} + T_e\right)^{3/2}}{n \ln \Lambda} \quad (6-29)$$

$$\bar{Z} = \left(\frac{2m_e}{\pi C_0}\right)^{1/2} \frac{(ec)^2 t_0}{3R^2} \alpha_0 Z^2 \frac{\ln \Lambda}{T_e^{3/2}} n r^2 (1 + \delta \gamma) \quad (6-30)$$

$$\frac{1}{k_c} = \frac{T_0^{5/2} t_0}{4(2\pi m_e)^{1/2} R^2 e^4 n_0} \frac{r-1}{Z^2} \frac{n/x^2 + r_0'}{\Delta_e} \frac{T_e^{5/2}}{\ln \Lambda} n r^2 \quad (6-31)$$

$$\frac{1}{k_i} = \frac{T_0^{5/2} t_0}{4(\pi m_A A)^{1/2} R^2 e^4 n_0} \frac{r-1}{Z^2} \frac{2y^2 + 2.6\Delta_e^2}{\Delta_i} \frac{T_i^{5/2}}{\ln \Lambda} n r^2 \quad (6-32)$$

$$\frac{1}{\xi_j} = \frac{B_0^2 (r-1)}{4\pi n_0 T_0} \gamma \left(\frac{\partial B_0}{\partial x}\right)^2 \quad (6-33)$$

$$g_i = \bar{Z}^2 \left(\frac{\Delta r^2 m_A U_0^2}{R^2 T_0^2} \right) \left(A + \frac{m_e}{m_A} Z \right) \frac{\operatorname{div} U - |\operatorname{div} U|}{Z} \frac{1}{\operatorname{div} U} \quad (6-34)$$

とつながっている。

(6-20) 式から (6-25) 式までに含まれている未知数は、 U, T_e, T_i, B_0, r, n の 6 個である。これらの未知数を今、 W で代表させると、基礎方程式はすべて

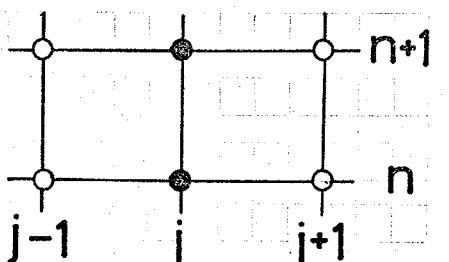
$$\frac{\partial W}{\partial t} = aW + b \frac{\partial}{\partial x} \left(c \frac{\partial W}{\partial x} \right) + d \quad (6-35)$$

の一般形で表わせる。ここで a, b, c, d 自身も W の関数となっている。

この形をした方程式を差分式に直す。それには Crank-Nicolson 法を使つた。この方法は、化学工学等で長時間にわたる反応の計算によく使われてゐる。

時間のきざみ巾を Δt とすれば、任意の時刻を $n\Delta t$ (n は整数) として表わせる。

空間的には $\Delta_j^n X = X_{j+1}^n - X_j^n$ のきざみ巾でとつていく。



□ (6-35) 式を今述べた方法で差分式にまとめると

$$\begin{aligned} \frac{W_j^{n+1} - W_j^n}{\Delta j} &= \frac{a_j^{n+1} W_j^{n+1} + a_{j-1}^n W_j^n}{\Delta j} \\ &+ \frac{1}{2} \left[\frac{b_j^{n+1}}{(\Delta_j^{n+1} X + \Delta_{j-1}^{n+1} X)/\Delta j} \left\{ \frac{C_{j+1}^{n+1} + C_j^{n+1}}{\Delta_j^{n+1} X} \frac{W_{j+1}^{n+1} - W_j^{n+1}}{\Delta_j^{n+1} X} - \frac{C_j^{n+1} + C_{j-1}^{n+1}}{\Delta_{j-1}^{n+1} X} \frac{W_{j+1}^{n+1} - W_{j-1}^{n+1}}{\Delta_{j-1}^{n+1} X} \right\} \right. \\ &\left. + \frac{b_j^n}{(\Delta_j^n X + \Delta_{j-1}^n X)/\Delta j} \left\{ \frac{C_{j+1}^n + C_j^n}{\Delta_j^n X} \frac{W_{j+1}^n - W_j^n}{\Delta_j^n X} - \frac{C_j^n + C_{j-1}^n}{\Delta_{j-1}^n X} \frac{W_j^n - W_{j-1}^n}{\Delta_{j-1}^n X} \right\} \right] \\ &+ \frac{d_j^{n+1} + d_j^n}{\Delta j} \end{aligned} \quad (6-36)$$

である。

6.4 計算方法

□ 圧縮過程の計算は、電磁流体力学方程式と初期値、境界値問題として数値的に解くものである。そのため、初期値の設定、境界条件の選定には充分な注意が必要である。とくに境界条件の決め方にはいろいろ問題がある。現実のプラズマにむづむづ近い条件とすべきである。境界条件によって、計算自体が非常に複雑になるといわれている。

□ まず第1に、管壁付近にあるプラズマをどのようにとらかを考える。一つの考え方として、最初管内全体にあつた初期プラズマが、圧縮によってすべてひき集められるとする。このとき管壁にはプラズマがない、といふ境界条件になる。プラズマ柱の外側は真空になので、そこにおける磁束密度 B_ϕ を求める方程式がプラズマ中の場合と違ってくる。プラズマ柱外部では真空中に進行する磁界決定の式を使い、プラズマ内では誘導方程式を使う。このように二つの方程式をとらねばならないので、計算が複雑となる。

□ しかし、別の考え方として管壁付近には、プラズマがたまあって、壁面での温度、密度が一定に保たれているとする。この場合、管内全体にプラズ

マがあるので、磁束密度は一つの方程式でよいことになる。ここでの計算は、境界条件として後者の考え方を選んだ。つまり、管壁では電子温度、イオン温度、粒子数密度が初期に設定した値に常に保たれていたと考えた。

管壁での磁束密度だけが時間的に変化する。それは外部回路によって

$$B_z(t) = B_m \sin \omega t \quad (6-37)$$

として変化する。 B_m は最大磁束密度、 ω は放電電流の周波数である。磁界はコニデンサ放電によってつくられるので、正確には(6-37)式でなく、圧縮過程の時刻内では、その誤差は無視できよう。

初期条件は予備電離プラズマの状態とすればよい。しかし、実験では、予備電離プラズマの温度、密度について、その半径方向分布まで測定しているので、計算では温度、密度とも半径方向に一様な分布をしていろと想えた。バイアス磁場は実測によると、半径方向に一定の値、 $B_0 = \pm 0.013 \text{ WB/m}^2$ と見て分布していく。このため、今の仮定はそれほど無理なものではない。

これらの条件のもとで、(6-36)式に代表される、方程式(6-20)から(6-25)まじを初期値問題として、陰形式で解く手順は次のとおりである。

今、時間ステップ目の解が、 $W(n, j)$, $1 \leq j \leq j_{\max}$ で確定しておこうとする。これを次のステップの解 $W(n+1, j)$ と仮定する。つまり

$W(n+1, j) = W(n, j)$ としておく。次にこの $W(n, j)$ を差分式(6-36)へ実際に代入して、新たに $W(n+1, j)$ を計算する。これを $W_1(n+1, j)$ としておく。これと先に $(n+1)$ ステップ目の解として仮定した $W(n+1, j)$ の差をとる。

$$\varepsilon = |W_1(n+1, j) - W(n+1, j)| \quad (6-38)$$

この差 ε が、零であれば計算して $W_1(n+1, j)$ を $(n+1)$ ステップ目の解とする。しかし、現実には零にはならないのである値をもつ。そこで今後は $W_1(n+1, j)$

を使って、(6-36)式からまた新しい解 $\bar{W}_2(n+1, j)$ を計算する。それから差 $\varepsilon = |\bar{W}_2(n+1, j) - \bar{W}_1(n+1, j)|$ をとる。この手順を m 回くりかえして、ある定めた値以内の ε となつたときの $\bar{W}_2(n+1, j)$ を $(n+1)$ ステップ目^①の解とする。

これまで述べてきた方法そのままで、数値的不安定が起こって解を求められなく、ことが多々。いろいろな人によって、その対策がこれまでに考えられてきている。

衝撃波があるため、温度、密度、磁界は急激な変化をする。これに注意しないと解が不安定となる。それを防ぐために、運動方程式へ、Laxが考案した

$$\frac{(\Delta x)^2}{\Delta t} \frac{\partial^2 u}{\partial x^2} \quad (6-39)$$

なる項を加えた。

プラスマが半径方向へ圧縮されるについて、プラスマ柱の外側では粒子数密度は減少する。また磁束密度は増大していく。こゝとき、この領域で磁束密度 B_2 の解に数値的不安定性が生じ易くなる。これは、前に述べた Von Neumann の条件 $|v \cdot \Delta t / \Delta r| < 1$ が満足されないためである。 v はアルファエン速度 $v_A = B_2 / (\mu_0 m_i)^{1/2}$ を含んでいる。密度 n_e の減少、磁束密度 B_2 の増加は v_A の増大を引き起こし、この条件が成立しなくなる。この問題が生じないようにするため、Hain と Kolb は電気抵抗 γ に

$$A \cdot \frac{(B_j - B_{j-1})^2}{j} \gamma - p_j / p_{max} \quad (6-40)$$

なる項を加えることを提案した。^②ここで、 $A \sim 0.2$, $\gamma \sim 2000$, j は空間につてのステップ数, B_j , p_j は j 番目の磁束密度、密度である。 p_{max} は $1 \leq j \leq j_{max}$ の間での密度の最大値となる。ここでの計算では、この形を修正して、

$$\left| \frac{B_j^2 - B_{j-1}^2}{j} \right| \exp\left(-\frac{\delta_0 n_j}{n_{max}}\right) \quad (6-41)$$

の形で電気抵抗に加えた。値は(6-40)式とはほとんど変りがない。

くりかえし計算によって、差分がある値より小となつたときに解を決定する。しかし、この方法は真の解ではないもの同様の差分となるわけであるから、

小さくなつても真の解に近づいたものと断言できない。真の解への近づき方がゆるやかになってきたといつだけにはかならない。けれども、どうな

らてきたらは真の解に近づいたとして考えてよいであろう。当初 $\epsilon = 1.0 \times 10^{-5}$ と決めて、この値より小さくなつたら、時間の1ステップの計算を終らせた。ところが、それでは以後の計算が収束しなくなつたり、あるいはとはほぼ一定の値に落ちつかず、定めた値よりも小さくならなくなつたりして、解を得ることができなかつた。

差分がより小さい設定した値より、一度小さくなつたからといって解として認めて良いものではないことが判つた。くりかえし計算によって差分が單調減少していくのではなく、ある程度小さくなると振動的になる場合もある。だから、次の計算としたとすれば、差分が設定値以上になることがあり得る。

ここでは、一度、差分が設定値 1.0×10^{-5} 以下となつても、そのステップの計算を終了させなかつた。もう一度そつ解を使って計算しなおし、差分が設定値より小さいのを確かめ、こうに同じ手順をくりかえして、それでも設定値以下であつたとき初めて解として決定するようにした。これは計算精度の向上をもたらす。こうすると、初期条件といふことを変えて、解は比較的早く収束した。このためによると計算時間の増加はほとんどない。

計算に必要な、放電管内径、放電周期などの各パラメータは実験装置のもと同じにとつた。第2-1表を参照のこと。初期条件として、プラスマは時刻 $t=0$ で放電管内へ一様に分布してあると考える。電子温度、イオン温度と

初期条件

もし等しく、 $T_e(r) = T_i(r) = 2.0 \text{ eV}$ 。粒子数密度も一样で $n(r) = 1.0 \times 10^{15} (\text{1/cm}^3)$ として。実験では初気圧 100 mTorr の He を使ってるので、もし予備電離プラズマが完全電離しているとすると、電子密度は $6.6 \times 10^{15} (\text{1/cm}^3)$ になるはずである。Mach-Zehnder 干渉計による密度測定では、I 放電電流の最大値付近で $3.9 \times 10^{15} (\text{1/cm}^3)$ となつた。圧縮磁界をかけたときの電子密度はさらに小さくなり、測定できなかつた。そのため上記の値に一応達んだ。

ワラスマの半径方向速度の初期値は $u(r) = 0$ である。

逆バイアス磁界 $B_0 = -0.053 (\text{Wb/m}^2)$ も一樣に管内にある。順バイアス磁界、バイアス磁界のは、場合の計算でもすべて同様の方法をとつた。

空間のさじみは40点とするようにし、 $\Delta r = 9.744 \times 10^{-2} (\text{cm})$ とした。時間の最小さじみは $\Delta t = 3.906 \times 10^{-3} (\mu\text{sec})$ であるが、ほとんど $\Delta t = 0.195 \times 10^{-2} (\mu\text{sec})$ で計算してある。

第6-1表に、逆バイアス磁界がある場合の計算の収束状況を示した。表には各時刻での解をくりかえし計算で求める途中における、(6-38) 式で示された差を書いてある。

時刻	$t = 0.250 \mu\text{sec}$	$t = 0.375 \mu\text{sec}$	$t = 0.500 \mu\text{sec}$	$t = 0.625 \mu\text{sec}$
	1.8010×10^{-2}	5.3301×10^{-2}	1.1794×10^{-1}	1.2964×10^{-1}
E	4.1195×10^{-4}	1.5140×10^{-3}	3.8153×10^{-3}	7.0392×10^{-3}
	2.6161×10^{-5}	1.3671×10^{-4}	3.6617×10^{-4}	9.7421×10^{-4}
	1.4494×10^{-5}	2.4716×10^{-5}	7.1891×10^{-5}	4.1480×10^{-4}
		7.7241×10^{-5}	1.5092×10^{-5}	1.9802×10^{-4}
			3.8265×10^{-5}	9.4806×10^{-5}
				4.2312×10^{-5}
				1.9166×10^{-5}
				1.6092×10^{-5}

第6-1表 解の収束状態

6.5 計算結果とその検討⁽¹²⁾

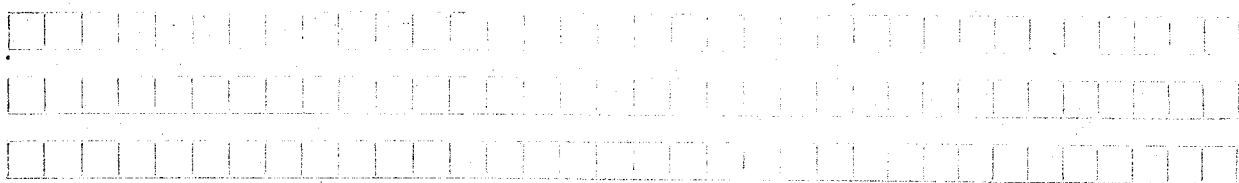
得られた結果と、その検討を述べる。軸方向磁界 B_z 、電子密度 n_e 、電子温度 T_e 、イオン温度 T_i の順に述べる。

6.5-1 軸方向磁界 B_z

同一の初期条件のもとで、バイアス磁界を ±0.053 Wb/m² 程度変えており、 B_z が半径方向に変化する速度に大きな差はみられない。時刻 0.625 μsec で
○ 中心 $r = 0$ における磁束密度は、逆バイアス磁界の場合 -2.8 Wb/m²、順バイアス磁界の場合 +5.85 Wb/m²、バイアス磁界がない場合 +1.9 Wb/m² となつてあり、順バイアスのときのプラスマ円筒内に閉じこめられている磁界はもっと大きい。絶対値は同じで、方向だけが違う磁界がプラスマ円筒内にあつたとき、圧縮の進むにつれて、閉じこめられた磁束密度の値が異なっていくのは興味深い。逆磁界の場合、外部磁界の拡散によって消滅しつつ、圧縮されていく。一方順バイアスでは、外部磁界と同じ方向に向けて増加しつつ、圧縮されるからである。

圧縮過程の初期では、磁界分布の形状から拡散的な現象が主におこり、磁界匀配からみてジュークル加熱による電子の加熱が行なわれる予想される。時間の経過とともに衝撃波が形成され、イオンが加熱されていく。

(第 6-1 図)



6.5-2 電子密度 n_e

密度分布もバイアス磁界による差はほとんどみられない。ただ、バイアス磁界のない方が密度最大の位置の移動速度は幾分速い。順バイアス磁界にしたあくと、この移動速度はもっと遅い。

(第 6-2 図)



[6.5-3] 倍子温度 T_e

倍子温度は、時刻 $0.25 \mu\text{sec}$ においてすでに 30 eV 程度までに上昇させられる。バイアス磁界のかけ方による差がはっきり現れている。磁界勾配の大きい逆バイアスのときの一一番高く、順バイアスのときがもっと低い。それ以外の差はおよそ $6 \pm 4 \text{ eV}$ 程度であった。

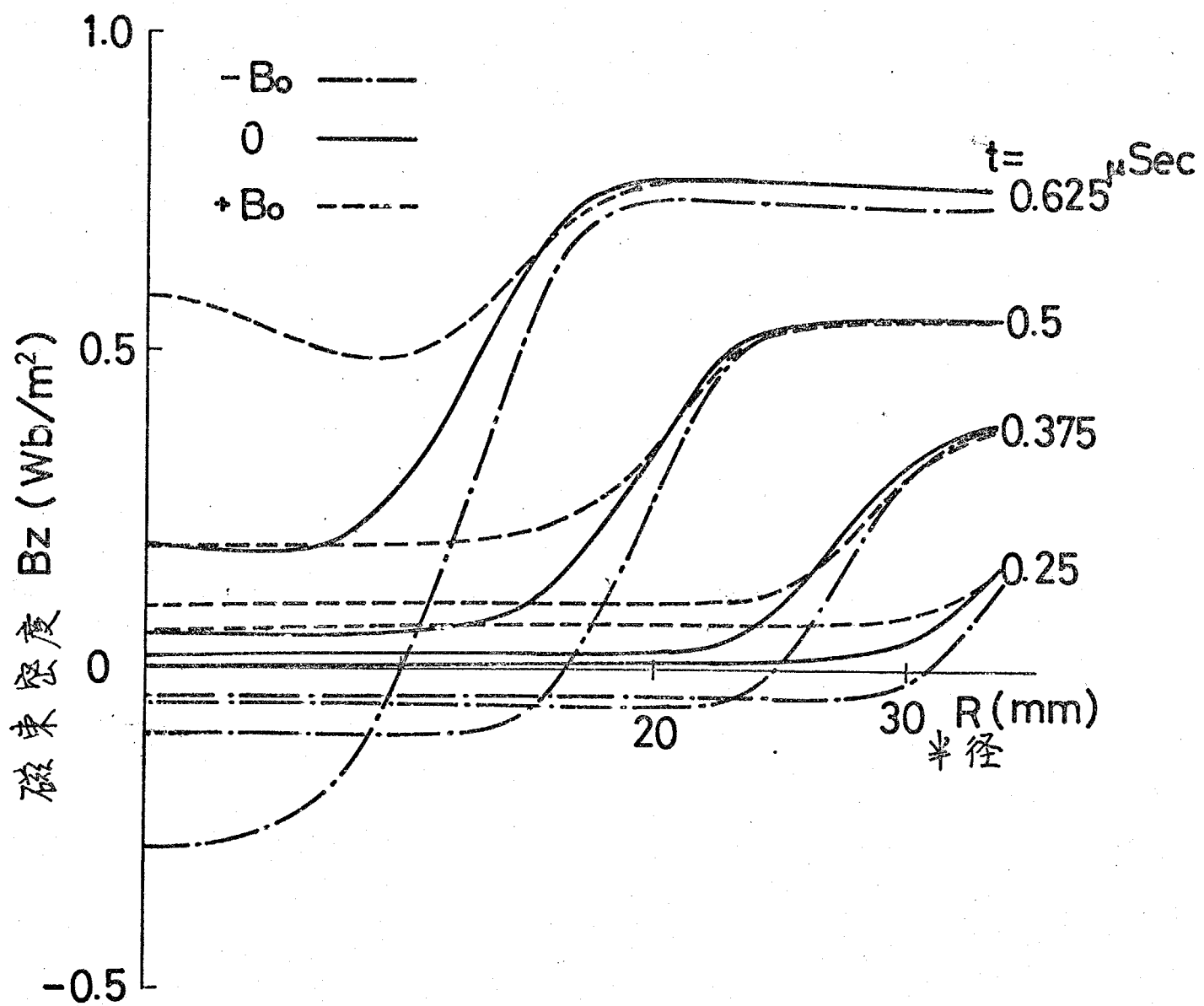
倍子の熱伝導率の大きさのため、この分布の移動で表現されるプラズマ層が半径方向に動いていき、密度が低くなっている位置においてもなお高温となっている。そこでの温度はおよそ 25 eV である。

- 逆バイアスの場合、温度最大となる半径の位置よりもさらに内側に、高温の部分がある。(第6-3図)

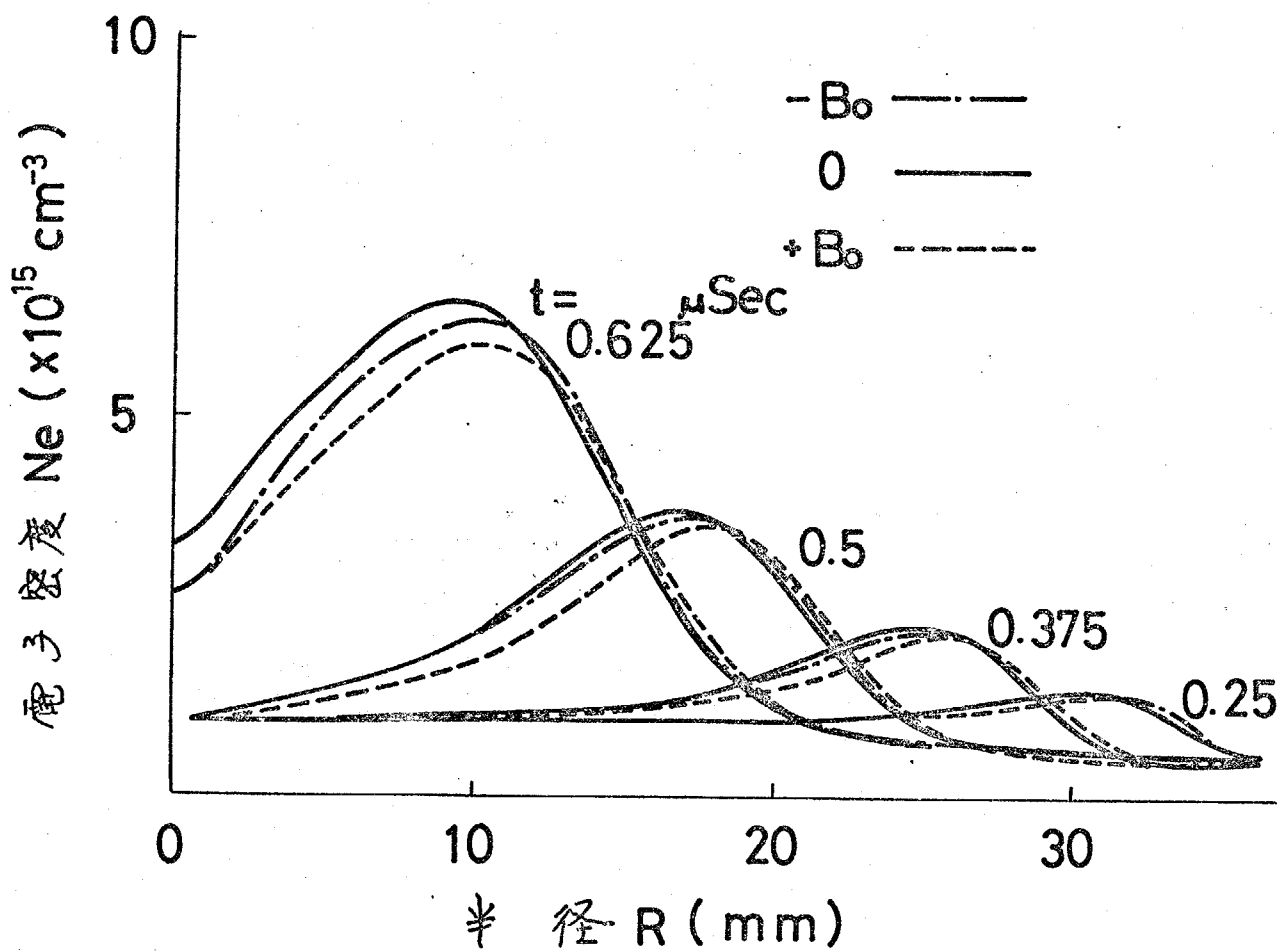
[6.5-4] イオニ温度 T_i

イオニ温度は圧縮の途中では、逆バイアス磁界のあるときの方が、他のときの場合より高い。これは、軸方向磁場 B_z の分布図からも判るように、衝撃波の強さはバイアス磁界のないときに比べてもそれほど変りがない。つまりイオニ温度に差が生じないはずである。それにちがわら本差があるのは、電子による熱の交換があつたからと考えられる。

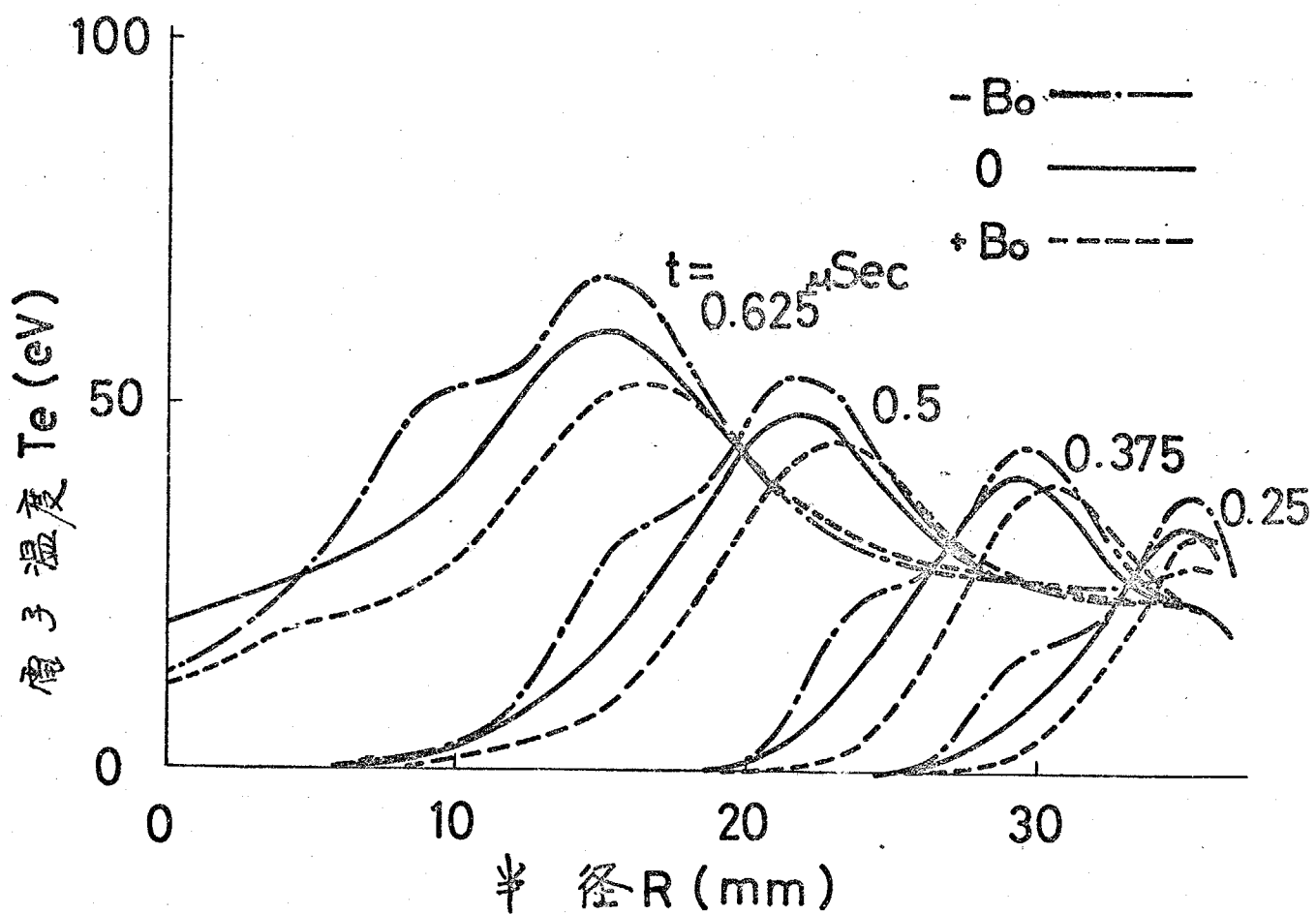
- 時刻 $0.625 \mu\text{sec}$ において、大きな差が生じて、それが判る。イオニ温度はバイアス磁界のない方がもっとも高い。放電管中心 $r=0$ で 188 eV となつた。これに反し、バイアス磁界がかけられていて、プラズマ円周内に磁界がある場合、半径 5 mm 程度の位置で温度最大となる。逆バイアス磁界のとき 159 eV 、順バイアス磁界のとき 122 eV であった。この時刻以後の図示에서는 $r=5 \text{ mm}$ における、バイアス磁界のないときに達せられる温度まで、他の条件をもとでは上昇しない。これはプラズマ中に磁界がないければ衝撃波が管軸まで到達でき、効果的な衝撃波加熱がおこなわれるのを意味する。一方磁界があれば、衝撃波の進行は妨げられ、加熱は充分に行なわれない。(第6-4図)



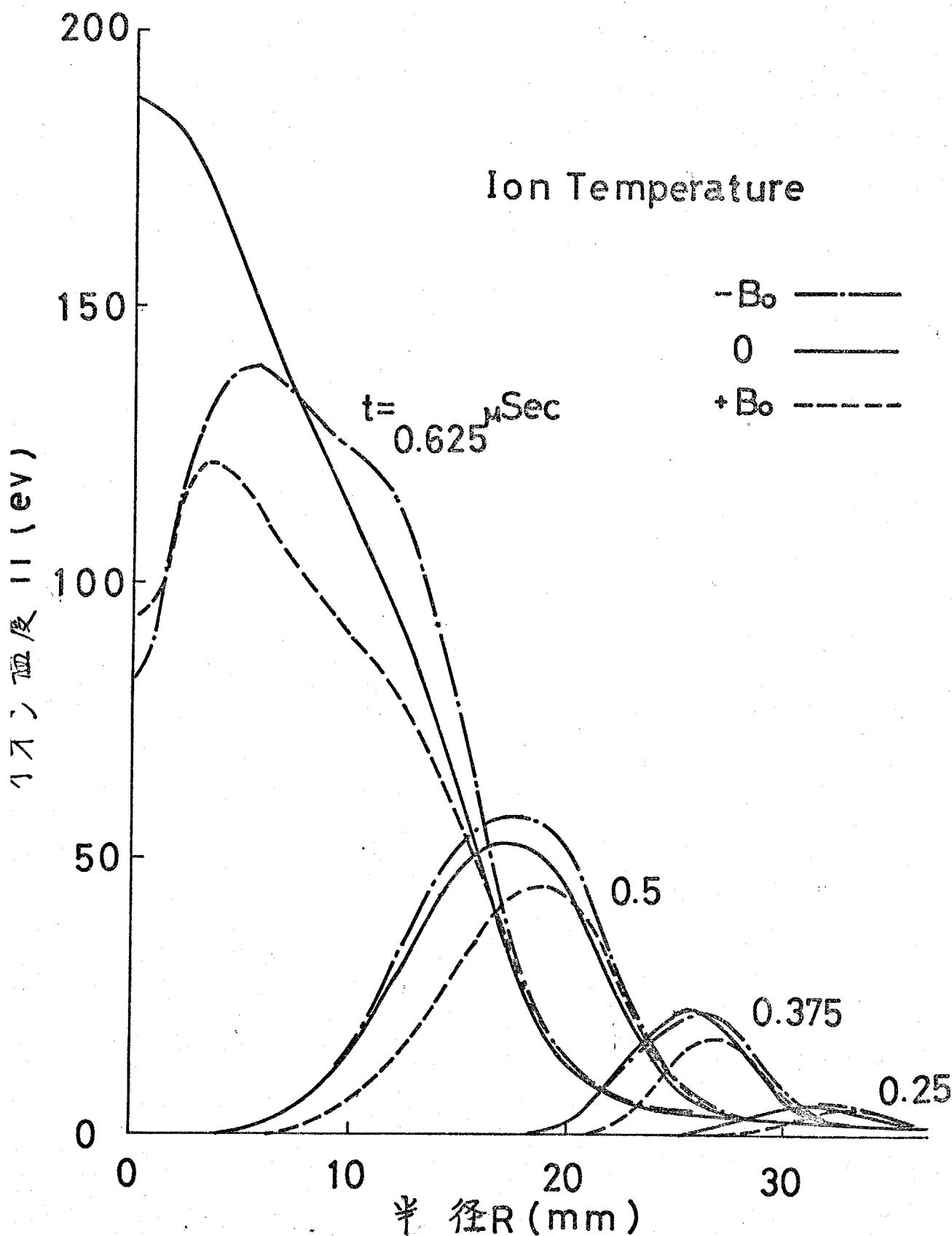
第6-7図 磁束密度の半径方向分布
(バイアス磁界のかけ方を変えて それの場合の計算値)
 $B_0 = \pm 0.053 \text{ Wb/m}^2$ & 0



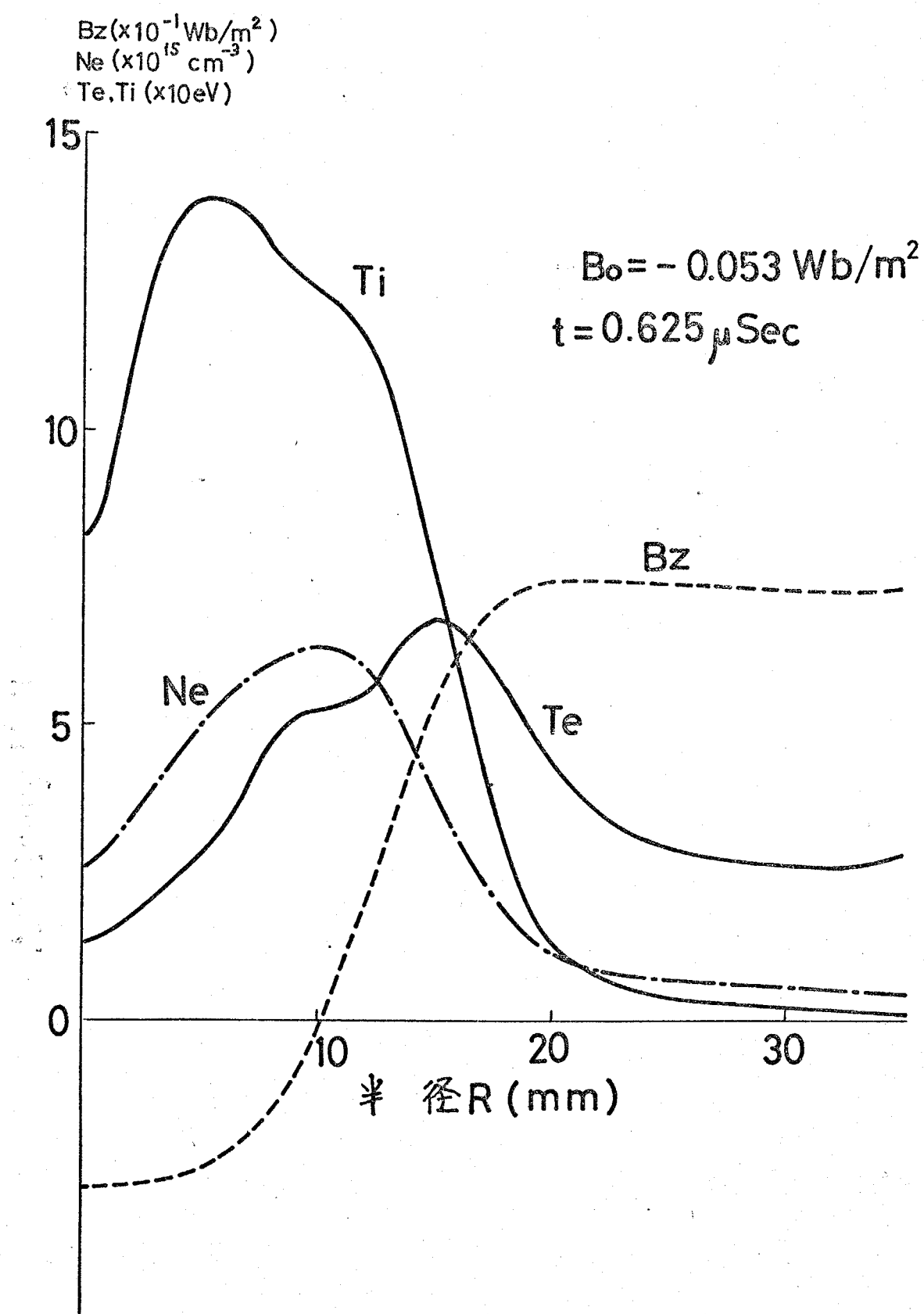
第6-2図 電子密度の半径方向分布
(バイアス磁界のかけ方を変えたそれとの場合の計算値)
 $B_0 = \pm 0.053 \text{ Wb/m}^2$ & 0



第6-3図 電子温度の半径方向分布
(バイアス磁界のかけ方を変えてそれとの場合の計算値)
 $B_0 = \pm 0.053 \text{ Wb/m}^2$ & 0



第6-4図 イオン温度の半径方向分布
(バイアス磁場のかけ方を変えた それとの場合の計算値)
 $B_0 = \pm 0.053 \text{ Wb/m}^2$ & 0



第6-5図 逆バイアス磁場におけるデタビニチフルズマ(計算値)
 $B_0 = -0.053 \text{ Wb/m}^2$

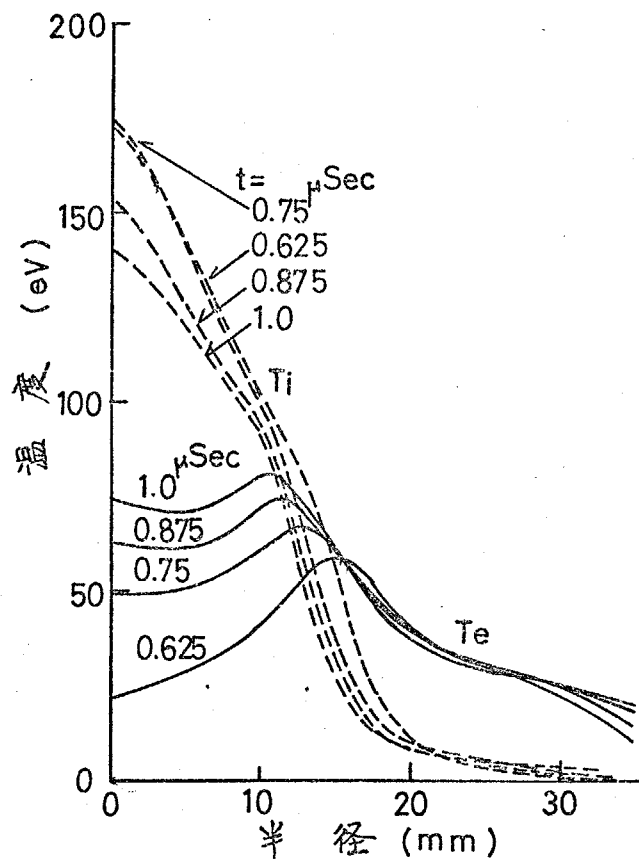
第6-5図から判るように、密度とイオニ温度下では外部磁界で保持されてしまうように、半径16mm以内の部分へ分布してゐる。しかし電子温度の分布は、これからからやや放電管側へおれて、磁界の分配の大きさと共にこの最大値をもつて、た。

今までの図では時刻 $0.625\mu\text{Sec}$ 以前だけの結果をまとめましたが、それ以後の時刻について意味があると思われる結果は、イオニ温度と電子温度の両者の関係で、バイアス磁界

が無いとき、第6-6図で示される。

高温になるとイオニから電子へ、熱の供給があり、つには等しい温度による過程の一部が求められている。

これまでの結果から、バイアス磁界の効果がそれぞれの変数に与える影響をまとめてみる。時刻 $0.625\mu\text{Sec}$ で各変数の半径方向分布の最大値を第6-2表に示した。



第6-6図 イオンと電子の等温化過程
(バイアス磁界なし)

バイアス磁界	電子温度 T_e	付近温度 T_i	電子密度 n_e
$+B_0$	52 eV	122 eV	$5.9 \times 10^{15} \text{ cm}^{-3}$
0	60	188	6.5×10^{15}
$-B_0$	67	139	6.3×10^{15}

第6-2表 温度、密度のバイアス磁界による違い

$$|B_0| = 0.053 \text{ Wb/m}^2$$

$$t = 0.625 \mu\text{Sec}$$

6.6 テータヒニチプラズマの加熱についての考察

逆ベイアス磁界をかけておいて、逆磁界配位にならうようにしたとき、かつとより顕著な速いイオン温度、電子温度にみられた。逆磁界があるとき、電子温度は他の場合と較べて高くなる、しかしイオン温度についてはむしろプラズマ円筒内に磁界のない方が高くなる。これは同一の初期条件のもとで、逆ベイアス磁界の値を $B_0 = -0.1 \text{ WB/m}^2$ と大きくした場合の計算結果、第6-7図とみるとさらによく判る。このとき電子温度の最大値は 80 eV、イオン温度のそれは 125 eV で、今述べた傾向がさらに強くなっている。逆磁界配位にあるときは、核周の半径方向の面積が大きくなるのでシコール加熱が有効に行はわれ、電子温度の上昇がもたらされる。けんどうとイオンは衝撃波加熱で高温になるので、プラズマ円筒内に磁界があると、この加熱にとって不利である。もちろんイオンと電子の二体衝突によって、粒子間の熱の交換があるが、どちらかが高温になれば他の粒子の温度上昇を期待できる。非常に高温になると粒子間の衝突は、無衝突状態となる、こうして熱の交換があまり行はれなくなるてしまう。

一般にデータヒニチ放電は、イオン温度の高いプラズマが得られるところにその特長がある。これは、今回の計算結果、第6-4図、第6-5図によって明らかである。イオン温度が高ることは核融合プラズマにとって重要で、データヒニチプラズマが注目されていふ一つの理由である。ここでさらに高温が得られるようにするため、逆磁界配位としてみる。しかしその結果は、電子温度の上昇のみられるだけで、イオン温度は減少してしまった。これはデータヒニチの特長を生んでいふことになる。

この議論はあくまで完全隔離した状態にある初期プラズマに、圧縮磁界が加わったときのことである。予備隔離が不十分の場合には第5章で述べたようす別の効果がある。つまり圧縮初期にみられる管壁付近での現象が、プラズマと圧縮磁界の結合を強め、有効な圧縮および加熱が行はれるようになると、

トーラス状の高ベータプラズマの安定保持の研究が現在活発に行はれて

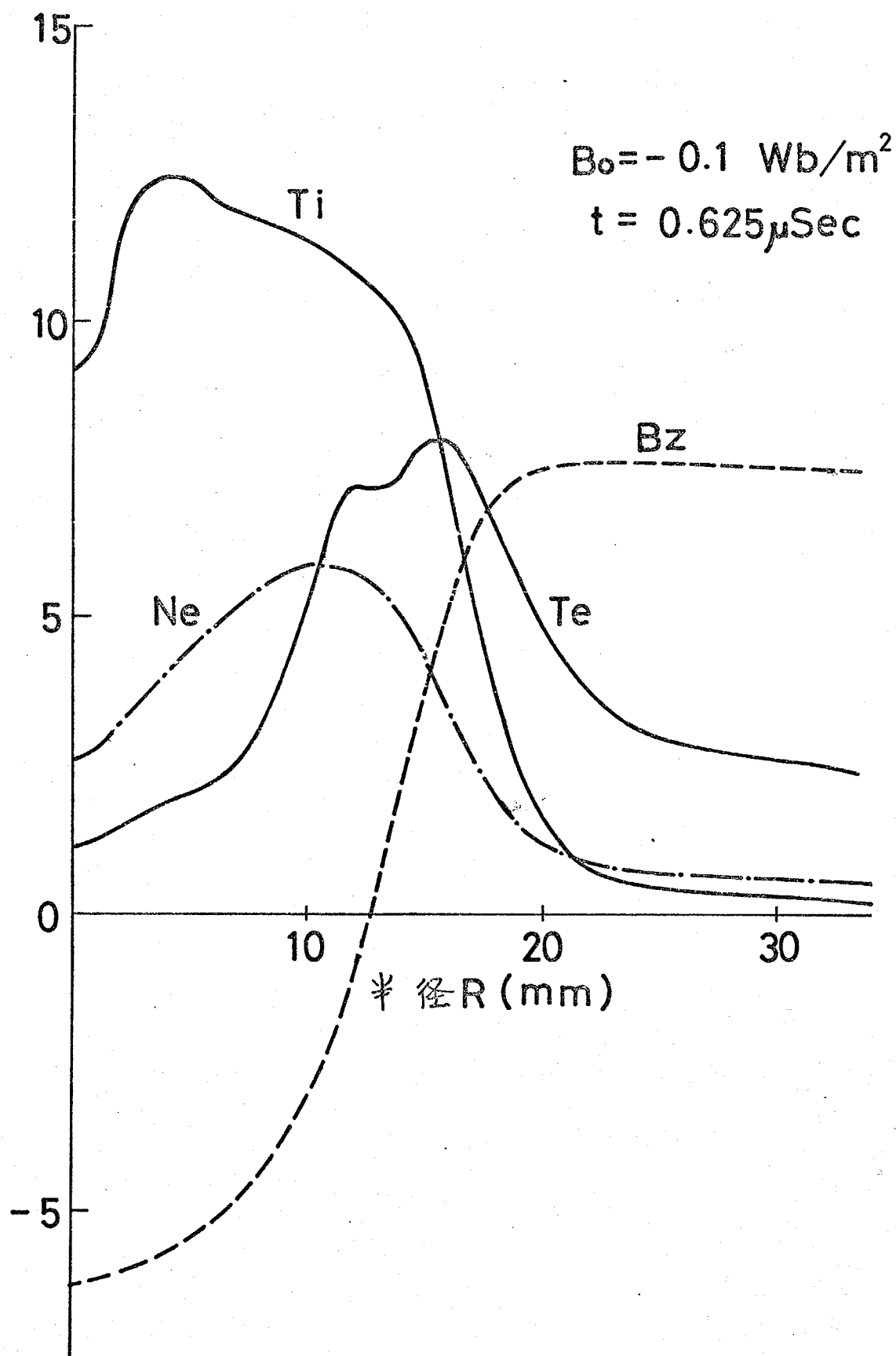


図 6-7 強い逆バイアス磁界を加えたテータビニチプラスマ(計算値)
 $B_0 = -0.1 \text{ Wb/m}^2$

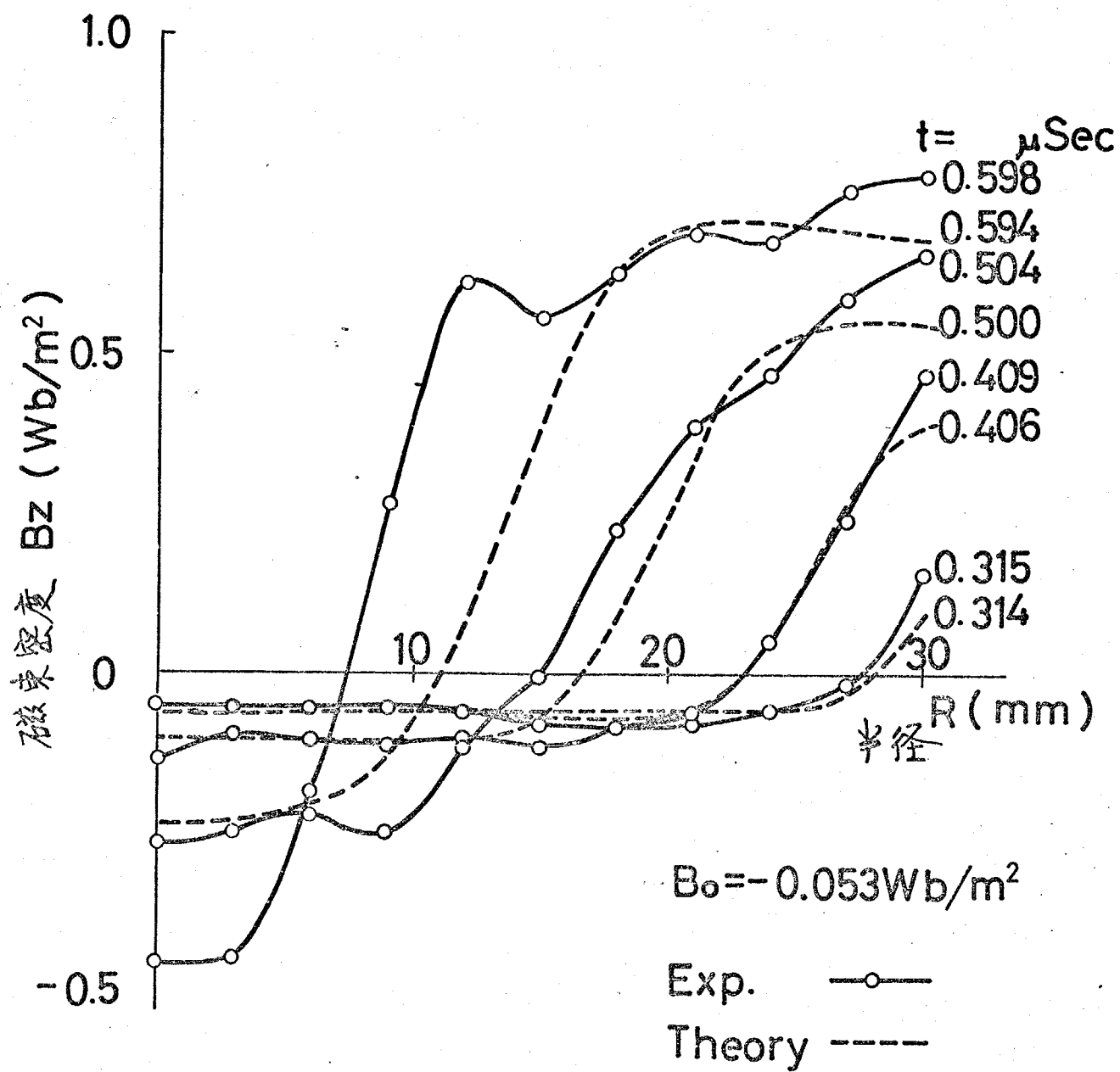
いる。このなかでプラスマを平衡状態に保つため、プラスマ柱内に磁界を存在させておくことが行われる。とくに逆磁界配置による方法も提案されてい。このためにバイアス磁界を加えておかれることがある。しかし、プラスマの生成および加熱にデータヒニチ放電を使う場合、バイアス磁界のあることは、先に述べたように到達できる温度の点で必ずしも有利でない。今このところ3プラスマの平衡、安定性についての議論はよくなされていながらしてプラスマ生成、加熱の問題についてはあまり考えられていない。

データヒニチプラスマでは、イオン温度と電子温度の値に差があった。イオン温度を低下させることなく電子温度を高くできれば、イオン温度と電子温度の等しい高温プラスマが得られる。逆バイアス磁界とかけておく方法は、電子温度を高くできるが、イオン温度の低下をもたらしてしまう。イオン温度を下げる事なく、電子温度を高くする技術は成らむ必要にはてくなものと考えられる。電子を加熱するにしても、高ベータプラスマではさわめて瞬時のうちにに行われるべしで、短かい時間中の高電圧パルスの印加による乱流加熱などが考えられる。

6.7 実験結果との比較および検討

第6-2図に示した電子密度についての計算結果によれば、バイアス磁界のかんにひからず圧縮速度はほどの場合でも等しい。これは上まで述べたプラスマの半径方向の流れの結果と矛盾しない。この観測結果によれば、電流層の形成されている状態に差があるが、プラスマの圧縮速度はほぼ等しい。圧縮されたプラスマ柱の粒子数密度は、実測によるとバイアス磁界の加え方によって差があった。それは上-2において単位長さあたりの粒子数密度を求めた結果から明らかなである。しかし計算によるとこのような違いはないはずであった。順バイアス磁界のときは圧縮磁界のプラスマを有効に圧縮しないことと、次の磁束密度の変化の検討をあわせて考える。

磁束密度の時間変化を示す第6-1図と、前述した上-2の実測結果と比較



第6-8図 逆バイアス磁界があるときのプラズマの半径方向への圧縮
過程の実測値と理論値の比較
(第5-17図、第6-1図参照.)

する。順バイアス磁界をかけたとき、およびバイアス磁界のまつたくないときの二つの場合では、実測値と計算値がまったく一致しない。（第5-18図、第5-19図）実測では圧縮磁界がすくやかに管軸まで拡散している。この理由についてはすでに5-2で説明した。逆バイアス磁界がある場合には第6-8図のように実測値と計算値が一致した。ことに圧縮過程初期にはまったく一致する。しかし時間の経過とともに両者は差が生じてくる。この原因の一として計算では一次元座標で考えていいが、実際には円筒座標系なので管軸付近において方位角方向の影響がみられてきたものと考えられる。

実験では予備電離によって完全電離プラズマまでにできなかつたため、順バイアス磁界およびバイアス磁界のないときの二つの条件のりとでは、計算値と実測値が一致しなかつた。しかし逆バイアス磁界があるときには、圧縮初期における管軸付近の現象が、不十分であるため予備電離を防ぎ、電流層の形成および電気伝導度の上昇をもたらし、プラズマと圧縮磁界の結合を強め、圧縮磁界だけが管軸まで拡散していくのを防ぐだ。このため計算値が実測値によく一致した。

6-8 結 論

完全電離を仮定して、プラズマの圧縮過程を数値的に解いてみると、プラズマの半径方向への圧縮速度は逆バイアス磁界があるときよりも大きな差はない。また電子密度の変化にも、他の条件のときと較べ差がない。しかし温度について違いが生じる。逆バイアス磁界があると電子温度は高くなるが、イオン温度は逆バイアス磁界のない方がむしろ高くなる。これは核融合プラズマにおいて、プラズマの生成、加熱にサーマルニシ放電を使い、その安定保持に逆磁界配置を採用するのは、温度の点で必ずしも有利であることを示す。

また逆バイアス磁界をかけておいた場合、磁束密度の半径方向分布の実測値と計算値によく一致した。

第7章 結論および今後の問題点

本研究によって、逆磁界を閉じこめにデータヒニチプラズマだけに発生する、プラズマの磁力線に沿った運動および半径方向の運動における問題点が解明された。これらについては、第5章 5.3, 5.5-3, および 5.9, 第6章 6.6, 6.7において議論した。そこで得られた結果を本章にまとめておく。

本実験でくらべてデータヒニチプラズマは、電子温度が30eV、粒子数密度がおよそ $10^{16} / \text{cm}^3$ 程度である。またコイル中央部にコイル終端からの影響をうけないでプラズマが存在できるのは、 $2\mu\text{Sec}$ の間である。

データヒニチプラズマ内に逆磁界が閉じこめられていると、磁力線の方向に沿った軸方向現象が観測される。

(1) 逆磁界を閉じこめにデータヒニチプラズマの軸方向への運動、およびそのときのプラズマの軸方向への形状の詳細を高速度カメラで観測できた。

(2) 初期圧300mTorrのもとで、放電電流第2半波時に実現される逆磁界を閉じこめにデータヒニチプラズマに面積波(圧縮波)の伝搬が高速度カメラで観測できた。その伝搬速度は $5 \text{ cm}/\mu\text{Sec}$ であった。この圧縮波はコイル終端付近からコイル中央部に向って軸方向に伝搬し、コイル中央部で衝突した。

(3) この伝搬速度は Taylor 氏の導いた理論式から求めたものと一致した。

(4) 軸方向現象がみられるとき、放電管内の磁束密度 B_φ の軸方向、半径方向分布を磁気探針で測定できた。この結果によると、圧縮波が伝搬した後、こらにはコイル中央部においてそれが衝突した後でも、コイル内の広い領域にわたって磁界が零であるところは存在していく。つまり、圧縮波が伝搬することによって逆磁界が消滅することはない。

(5) プラズマの軸方向の形状を高速度カメラで観測すると、圧縮波が伝搬

していった後でも、プラズマ円柱は存在していた。

(6) (4), (5)で述べた実験事実から、逆磁界があるときに軸方向へ伝搬する圧縮波の構造は、これまで考えられてきたようなものでないことが判つた。従来、圧縮波は閉じた磁力線ループによってプラズマ柱がとりまされ、そのプラズマ全体が軸方向に収縮するものと考えられていた。しかし筆者の研究によれば、それはプラズマの一部分だけが運動され、これにともなう密度増加によってプラズマ柱の断面積変化として軸方向に伝搬するものであった。

(7) 逆磁界がデータビニチプラズマ内に閉じこめられていれば、常に圧縮波が伝搬するものではなかった。圧縮波が発生するためには、プラズマの半径方向へ圧縮過程の初期において、ある大きさ以上の逆磁界が閉じこめられていないければならない。筆者の実験の場合には、プラズマ円筒内にある磁束が 0.8×10^{-3} WB以上であれば圧縮波の伝搬がみられた。

半径方向への圧縮過程の現象は、逆磁界配位にみると、それでないときと較べて遅いがみられた。これを実験および数値解析によって検討することができた。

(8) 放電による予備電離を行なって、バイアス磁界を加えたデータビニチの実験をして、予備電離プラズマ中にある磁界の方向によって圧縮過程にどのような差があるかを、磁気探針、高速度カメラで診断した。それによると、バイアス磁界のいかんにかかわらず、プラズマの圧縮速度はほぼ等しかった。逆バイアス磁界をかけてみると電流層がはっきりと形成されるが、順バイアス磁界の場合ではそれがはっきりと認められた。

(9) 逆バイアス磁界がかけられていると、圧縮磁界はプラズマを有効に半径方向へ圧縮していくが、順バイアス磁界の場合には圧縮磁界がすみやかに管軸付近まで拡散していった。圧縮されたプラズマ柱の粒子数密度は前者のときの方が、後者のときと較べて2倍ほど大きかった。これは

逆バイアス磁界があるとプラズマと圧縮磁界の結合が強くなつて、3こと意味する。

(10) (9)で述べた現象の原因は、圧縮初期での管壁付近における状態が異なるためであつた。逆バイアス磁界があれば、圧縮磁界印加とともに管壁で磁界癒となり、磁界にそくばくされていて予備電離プラズマが管壁に衝突して二次電子を放出したり、磁界零面上を方位角方向へ電界E0によって荷電粒子が急激に加速されたりすることによつて、電流密度が明確に形成され、電気伝導度も高くなるのである。

(11) 予備電離プラズマが完全電離していると仮定して、プラズマの半径方向運動を数値的に解いてみると、逆バイアス磁界があるとプラズマの圧縮速度に差はなく、電子密度の変化にも大きな違いはない。ただ温度に差が生じることが判つた。電子温度は逆バイアス磁界があると、そうでない場合と較べて高くなる。しかしイオン温度は、もし逆バイアス磁界がない場合の方が高くなる。

これは高温プラズマの安定保持に逆磁界配位を採用する場合、プラズマの生成および加熱にデータセニチを使うとすると、逆バイアス磁界をひりなければならないから、高温を得るという点で問題が残るので意味する。

(12) (9), (10)の結果では逆バイアス磁界のある方が高温が得られる。(11)の議論では逆バイアス磁界のない方が高いイオン温度が得られることが見て、統一的な考え方には至らぬ。しかし前者は予備電離プラズマが完全電離しておらず、管壁付近での現象だけに逆バイアス磁界の効果が大きく及んでいるのである。圧縮磁界によるデータセニチプラズマの加熱を考えると、逆磁界配位によるのは劣らすしも有利でない。

(13) 逆バイアス磁界をかけた場合の圧縮過程における磁束密度Bの半径方向分布は、実測値と計算値がよく一致した。

以上のように逆磁界を閉じこめてデータヒンチプラスマだけに観測される特異な現象の問題は、この研究によってそのいくつかが解明された。高温が得られる点で有利と思われていた逆磁界配位は、イオンの加熱について難点があった。

○ これら論文では、プラスマ内における粒子同志の衝突が頻繁で、電磁流体近似が成り立つ衝突性のデータヒンチプラスマに注目し、それと逆磁界の相互作用についてを取り扱った。一般にプラスマは高温になると、粒子間の二体衝突が希れになって無衝突の状態となる。このときに逆磁界配位にあるデータヒンチプラスマがどのような振舞をするかはよく知られていない。実験的には放電管内に封入する気体の初気圧を、数 mTorr から 30 mTorr 程度の低い値としてデータヒンチ放電を行なう。予備電離など、技術的に注意しなければならない点が残されているが、低、初気圧でのデータヒンチプラスマに逆磁界が閉じこめられている場合の問題は今後の問題である。

謝 辞

結びにあたり、終始温かい御指導、御鞭撻を賜わった、林 泉教授に厚く御礼申しあげます。

また本研究を遂行するに際し、あらゆる点で御世話をなった技官妹尾義文氏、ならびに助手入沢寿逸氏に心から感謝いたします。実験に快く協力された修士課程学生横井博氏、数値計算に関して適切な助言を下さった日本大学理工学部川上一郎助教授、STL社製のイナーミコンバータカメラ借用にあたって御尽力いただいた、名古屋大学プラズマ研究所の関係者各位、製作した高速度カメラの運転に指導下さった東京芝浦電気KK 吉田熙宜氏、プラズマ発生装置の建設に尽力された林研究室光津諸氏に深く謝意を表します。
終りに、この日頃変わぬ協力を惜しまれなかつた林研究室の皆様に心から感謝いたします。

参考文献

- (1) H.A.Bodin, E.P.Butt, et al. IAEA-CN-28/B-5 (1971)
- (2) 大林 「宇宙空間物理学」 義華房 (1970)
- (3) 吉川. 「第11回アラスマ若手セミナー 夏の学校テキスト」 (1972) 198
- (4) E.M.Little, W.E.Quinn, et al. Phys. Fluids 8 (1965) 1168
- (5) 林 妹尾. 核融合研究 9 (1962) 148
- (6) H.A.B.Bodin, T.S.Green, et al. Nucl. Fusion Supp. Pt.2 (1962) 521
- (7) E.M.Little, W.E.Quinn, et al. Phys. Fluids 4 (1961) 711
- (8) T.S.Green, et al. Nucl. Fusion 1 (1960) 42
- (9) H.A.B.Bodin, et al. Nucl. Fusion 1 (1961) 139
- (10) H.A.B.Bodin, et al. Nucl. Fusion Supp. Pt.2 (1962) 511
- (11) R.Chodura, M.Keilhecker Z. Naturforsch. 17a (1962) 977
- (12) K.Hain, K.V.Roberts, et al. Z. Naturforsch. 15a (1960) 1039
- (13) M.G.Haines Advan. Phys. 14 (1965) 167
- (14) H.P.Furth, J.Kileen Phys. Fluids 6 (1963) 459
- (15) J.A.Reynolds, et al. Phys. Fluids 8 (1965) 529
- (16) H.A.B.Bodin, T.S.Green, et al. IAEA-CN-21/34 (1965)
- (17) C.Andelfinger, G.Decker, et al. IAEA-CN-21/49 (1965)
- (18) W.E.Quinn, E.M.Little, et al. IAEA-CN-21/92 (1965)
- (19) J.A.Wesson IAEA-CN-21/43 (1965)
- (20) H.A.B.Bodin, et al. Phys. Fluids 15 (1972)
- (21) F.A.Haas, J.A.Wesson Phys. Fluids 9 (1966) 2472
- (22) F.A.Haas, J.A.Wesson Phys. Fluids 10 (1967) 2245
- (23) H.A.B.Bodin, J.McCartan, et al. IAEA-CN-24/K-1 (1971)
- (24) A.W.Desilva, W.E.Dove, et al. Phys. Fluids 14 (1971) 42
- (25) S.C.Burnett, W.R.Ellis, et al. IAEA-CN-28/J-4 (1971)

- (26) G.Herppich (Garching) IPP 4/68 (1969)
- (27) 吉田, 妹尾, 林, 他 電気学会連合大会 200 (昭和42年)
- (28) 妹尾, 林, 他 電気学会連合大会 167 (昭和44年)
- (29) 妹尾, 林, 山田 電気学会連合大会 156 (昭和45年)
- (30) 林, 妹尾 核融合研究 20 (1968) 348
- (31) 石井, 林, 他 電気学会全国大会 124 (昭和47年)
- (32) 宮本 应用物理 35 (1966) 772
- (33) 吉田 東京工業大学修士論文 (1968)
- (34) 石井, 林, 他 電気学会連合大会 170 (昭和44年)
- (35) D.E.T.F.Ashby, D.F.Jephcott Appl. Phys. Letters 3 (1963) 13
- (36) 森 分光研究 20 (1971) 1
- (37) 森 分光研究 20 (1971) 51
- (38) 石井, 林, 他 電気学会誌 (投稿中)
- (39) G.B.F.Niblett, T.S.Green Proc. Phys. Soc. 74 (1959) 737
- (40) 林, 妹尾, 他 電気学会連合大会 158 (昭和45年)
- (41) 林, 妹尾, 他 電気学会全国大会 127 (昭和46年)
- (42) 石井, 林, 他 核融合研究 26 (1970) 14
- (43) A.A.Newton Nucl. Fusion 8 (1968) 93
- (44) T.S.Green Nucl. Fusion 3 (1963) 57
- (45) 川上 日本物理学会誌 24 (1969) 294
- (46) 山口, 野木 「數値解析の基礎」 共立出版 (1969)
- (47) K.Hain, A.C.Kolb Nucl. Fusion Supp. Pt.2 (1962) 561
- (48) 川上 (名大プラズマ研究所) IPPJ-DT-23 (昭和45-12月)
- (49) W.Schneider (Garching) IPP 1/124 (1972)
- (50) D.Ditcks, H.R.Griem Phys. Fluids 9 (1966) 1099
- (51) S.I.Braginskii "Reviews of Plasma Physics" (1965) 205

(52) 石井, 林, 他 核融合研究. 29 No.4 (1973) (掲載予定)

(53) G.B.F.Niblett, D.L.Fisher (Culham) CLM-R 19 (1962)

(54) M.V.Babykin Sov. Phys.-Tech. Phys. 13 (1968) 448

(55) M.V.Babykin, G.E.Smolkine Nucl. Fusion Spec. Supp. (1969) 9

本研究に関する発表文献

(1) 石井, 林, 妹尾, 橋井 「逆磁界のテータビニチプラスマにおよぶ影響」

倦怠学会誌 (投稿中)

(2) 石井, 林, 妹尾, 橋井 「逆磁界を含む高速度テータビニチプラスマの高速度撮影」

核融合研究, Vol.26, No.1 (1970), 4

(3) 石井, 林, 妹尾, 橋井 「バイアス磁界のあるテータビニチの圧縮過程」

核融合研究, Vol.29, No.4 (1973), 掲載予定

(4) 石井, 林, 館林 「Fast Qビニチプラスマの高速度撮影」

倦怠四学会連合大会 170 (昭和44年)

(5) 石井, 林, 橋本, 妹尾 「逆磁界を含む高速度テータビニチプラスマの高速度撮影」

倦怠四学会連合大会 160 (昭和45年)

(6) 石井, 林, 妹尾, 橋井, 所 「テータビニチにおける逆磁界とプラスマの相互作用」

倦怠学会全国大会 124 (昭和47年)

(7) 石井, 林, 妹尾, 橋井, 所 「Fast Qビニチプラスマの実験 II」

日本物理学会 春の分科会 6a-R-2 (昭和47年)

(8) 石井, 林, 妹尾, 橋井 「テータビニチにおける逆磁界とプラスマの相互作用 (2)」

倦怠学会全国大会 116 (昭和48年) 発表予定

(9) 石井, 林 「小型テータビニチプラスマの実験」

プラスマ関り込め合同研究会 (昭和46年 2月)